

**Provincia di Benevento
Comune di Benevento**

OGGETTO:

**INTERVENTO DI RIGENERAZIONE
FINALIZZATO
ALL'ATTIVITA' AGONISTICA
DELL'IMPIANTO SPORTIVO "EX
CAMPO C.O.N.I." DI VIA CAVOUR**

**PROGETTO
DEFINITIVO/ESECUTIVO
LOTTO 2**

COMMITTENTE: Provincia di Benevento



PROGETTISTA:

RUP:

TAVOLA

D01

ELABORATO

**PROGETTO STRUTTURALE
RELAZIONE DI CALCOLO MURO
DI CINTA E TABULATI**

scala

protocollo

revisione

data

Tel:
e-mail:

7 - SCENARI DI CARICO

I calcoli e le verifiche sono condotti con il metodo semiprobabilistico degli stati limite secondo le indicazioni del D.M. 17 gennaio 2018.

Le azioni introdotte direttamente sono combinate con le altre (carichi permanenti, accidentali e sisma) mediante le combinazioni di carico di seguito descritte. Da esse si ottengono i valori probabilistici da impiegare successivamente nelle verifiche.

Sono state effettuate tutte le verifiche (strutturali e geotecniche) secondo l'**Approccio 1** definito dal D.M. 14 Gennaio 2008. Nelle relative tabelle sono riportati, in funzione dei carichi agenti sulla struttura e dell'approccio scelto per la verifica, i coefficienti di combinazione delle azioni elementari dovuti ai coefficienti parziali delle azioni γ . Il valore di progetto della resistenza R_d è determinato in modo analitico con riferimento al valore caratteristico dei parametri geotecnici del terreno, diviso per il valore del coefficiente parziale γ_M , specificato nella tabella 6.2.II delle NTC 2018, e tenendo conto, ove necessario, dei coefficienti parziali γ_R specifici per ciascun tipo di opera come specificato nella tabella 6.5.I delle NTC 2018.

Tab. 6.2.II – Coefficienti parziali per i parametri geotecnici del terreno

PARAMETRO	Grandezza alla quale applicare il coefficiente parziale	Coefficiente parziale γ_M	M1	M2
Tangente dell'angolo di resistenza al taglio	$\tan \varphi'$	$\gamma_{\varphi'}$	1.00	1.25
Coesione efficace	c'_k	$\gamma_{c'}$	1.00	1.25
Resistenza non drenata	c_{uk}	γ_{cu}	1.00	1.40

Tab. 6.5.I – Coefficienti parziali γ_R per le verifiche agli stati limite ultimi STR e GEO di muri di sostegno.

VERIFICA	Coefficiente parziale γ_R (R1)	Coefficiente parziale γ_R (R2)	Coefficiente parziale γ_R (R3)
Capacità portante della fondazione	1.0	1.0	1.4
Scorrimento	1.0	1.0	1.1
Resistenza del terreno a valle	1.0	1.0	1.4

Sono stati considerati i seguenti Stati Limite.

7.1 Stato Limite di Salvaguardia della Vita

Le azioni sulla costruzione sono state cumulate in modo da determinare condizioni di carico tali da risultare più sfavorevoli ai fini delle singole verifiche, tenendo conto della probabilità ridotta di intervento simultaneo di tutte le azioni con i rispettivi valori più sfavorevoli, come consentito dalle norme vigenti.

Per gli stati limite ultimi sono state adottate le combinazioni del tipo:

$$\gamma_{G1} \cdot G_1 + \gamma_{G2} \cdot G_2 + \gamma_P \cdot P + \gamma_{Q1} \cdot Q_{k1} + \gamma_{Q2} \cdot \psi_{02} \cdot Q_{k2} + \gamma_{Q3} \cdot \psi_{03} \cdot Q_{k3} + \dots$$

dove:

- G_1 rappresenta il peso proprio di tutti gli elementi strutturali; peso proprio del terreno, quando pertinente; forze indotte dal terreno (esclusi gli effetti di carichi variabili applicati al terreno); forze risultanti dalla pressione dell'acqua (quando si configurino costanti nel tempo);
- G_2 rappresenta il peso proprio di tutti gli elementi non strutturali;
- P rappresenta pretensione e precompressione;

- Q azioni sulla struttura o sull'elemento strutturale con valori istantanei che possono risultare sensibilmente diversi fra loro nel tempo:
- di lunga durata: agiscono con un'intensità significativa, anche non continuativamente, per un tempo non trascurabile rispetto alla vita nominale della struttura;
 - di breve durata: azioni che agiscono per un periodo di tempo breve rispetto alla vita nominale della struttura;
- Q_{ki} rappresenta il valore caratteristico della i -esima azione variabile;
- $\gamma_G, \gamma_Q, \gamma_P$ coefficienti parziali come definiti nella Tab. 6.2.I del DM 17 gennaio 2018;
- Ψ_{0i} sono i coefficienti di combinazione per tenere conto della ridotta probabilità di concomitanza delle azioni variabili con i rispettivi valori caratteristici.

Tab. 6.2.I D.M 14/01/2008

CARICHI	EFFETTO	Coefficiente γ_F (o γ_E)	EQU	(A1) STR	(A2) GEO
Carichi permanenti	favorevoli	γ_{G1}	0.9	1.0	1.0
	sfavorevoli		1.1	1.3	1.0
Carichi permanenti non strutturali ⁽¹⁾	favorevoli	γ_{G21}	0.0	0.0	0.0
	sfavorevoli		1.5	1.5	1.3
Carichi variabili	favorevoli	γ_{Qi}	0.0	0.0	0.0
	sfavorevoli		1.5	1.5	1.3

⁽¹⁾ Nel caso in cui i carichi permanenti non strutturali (ad es. carichi permanenti portati) siano compiutamente definiti si potranno adottare per essi gli stessi coefficienti validi per le azioni permanenti.

Le combinazioni risultanti sono state costruite a partire dalle sollecitazioni caratteristiche calcolate per ogni condizione di carico elementare: ciascuna condizione di carico accidentale, a rotazione, è stata considerata sollecitazione di base (Q_{1k} nella formula precedente).

I coefficienti relativi a tali combinazioni di carico sono riportati negli allegati tabulati di calcolo.

In zona sismica, oltre alle sollecitazioni derivanti dalle generiche condizioni di carico statiche, devono essere considerate anche le sollecitazioni derivanti dal sisma. L'azione sismica è stata combinata con le altre azioni secondo la seguente relazione:

$$G_1 + G_2 + P + E + \sum_i \Psi_{2i} \cdot Q_{ki}$$

dove:

- E azione sismica per lo stato limite e per la classe di importanza in esame;
- G_1 rappresenta peso proprio di tutti gli elementi strutturali;
- G_2 rappresenta il peso proprio di tutti gli elementi non strutturali;
- P_K rappresenta pretensione e precompressione;
- Ψ_{2i} coefficiente di combinazione delle azioni variabili Q_i ;
- Q_{ki} valore caratteristico dell'azione variabile Q_i ;

I valori dei coefficienti Ψ_{2i} sono riportati nella seguente tabella:

Categoria/Azione	Ψ_{2i}
Categoria A – Ambienti ad uso residenziale	0,3
Categoria B – Uffici	0,3
Categoria C – Ambienti suscettibili di affollamento	0,6
Categoria D – Ambienti ad uso commerciale	0,6
Categoria E – Biblioteche, archivi, magazzini e ambienti ad uso industriale	0,8
Categoria F – Rimesse e parcheggi (per autoveicoli di peso ≤ 30 kN)	0,6

Categoria G – Rimesse e parcheggi (per autoveicoli di peso > 30 kN)	0,3
Categoria H – Coperture	0,0
Vento	0,0
Neve (a quota ≤ 1000 m s.l.m.)	0,0
Neve (a quota > 1000 m s.l.m.)	0,2
Variazioni termiche	0,0

7.2 Stati Limite di Esercizio

Allo Stato Limite di Esercizio le sollecitazioni con cui sono state semiprogettate le aste in c.a. sono state ricavate applicando le formule riportate nel D.M. 17 gennaio 2018 - Norme tecniche per le costruzioni - al punto 2.5.3. Per le verifiche agli stati limite di esercizio, a seconda dei casi, si fa riferimento alle seguenti combinazioni di carico:

combinazione rara
$$F_d = \sum_{j=1}^m (G_{Kj}) + Q_{k1} + \sum_{i=2}^n (\psi_{0i} \cdot Q_{ki}) + \sum_{h=1}^l (P_{kh})$$

combinazione frequente
$$F_d = \sum_{j=1}^m (G_{Kj}) + \psi_{11} \cdot Q_{k1} + \sum_{i=2}^n (\psi_{2i} \cdot Q_{ki}) + \sum_{h=1}^l (P_{kh})$$

combinazione quasi permanente
$$F_d = \sum_{j=1}^m (G_{Kj}) + \psi_{21} \cdot Q_{k1} + \sum_{i=2}^n (\psi_{2i} \cdot Q_{ki}) + \sum_{h=1}^l (P_{kh})$$

dove:

- G_{kj} valore caratteristico della j-esima azione permanente;
- P_{kh} valore caratteristico della h-esima deformazione impressa;
- Q_{kl} valore caratteristico dell'azione variabile di base di ogni combinazione;
- Q_{ki} valore caratteristico della i-esima azione variabile;
- ψ_{0i} coefficiente atto a definire i valori delle azioni ammissibili di durata breve ma ancora significativi nei riguardi della possibile concomitanza con altre azioni variabili;
- ψ_{1i} coefficiente atto a definire i valori delle azioni ammissibili ai frattili di ordine 0,95 delle distribuzioni dei valori istantanei;
- ψ_{2i} coefficiente atto a definire i valori quasi permanenti delle azioni ammissibili ai valori medi delle distribuzioni dei valori istantanei.

Ai coefficienti ψ_{0i} , ψ_{1i} , ψ_{2i} sono attribuiti i seguenti valori:

Azione	ψ_{0i}	ψ_{1i}	ψ_{2i}
Categoria A – Ambienti ad uso residenziale	0,7	0,5	0,3
Categoria B – Uffici	0,7	0,5	0,3
Categoria C – Ambienti suscettibili di affollamento	0,7	0,7	0,6
Categoria D – Ambienti ad uso commerciale	0,7	0,7	0,6
Categoria E – Biblioteche, archivi, magazzini e ambienti ad uso industriale	1,0	0,9	0,8
Categoria F – Rimesse e parcheggi (per autoveicoli di peso ≤ 30 kN)	0,7	0,7	0,6
Categoria G – Rimesse e parcheggi (per autoveicoli di peso > 30 kN)	0,7	0,5	0,3
Categoria H – Coperture	0,0	0,0	0,0
Vento	0,6	0,2	0,0
Neve (a quota ≤ 1000 m s.l.m.)	0,5	0,2	0,0
Neve (a quota > 1000 m s.l.m.)	0,7	0,5	0,2
Variazioni termiche	0,6	0,5	0,0

In maniera analoga a quanto illustrato nel caso dello SLU le combinazioni risultanti sono state costruite a

partire dalle sollecitazioni caratteristiche calcolate per ogni condizione di carico; a turno ogni condizione di carico variabile è stata considerata sollecitazione di base, con ciò dando origine a tanti valori combinati. Per ognuna delle combinazioni ottenute, in funzione dell'elemento, sono state effettuate le verifiche allo SLE (tensioni, deformazioni e fessurazione).

Negli allegati tabulati di calcolo sono riportanti i coefficienti relativi alle combinazioni di calcolo generate relativamente alle combinazioni di azioni "Quasi Permanente", "Frequente" e "Rara".

Nelle sezioni relative alle verifiche allo SLE dei citati tabulati, inoltre, sono riportati i valori delle sollecitazioni relativi alle combinazioni che hanno originato i risultati più gravosi.

8 - VERIFICHE

8.1 Verifica a Ribaltamento

Nella verifica a ribaltamento è stato scelto come punto di rotazione il vertice in basso a valle della fondazione.

- Il Momento Ribaltante è dovuto alla componente orizzontale della spinta, all'incremento sismico di essa e ad eventuali carichi esterni che possono contribuire al ribaltamento.
- Il Momento Stabilizzante è dovuto al peso proprio del muro, del terreno su esso agente, ad eventuali carichi esterni che possono contribuire alla stabilità ed ai tiranti.

Il coefficiente di sicurezza è dato dal rapporto Momento Stabilizzante / Momento Ribaltante. Tale valore è stato calcolato per tutte le combinazioni di carico previste dall'approccio adottato, considerando il sistema come un corpo rigido e adottando i coefficienti M2. Il rapporto più gravoso, in relazione al corrispondente coefficiente R, dipendente dall'approccio e dalla combinazione considerata, è stato riportato come Coefficiente di Sicurezza a Ribaltamento.

8.2 Verifica a Scorrimento

Nella verifica a scorrimento sono state prese in considerazione tutte le forze agenti che innescano un meccanismo di traslazione lungo il piano di posa della fondazione per superamento dei limiti di attrito e coesione, tenendo conto dell'inclinazione del piano di posa e dell'eventuale presenza di speroni.

La **Forza Agente** è la spinta con i suoi incrementi sismici ed eventuali forze esterne che agiscono nello stesso verso.

La **Forza Resistente** è rappresentata dall'attrito e dalla coesione agente sulla fondazione, dalla presenza di tiranti e di pali, da particolari costruttivi quali gli speroni che servono ad aumentare la resistenza allo scorrimento oltre ad eventuali forze esterne che agiscono nello stesso verso.

Il coefficiente di sicurezza è dato dal rapporto Forza Resistente/Forza Agente. Tale valore è stato calcolato per tutte le combinazioni di carico previste dall'approccio adottato e il rapporto più gravoso, in relazione al corrispondente coefficiente R, dipendente dall'approccio e dalla combinazione considerata, è stato riportato come Coefficiente di Sicurezza a Scorrimento.

8.3 Verifica a Carico Limite

È stato calcolato il carico limite secondo la metodologia dovuta al **Terzaghi**, considerando la profondità d'interramento della fondazione, la stratigrafia degli strati sotto la fondazione, l'eventuale presenza della falda idrica, l'inclinazione del piano di posa della fondazione, l'inclinazione e l'eccentricità dei carichi esterni.

Il coefficiente di sicurezza è dato dal rapporto Carico Limite / Carichi Agenti. Tale valore è stato calcolato per tutte le combinazioni di carico previste dall'approccio adottato e il rapporto più gravoso, in relazione al corrispondente coefficiente R, dipendente dall'approccio e dalla combinazione considerata, è stato riportato come Coefficiente di Sicurezza a Carico Limite.

8.4 Verifica di Stabilità Globale

Per la verifica di stabilità globale è stato assimilato tutto il complesso muro-terreno ad un pendio. Esso deve essere al sicuro da fenomeni d'instabilità che in genere si sviluppano su superfici di scorrimento assimilabili a circonferenze.

Sono state ipotizzate varie superfici di scorrimento in modo da interessare tutta la parte di terreno potenzialmente soggetta ad instabilità. Sono state escluse le superfici che intercettano il muro, i pali e i tiranti. Per ognuna di esse sono state calcolate le forze motrici e le forze resistenti.

Il calcolo è stato effettuato secondo i metodi classici di **Fellenius** o di **Bishop**, suddividendo il complesso terreno-muro incluso nel cerchio in esame in settori verticali sufficientemente piccoli, e calcolando le forze resistenti per attrito e coesione alla base, che si oppongono alla forza di scorrimento del settore.

Il coefficiente di sicurezza è dato dal rapporto fra le forze resistenti e quelle motrici. Tale valore è stato calcolato per tutte le combinazioni di carico previste dall'approccio 1 Combinazione 2 (A2+M2+R2) e il rapporto più gravoso, in relazione al corrispondente coefficiente R2, è stato riportato come Coefficiente di Sicurezza per Stabilità Globale.

L'azione sismica è stata valutata come previsto dal D.M. 14.01.2008 al § 7.11.3.5.2.

8.5 Progetto e Verifica degli elementi strutturali

Le sollecitazioni per le successive verifiche vengono calcolate in una serie di sezioni predefinite sia sul paramento che sulla fondazione a monte ed a valle (muri a mensola).

Esse sono in genere a passo costante, ma se esistono delle singolarità, come ad es. gradoni, speroni, mensole esse vengono opportunamente posizionate in corrispondenza di tali punti.

La verifica degli elementi allo SLU avviene col seguente procedimento:

- si costruiscono le combinazioni in base al D.M. 17.01.2018, ottenendo un insieme di sollecitazioni;
- si combinano tali sollecitazioni con quelle dovute all'eventuale azione del sisma.
- per sollecitazioni semplici (flessione retta, taglio, etc.) si individuano i valori minimo e massimo con cui progettare o verificare l'elemento considerato; per sollecitazioni composte (pressoflessione retta/deviata) vengono eseguite le verifiche per tutte le possibili combinazioni e solo a seguito di ciò si individua quella che ha originato il minimo coefficiente di sicurezza.

Per quanto concerne il progetto degli elementi in c.a. illustriamo in dettaglio il procedimento seguito in presenza di pressoflessione retta, utilizzato per verificare le seguenti sezioni:

- Paramento: attacco con la fondazione, a mezza altezza e ad ogni variazione non continua di sezione.
- Fondazione: le due sezioni, rispettivamente a valle e a monte, di attacco con il Paramento.
- Mensola: la sezione di attacco con il Paramento.
- Sperone: la sezione di attacco con la Fondazione.

Viene ipotizzata un'armatura iniziale che rispetti i minimi normativi, quindi per tutte le coppie (N, Mx), individuate secondo la modalità precedentemente illustrata, si calcola il momento ultimo in funzione di N, quindi il coefficiente di sicurezza rapportando tale momento ultimo a Mx.

Se per almeno una di queste coppie il coefficiente di sicurezza risulta inferiore a 1 si incrementa l'armatura e si ripete il procedimento fino a che per tutte le coppie (N, Mx) il coefficiente di sicurezza risulta al più pari a 1.

Nei tabulati di calcolo, per brevità, non potendo riportare una così grossa mole di dati, si riporta la coppia (N, Mx) che ha dato luogo al minimo coefficiente di sicurezza.

Una volta semiprogettate le armature allo SLU, si procede alla verifica delle sezioni allo Stato Limite di Esercizio con le sollecitazioni derivanti dalle combinazioni rare, frequenti e quasi permanenti; se necessario, le armature vengono integrate per far rientrare le tensioni entro i massimi valori previsti.

Successivamente si procede alle verifiche alla deformazione, quando richiesto, ed alla fessurazione che, come è noto, sono tese ad assicurare la durabilità dell'opera nel tempo.

Per quanto riguarda le verifiche al Taglio è stata utilizzata la formulazione riportata al § 4.1.2.1.3.1 valida per elementi senza armatura resistente a taglio in quanto non sono state utilizzate armature specifiche per l'assorbimento del taglio. Anche qui per tutte le combinazioni di carico è stata controllata la relazione

(4.1.13) ed è stato riportato il minimo coefficiente di sicurezza fra tutti i rapporti V_{rd}/V_{ed} .

8.6 Modello di Calcolo

Il modello della struttura viene creato automaticamente dal codice di calcolo, individuando i vari elementi strutturali e fornendo le loro caratteristiche geometriche e meccaniche.

Il calcolo delle sollecitazioni è eseguito in due modi diversi a seconda della tipologia di muri scelta:

- **muro senza contrafforti:** viene eseguito il calcolo a mensola sia per il paramento che per la fondazione considerando la striscia di un metro.
- **muro con contrafforti:** le porzioni di paramento e di fondazione comprese fra due contrafforti vengono trattate come piastre vincolate su tre lati.

Nel modello di calcolo, i seguenti elementi sono stati schematizzati nel seguente modo:

- **terreno:** letto di molle reagenti solo a compressione (suolo elastico monodirezionale);
- **pali:** molle concentrate reagenti a trazione/compressione e a momento;
- **micropali:** molle concentrate reagenti a trazione/compressione;
- **tiranti:** molle concentrate reagenti a sola trazione, col loro eventuale sforzo di pretensione.

9 - CODICE DI CALCOLO IMPIEGATO

9.1 Denominazione

Nome del Software	GeoMurus
Versione	8.00b
Caratteristiche del Software	Software per la progettazione ed il calcolo dei muri di sostegno per Windows
Numero di serie	15020411
Intestatario Licenza	PROVINCIA DI BENEVENTO
Produzione e Distribuzione	ACCA software S.p.A. Contrada Rosole 13 83043 BAGNOLI IRPINO (AV) - Italy Tel. 0827/69504 r.a. - Fax 0827/601235 e-mail: info@acca.it - Internet: www.acca.it

9.2 Sintesi delle funzionalità generali

Il pacchetto consente di modellare la struttura, di effettuare il dimensionamento e le verifiche di tutti gli elementi strutturali e di generare gli elaborati grafici esecutivi.

È una procedura integrata dotata di tutte le funzionalità necessarie per consentire il calcolo completo di un muro di sostegno.

L'input della struttura avviene per oggetti (paramento, fondazione, scarpa, contrafforte, mensola, sperone, pali, tiranti, etc.) in un ambiente grafico integrato.

Apposite funzioni consentono la creazione e la manutenzione di archivi Materiali, Terreni e Carichi; tali archivi sono generali, nel senso che sono creati una tantum e sono pronti per ogni calcolo, potendoli comunque integrare/modificare in ogni momento.

L'utente non può modificare il codice ma soltanto eseguire delle scelte come:

- modificare i parametri necessari alla definizione dell'azione sismica;
- definire condizioni di carico.

Il programma è dotato di un manuale tecnico ed operativo. L'assistenza è effettuata direttamente dalla casa produttrice, mediante linea telefonica o e-mail.

Tutti i risultati del calcolo sono forniti, oltre che in formato numerico, anche in formato grafico permettendo così di evidenziare agevolmente eventuali incongruenze.

Il programma consente la stampa di tutti i dati di input, dei dati del modello strutturale utilizzato, dei risultati del calcolo e delle verifiche dei diagrammi delle sollecitazioni e delle deformate.

10 - TABULATI DI CALCOLO

Per quanto non espressamente sopra riportato, ed in particolar modo per ciò che concerne i dati numerici di calcolo, si rimanda all'allegato "Tabulati di calcolo" costituente parte integrante della presente relazione.

, _/_/_

Il Progettista

INFORMAZIONI GENERALI

Comune	Provincia di Benevento
Provincia	Settore Tecnico
Oggetto	DEMOLIZIONE E RICOSTRUZIONE DEL MURO DI CINTA DELL'EX CAMPO CONI SITO IN VIA CAVOUR DI BENEVENTO
Parte d'opera	
Normativa di riferimento	D.M. 17/01/2018
Analisi sismica	Orizzontale e Verticale
Classe struttura	2
Vita nominale	50 anni
Periodo di riferimento	50

MATERIALI

Materiali															
N	Tipo	Descrizione	Sigla	Peso Specifico	Coeff. Dil. Termica	Modulo elastico			γ	ridFmk	n	ft	fc	τR	N Act
						E	G	Rk							
				[N/m ³]	[1/°C]	[N/mm ²]	[N/mm ²]	[N/mm ²]				[N/mm ²]	[N/mm ²]	[N/mm ²]	
1	CA	Cls C25/30-B450C	C25/30	25000	0,000010	31447	13103	30,0	1,50	85	15	1,19	3,07	0,34	Acciaio B450C
2	AcT	Acciaio B450C	B450C	78500	0,000010	210000	80769	450,0	1,15	0	1	0,00	0,00	0,00	

LEGENDA Materiali

N	Numero identificativo del materiale.
Tipo	Tipologia del materiale: [CA] = Calcestruzzo armato - [ACT] = Acciaio in tondini - [AcP] = Acciaio in profilati - [M] = Muratura - [AcA] = Acciaio armonico per trefoli - [Mlt] = Malta per tiranti.
Sigla	Sigla del materiale.
Coeff. Dil. Termica	Coefficiente di dilatazione termica.
E	Modulo elastico normale.
G	Modulo elastico tangenziale.
Rk	Resistenza caratteristica del materiale. Il valore riportato è "Rck" per il calcestruzzo, "f _{yk} " per l'acciaio, "f _{mk} " per la muratura ed "f _k " nel caso di altro materiale.
γ	Coefficiente di sicurezza allo Stato Limite Ultimo del materiale. Il valore riportato è " γ_c " per il calcestruzzo, " γ_f " per l'acciaio, " γ_m " per la muratura e " γ_g " in caso di altro materiale.
ridFmk	Percentuale di riduzione di R _{cfmk} .
n	Coefficiente di omogeneizzazione.
ft	Il valore riportato e' la "Resistenza di calcolo a trazione" per il calcestruzzo armato, la "Resistenza caratteristica a trazione" per la muratura.
fc	Il valore riportato e' la "Resistenza a rottura per flessione" per il calcestruzzo armato, la "Resistenza caratteristica a compressione orizzontale" per la muratura.
τR	Il valore riportato e' la "Resistenza tangenziale di calcolo" per il calcestruzzo armato, la "Resistenza caratteristica a taglio in assenza di compressione - f _{vk0} " per la muratura.
N Act	Identificativo, nella tabella materiali, dell'acciaio utilizzato.

TERRENI

Terreni										
N	Descrizione	γ	γ_{saturo}	ϕ	Cu	C'	Ed	Costante di sottofondo		
								X	Y	Z
		[N/m ³]	[N/m ³]	[°ssdc]	[N/mm ²]	[N/mm ²]	[N/mm ²]	[N/cm ³]	[N/cm ³]	[N/cm ³]
1	Sedimenti Detritici	19050	22000	26	0,00	0,00	80	30	30	90
2	Ghiaia asciutta	20000	22000	38	0,00	0,00	200	50	50	150

LEGENDA Terreni

N	Numero identificativo del terreno.
Descrizione	Descrizione del terreno.
γ	Peso per unità di volume [N/m ³].
γ_{saturo}	Peso per unità di volume saturo [N/m ³].
ϕ	Angolo di attrito [°ssdc].
Cu	Coesione [N/mm ²].
C'	Coesione Efficace [N/mm ²].
Ed	Modulo edometrico [N/mm ²].
Costante di sottofondo	Valori della costante di sottofondo del terreno nelle direzioni degli assi del riferimento globale X, Y, e Z.

CONDIZIONI DI CARICO

Condizioni di carico							
N	Condizioni Carico Utente			Tipologia Carico Accidentale			
	Descrizione	AgS	Alt	Descrizione	$\psi 0$	$\psi 1$	$\psi 2$
1	Carico permanente	SI	NO	Carico permanente	1,0	1,0	1,0

LEGENDA Condizioni di carico

N	Numero identificativo della condizione di carico.
AgS	Indica se la condizione di carico considerata è Agente con il Sisma.
Alt	Indica se la condizione di carico è Alternata (cioè considerata due volte con segno opposto) o meno.
$\psi 0$	Coefficiente riduttivo dei carichi allo SLU e SLE (Carichi rari).
$\psi 1$	Coefficiente riduttivo dei carichi allo SLE (Carichi frequenti).

N	Condizioni Carico Utente			Tipologia Carico Accidentale			Condizioni di carico	
	Descrizione	AgS	Alt	Descrizione	ψ 0	ψ 1	ψ 2	

ψ 2 Coefficiente riduttivo dei carichi allo SLE (Carichi frequenti e quasi permanenti).

SLE: COMBINAZIONE DI AZIONI QUASI PERMANENTE - COEFFICIENTI

SLE: Combinazione di azioni Quasi permanente - Coefficienti

CC 01	
COMB.	Carico permanente (Carico permanente)
01	1,00

LEGENDA SLE: Combinazione di azioni Quasi permanente - Coefficienti

COMB. Numero identificativo della Combinazione di Carico.

CC Condizione di carico considerata.

CC 01= Carico permanente (Carico permanente)

SLE: COMBINAZIONE DI AZIONI FREQUENTE - COEFFICIENTI

SLE: Combinazione di azioni Frequente - Coefficienti

CC 01	
COMB.	Carico permanente (Carico permanente)
01	1,00

LEGENDA SLE: Combinazione di azioni Frequente - Coefficienti

COMB. Numero identificativo della Combinazione di Carico.

CC Condizione di carico considerata.

CC 01= Carico permanente (Carico permanente)

SLE: COMBINAZIONE DI AZIONI RARA - COEFFICIENTI

SLE: Combinazione di azioni Rara - Coefficienti

CC 01	
COMB.	Carico permanente (Carico permanente)
01	1,00
02	1,00

LEGENDA SLE: Combinazione di azioni Rara - Coefficienti

COMB. Numero identificativo della Combinazione di Carico.

CC Condizione di carico considerata.

CC 01= Carico permanente (Carico permanente)

SLU: COMBINAZIONI DI CARICO IN ASSENZA DI SISMA - COEFFICIENTI

SLU: Combinazioni di carico in assenza di sisma - Coefficienti

CC 01	
COMB.	Carico permanente (Carico permanente)
Stato limite di Equilibrio (EQU+M2)	
01	1,1
02	0,9
Approccio 1, Combinazione 1 - Stato limite di Resistenza della struttura (A1+M1+R1)	
01	1,3
02	1
Approccio 1, Combinazione 2 - Stato limite di Resistenza del terreno (A2+M2+R2)	
01	1
02	1

LEGENDA SLU: Combinazioni di carico in assenza di sisma - Coefficienti

COMB. Numero identificativo della Combinazione di Carico.

CC Condizione di carico considerata.

CC 01= Carico permanente (Carico permanente)

SLU: COMBINAZIONI DI CARICO IN PRESENZA DI SISMA - COEFFICIENTI

SLU: Combinazioni di carico in presenza di sisma - Coefficienti

CC 01	
COMB.	Carico permanente (Carico permanente)
Stato limite di Equilibrio (EQU+M2)	
01	1
02	1
Approccio 1, Combinazione 1 - Stato limite di Resistenza della struttura (A1+M1+R1)	
01	1
02	1
Approccio 1, Combinazione 2 - Stato limite di Resistenza del terreno (A2+M2+R2)	
01	1
02	1

LEGENDA SLU: Combinazioni di carico in presenza di sisma - Coefficienti

COMB. Numero identificativo della Combinazione di Carico.

CC Condizione di carico considerata.

CC 01= Carico permanente (Carico permanente)

DATI GENERALI ANALISI SISMICA

Dati generali analisi sismica

TP	Coef Ampl Topog	β_s	β_m	K_{Stbl}	K_{Muro}	Latitudine	Longitudine	Altitudine
						[gradi]	[gradi]	[m]
B	1,00	0,28	0,31	0,08	0,09	41° 7' 55.00"	14° 46' 40.00"	135

Classe Edificio	Vita Nominale	Periodo di Riferimento
[adim]	[anni]	[anni]
2	50	50

SL	Tr	Ag	Ss	F0	T ^c
[adim]	[anni]	[adim]	[adim]	[adim]	[s]
SLO	30	0,0622	1,200	2,391	0,280
SLD	50	0,0829	1,200	2,352	0,290
SLV	475	0,2583	1,162	2,304	0,370
SLC	975	0,3512	1,072	2,332	0,390

LEGENDA Dati generali analisi sismica

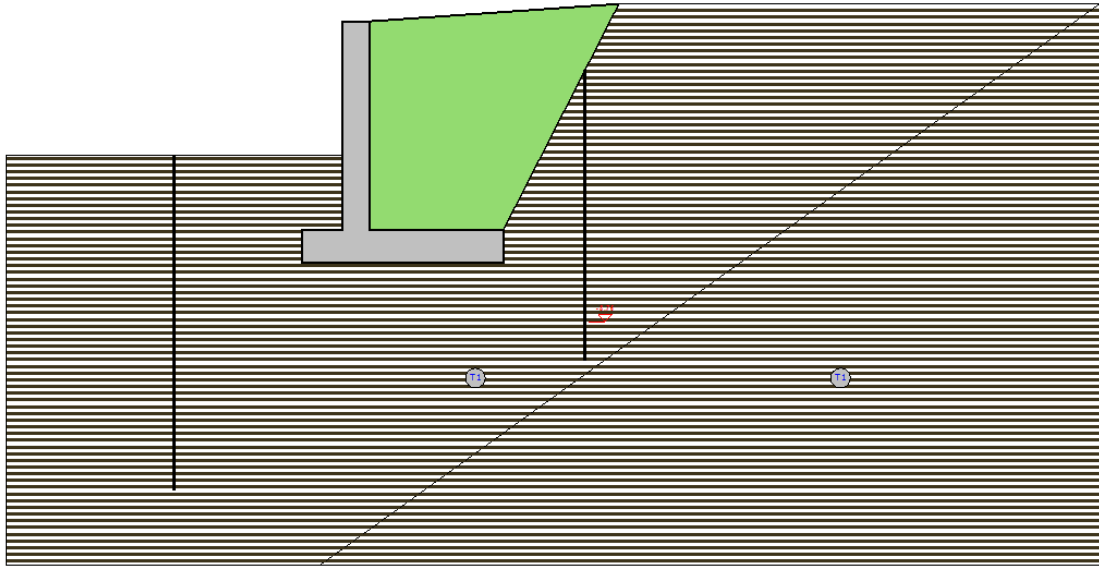
TP	Tipo terreno prevalente, categoria di suolo di fondazione come definito al punto 3.2.2 delle Norme tecniche per le costruzioni.
Coef Ampl Topog	Coefficiente di amplificazione topografica.
β_s	Coefficiente di riduzione di accelerazione massima per Verifica di stabilita'.
β_m	Coefficiente di riduzione di accelerazione massima per Muro di sostegno.
K_{Stbl}	Coefficiente per il calcolo della spinta per Verifica di stabilita'.
K_{Muro}	Coefficiente per il calcolo della spinta per Muro di sostegno.
Latitudine	Latitudine geografica del sito [gradi].
Longitudine	Longitudine geografica del sito [gradi].
Altitudine	Altitudine geografica del sito sul livello medio del mare [m].

GEOMETRIA

Sezione 1

Geometria

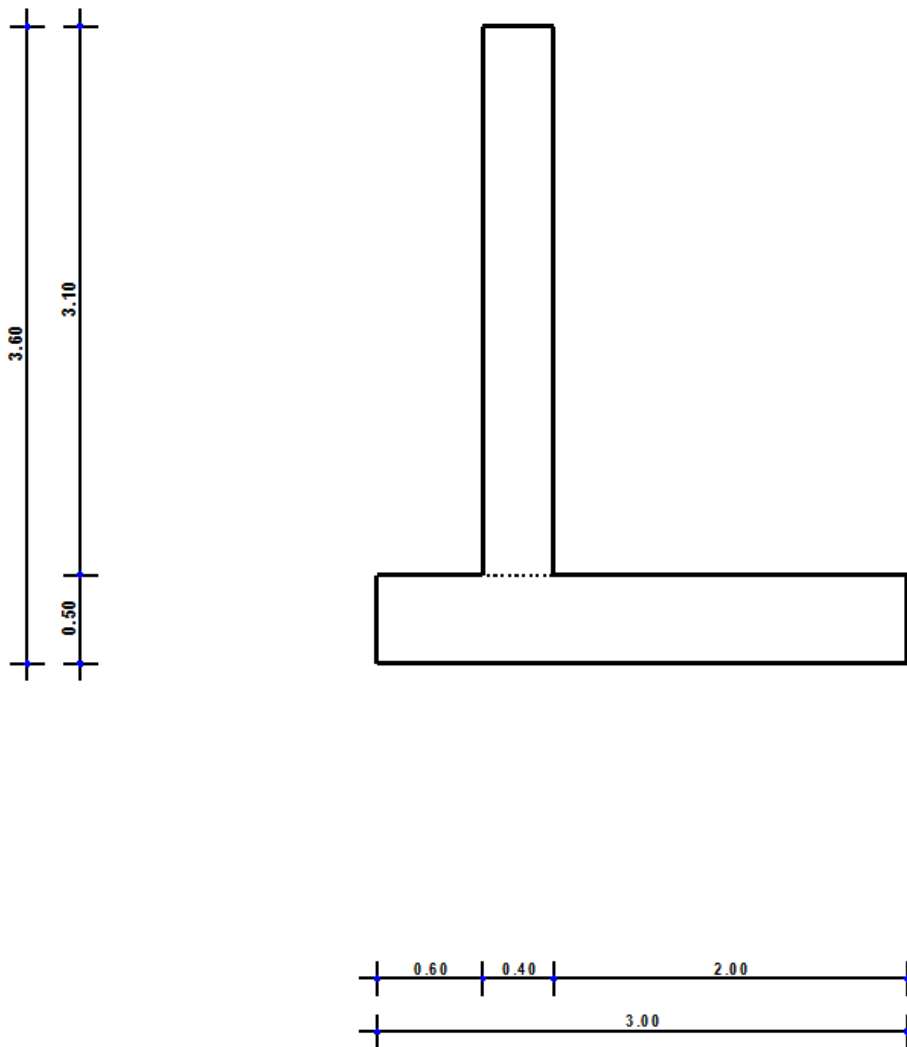
SEZIONE 1 - STRATI



Strato	Descrizione	γ	γ_{sat}	ϕ	c_u	c'
T1	Sedimenti Detritivi	18000	22000	28.0°	0.00	0.00

GEOMETRIA

SEZIONE 1 - SEZIONE



CARATTERISTICHE MECCANICHE DEGLI STRATI

N	Caratt. Geotecnica	Addens. Strato	Var. Mod. Edom.	NSPT	Caratteristiche meccaniche degli strati					
					Alfa		Res. Tang.		Kp	PrsMenar d
					IGU	IRS	IGU [N/mm ²]	IRS [N/mm ²]		
Sezione 1										
1	Sabbia media	Denso	Nulla	24	1,2	1,5	0,120	0,175	1,20	1,20
2	Sabbia media	Sciolto	Nulla	24	1,2	1,5	0,120	0,175	1,20	1,20

LEGENDA Caratteristiche meccaniche degli strati

- N** Numero identificativo dello strato.
- Caratt. Geotecnica** Caratterizzazione geotecnica per micropali.
- Addens.** Addensamento dello strato

Caratteristiche meccaniche degli strati

N	Caratt. Geotecnica	Addens. Strato	Var. Mod. Edom.	NSPT	Alfa		Res. Tang.		Kp	PrsMenard
					IGU	IRS	IGU [N/mm ²]	IRS [N/mm ²]		

Strato

Var. Mod. Edom.

Variazione del Modulo Edometrico.

NSPT

Numero di colpi dello Standard Penetration Test

Alfa

Coefficiente maggiorativo diametro perforazione per micropali.

Res. Tang.

Resistenza tangenziale tra zona iniettata e terreno per micropali.

Kp

Coefficiente di calcolo resistenza alla punta per micropali.

PrsMenard

Pressione limite terreno determinata col pressiometro Menard.

SPINTE SUL PARAMENTO ALLO SLU

SPINTE SUL PARAMENTO ALLO SLU

Approccio	Stato limite	Sisma	Fx [N]	Fz [N]	Angolo [gradi]	PtApp [m]
Sezione 1						
Approccio 1, Combinazione 1	Stato Limite di Resistenza della Struttura	NO	25.469	12.126	60	X: 0,40; Z: 1,03
Approccio 1, Combinazione 1	Stato Limite di Resistenza della Struttura	NO	19.591	9.328	60	X: 0,40; Z: 1,03
Approccio 1, Combinazione 1	Stato Limite di Resistenza della Struttura	SI	25.519	12.150	55	X: 0,40; Z: 1,03
Approccio 1, Combinazione 1	Stato Limite di Resistenza della Struttura	SI	23.752	11.309	55	X: 0,40; Z: 1,03
Approccio 1, Combinazione 2	Stato Limite di Resistenza del Terreno	NO	25.775	10.124	56	X: 0,40; Z: 1,03
Approccio 1, Combinazione 2	Stato Limite di Resistenza del Terreno	NO	25.775	10.124	56	X: 0,40; Z: 1,03
Approccio 1, Combinazione 2	Stato Limite di Resistenza del Terreno	SI	32.940	12.938	51	X: 0,40; Z: 1,03
Approccio 1, Combinazione 2	Stato Limite di Resistenza del Terreno	SI	30.612	12.023	51	X: 0,40; Z: 1,03
Approccio 1, Combinazione 2	Stato Limite di Equilibrio	NO	28.352	11.136	56	X: 0,40; Z: 1,03
Approccio 1, Combinazione 2	Stato Limite di Equilibrio	NO	23.197	9.112	56	X: 0,40; Z: 1,03
Approccio 1, Combinazione 2	Stato Limite di Equilibrio	SI	32.940	12.938	51	X: 0,40; Z: 0,93
Approccio 1, Combinazione 2	Stato Limite di Equilibrio	SI	30.612	12.023	51	X: 0,40; Z: 0,92

LEGENDA Spinte sul paramento allo SLU

Approccio

Tipo di Approccio seguito.

Stato limite

Tipo di Stato Limite.

Sisma

Sisma agente nella Combinazione.

Fx

Spinta Orizzontale [N].

Fz

Spinta Verticale [N].

Angolo

Angolo della retta delimitante il cuneo di Spinta [gradi].

PtApp

Punto di applicazione della Spinta [m].

SPINTE SUL CUNEO ALLO SLU

SPINTE SUL CUNEO ALLO SLU

Approccio	Stato limite	Sisma	Fx [N]	Fz [N]	Angolo [gradi]	PtApp [m]
Sezione 1						
Approccio 1, Combinazione 1	Stato Limite di Resistenza della Struttura	NO	58.179	27.700	54	X: 2,40; Z: 0,53
Approccio 1, Combinazione 1	Stato Limite di Resistenza della Struttura	NO	44.753	21.308	54	X: 2,40; Z: 0,53
Approccio 1, Combinazione 1	Stato Limite di Resistenza della Struttura	SI	55.661	26.501	48	X: 2,40; Z: 0,70
Approccio 1, Combinazione 1	Stato Limite di Resistenza della Struttura	SI	51.596	24.565	48	X: 2,40; Z: 0,70
Approccio 1, Combinazione 2	Stato Limite di Resistenza del Terreno	NO	55.267	21.708	51	X: 2,40; Z: 0,58
Approccio 1, Combinazione 2	Stato Limite di Resistenza del Terreno	NO	55.267	21.708	51	X: 2,40; Z: 0,58
Approccio 1, Combinazione 2	Stato Limite di Resistenza del Terreno	SI	68.016	26.716	45	X: 2,40; Z: 0,74

SPINTE SUL CUNEO ALLO SLU

Approccio	Stato limite	Sisma	Fx [N]	Fz [N]	Angolo [gradi]	PtApp [m]
Approccio 1, Combinazione 2	Terreno Stato Limite di Resistenza del Terreno	SI	63.003	24.747	45	X: 2,40; Z: 0,74
Approccio 1, Combinazione 2	Stato Limite di Equilibrio	NO	60.794	23.879	54	X: 2,40; Z: 0,53
Approccio 1, Combinazione 2	Stato Limite di Equilibrio	NO	49.741	19.538	54	X: 2,40; Z: 0,53
Approccio 1, Combinazione 2	Stato Limite di Equilibrio	SI	68.016	26.716	48	X: 2,40; Z: 0,72
Approccio 1, Combinazione 2	Stato Limite di Equilibrio	SI	63.003	24.747	48	X: 2,40; Z: 0,71

LEGENDA Spinte sul cuneo allo SLU

Approccio Tipo di Approccio seguito.
Stato limite Tipo di Stato Limite.
Sisma Sisma agente nella Combinazione.
Fx Spinta Orizzontale [N].
Fz Spinta Verticale [N].
Angolo Angolo della retta delimitante il cuneo di Spinta [gradi].
PtApp Punto di applicazione della Spinta [m].

SPINTE SUL PARAMENTO ALLO SLE

SPINTE SUL PARAMENTO ALLO SLE

Combinazione	Sisma	Fx [N]	Fz [N]	Angolo [gradi]	PtApp [m]
Sezione 1					
RARA	NO	19.591	9.328	60	X: 0,40; Z: 1,03
RARA	NO	19.591	9.328	60	X: 0,40; Z: 1,03
FREQUENTE	NO	19.591	9.328	60	X: 0,40; Z: 1,03
QUASI PERMANENTE	NO	19.591	9.328	60	X: 0,40; Z: 1,03

LEGENDA Spinte sul paramento allo SLE

Combinazione Combinazione di Carico allo SLE.
Sisma Sisma agente nella Combinazione.
Fx Spinta Orizzontale [N].
Fz Spinta Verticale [N].
Angolo Angolo della retta delimitante il cuneo di Spinta [gradi].
PtApp Punto di applicazione della Spinta [m].

SPINTE SUL CUNEO ALLO SLE

SPINTE SUL CUNEO ALLO SLE

Combinazione	Sisma	Fx [N]	Fz [N]	Angolo [gradi]	PtApp [m]
Sezione 1					
RARA	NO	44.753	21.308	54	X: 2,40; Z: 0,53
RARA	NO	44.753	21.308	54	X: 2,40; Z: 0,53
FREQUENTE	NO	44.753	21.308	54	X: 2,40; Z: 0,53
QUASI PERMANENTE	NO	44.753	21.308	54	X: 2,40; Z: 0,53

LEGENDA Spinte sul cuneo allo SLE

Combinazione Combinazione di Carico allo SLE.
Sisma Sisma agente nella Combinazione.
Fx Spinta Orizzontale [N].
Fz Spinta Verticale [N].
Angolo Angolo della retta delimitante il cuneo di Spinta [gradi].
PtApp Punto di applicazione della Spinta [m].

SOLLECITAZIONI SUL PARAMENTO

SOLLECITAZIONI SUL PARAMENTO

Approccio	Stato limite	Sisma	N [N]	My [Nm]	Tx [N]
Sezione 1					
Sez. calcolo n.1 - Dis: 0.00					
Approccio 1, Combinazione 1	Stato Limite di Resistenza della Struttura	NO	52034	-23140,00	-25467,00
Approccio 1, Combinazione 1	Stato Limite di Resistenza della Struttura	NO	40027	-17802,00	-19591,00
Approccio 1, Combinazione 1	Stato Limite di Resistenza della Struttura	SI	41455	-28779,00	-29014,00
Approccio 1, Combinazione 1	Stato Limite di Resistenza della Struttura	SI	38599	-26816,00	-27057,00
Approccio 1, Combinazione 2	Stato Limite di Resistenza della Struttura	NO	40825	-23851,00	-25775,00
Approccio 1, Combinazione 2	Stato Limite di Resistenza della Struttura	NO	40825	-23851,00	-25775,00

SOLLECITAZIONI SUL PARAMENTO

Approccio	Stato limite	Sisma	N	My	Tx
			[N]	[Nm]	[N]
Approccio 1, Combinazione 2	Stato Limite di Resistenza della Struttura	SI	42253	-35960,00	-36329,00
Approccio 1, Combinazione 2	Stato Limite di Resistenza della Struttura	SI	39397	-33452,00	-33829,00
-	SLE: Combinazione RARA	NO	40027	-17802,00	-19591,00
-	SLE: Combinazione RARA	NO	40027	-17802,00	-19591,00
-	SLE: Combinazione FREQUENTE	NO	40027	-17802,00	-19591,00
-	SLE: Combinazione QUASI PERMANENTE	NO	40027	-17802,00	-19591,00
Sez. calcolo n.2 - Dis: 0.38					
Approccio 1, Combinazione 1	Stato Limite di Resistenza della Struttura	NO	44076	-15384,00	-19128,00
Approccio 1, Combinazione 1	Stato Limite di Resistenza della Struttura	NO	33906	-11836,00	-14715,00
Approccio 1, Combinazione 1	Stato Limite di Resistenza della Struttura	SI	35158	-19638,00	-22150,00
Approccio 1, Combinazione 1	Stato Limite di Resistenza della Struttura	SI	32654	-18318,00	-20681,00
Approccio 1, Combinazione 2	Stato Limite di Resistenza della Struttura	NO	34505	-15894,00	-19360,00
Approccio 1, Combinazione 2	Stato Limite di Resistenza della Struttura	NO	34505	-15894,00	-19360,00
Approccio 1, Combinazione 2	Stato Limite di Resistenza della Struttura	SI	35757	-24458,00	-27643,00
Approccio 1, Combinazione 2	Stato Limite di Resistenza della Struttura	SI	33253	-22771,00	-25766,00
-	SLE: Combinazione RARA	NO	33906	-11836,00	-14715,00
-	SLE: Combinazione RARA	NO	33906	-11836,00	-14715,00
-	SLE: Combinazione FREQUENTE	NO	33906	-11836,00	-14715,00
-	SLE: Combinazione QUASI PERMANENTE	NO	33906	-11836,00	-14715,00
Sez. calcolo n.3 - Dis: 0.76					
Approccio 1, Combinazione 1	Stato Limite di Resistenza della Struttura	NO	36550	-9585,00	-13695,00
Approccio 1, Combinazione 1	Stato Limite di Resistenza della Struttura	NO	28116	-7375,00	-10535,00
Approccio 1, Combinazione 1	Stato Limite di Resistenza della Struttura	SI	29191	-12665,00	-16215,00
Approccio 1, Combinazione 1	Stato Limite di Resistenza della Struttura	SI	27041	-11830,00	-15163,00
Approccio 1, Combinazione 2	Stato Limite di Resistenza della Struttura	NO	28545	-9934,00	-13861,00
Approccio 1, Combinazione 2	Stato Limite di Resistenza della Struttura	NO	28545	-9934,00	-13861,00
Approccio 1, Combinazione 2	Stato Limite di Resistenza della Struttura	SI	29620	-15705,00	-20148,00
Approccio 1, Combinazione 2	Stato Limite di Resistenza della Struttura	SI	27470	-14638,00	-18804,00
-	SLE: Combinazione RARA	NO	28116	-7375,00	-10535,00
-	SLE: Combinazione RARA	NO	28116	-7375,00	-10535,00
-	SLE: Combinazione FREQUENTE	NO	28116	-7375,00	-10535,00
-	SLE: Combinazione QUASI PERMANENTE	NO	28116	-7375,00	-10535,00
Sez. calcolo n.4 - Dis: 1.14					
Approccio 1, Combinazione 1	Stato Limite di Resistenza della	NO	29954	-5380,00	-10214,00

SOLLECITAZIONI SUL PARAMENTO

Approccio	Stato limite	Sisma	N	My	Tx
			[N]	[Nm]	[N]
Approccio 1, Combinazione 1	Struttura Stato Limite di Resistenza della	NO	23041	-4140,00	-7858,00
Approccio 1, Combinazione 1	Struttura Stato Limite di Resistenza della	SI	23939	-7511,00	-12288,00
Approccio 1, Combinazione 1	Struttura Stato Limite di Resistenza della	SI	22143	-7024,00	-11504,00
Approccio 1, Combinazione 2	Struttura Stato Limite di Resistenza della	NO	23361	-5619,00	-10339,00
Approccio 1, Combinazione 2	Struttura Stato Limite di Resistenza della	NO	23361	-5619,00	-10339,00
Approccio 1, Combinazione 2	Struttura Stato Limite di Resistenza della	SI	24259	-9270,00	-15221,00
Approccio 1, Combinazione 2	Struttura Stato Limite di Resistenza della	SI	22463	-8648,00	-14219,00
-	SLE: Combinazione RARA	NO	23041	-4140,00	-7858,00
-	SLE: Combinazione RARA	NO	23041	-4140,00	-7858,00
-	SLE: Combinazione FREQUENTE	NO	23041	-4140,00	-7858,00
-	SLE: Combinazione QUASI PERMANENTE	NO	23041	-4140,00	-7858,00
Sez. calcolo n.5 - Dis: 1.52					
Approccio 1, Combinazione 1	Stato Limite di Resistenza della	NO	23180	-2690,00	-6366,00
Approccio 1, Combinazione 1	Struttura Stato Limite di Resistenza della	NO	17832	-2070,00	-4898,00
Approccio 1, Combinazione 1	Struttura Stato Limite di Resistenza della	SI	18553	-4037,00	-7982,00
Approccio 1, Combinazione 1	Struttura Stato Limite di Resistenza della	SI	17111	-3785,00	-7494,00
Approccio 1, Combinazione 2	Struttura Stato Limite di Resistenza della	NO	18031	-2831,00	-6444,00
Approccio 1, Combinazione 2	Struttura Stato Limite di Resistenza della	NO	18031	-2831,00	-6444,00
Approccio 1, Combinazione 2	Struttura Stato Limite di Resistenza della	SI	18752	-4943,00	-9809,00
Approccio 1, Combinazione 2	Struttura Stato Limite di Resistenza della	SI	17310	-4620,00	-9185,00
-	SLE: Combinazione RARA	NO	17832	-2070,00	-4898,00
-	SLE: Combinazione RARA	NO	17832	-2070,00	-4898,00
-	SLE: Combinazione FREQUENTE	NO	17832	-2070,00	-4898,00
-	SLE: Combinazione QUASI PERMANENTE	NO	17832	-2070,00	-4898,00
Sez. calcolo n.6 - Dis: 1.90					
Approccio 1, Combinazione 1	Stato Limite di Resistenza della	NO	16838	-1090,00	-3423,00
Approccio 1, Combinazione 1	Struttura Stato Limite di Resistenza della	NO	12954	-839,00	-2634,00
Approccio 1, Combinazione 1	Struttura Stato Limite di Resistenza della	SI	13498	-1841,00	-4606,00
Approccio 1, Combinazione 1	Struttura Stato Limite di Resistenza della	SI	12410	-1733,00	-4343,00
Approccio 1, Combinazione 2	Struttura Stato Limite di Resistenza della	NO	13061	-1162,00	-3465,00
Approccio 1, Combinazione 2	Struttura Stato Limite di Resistenza della	NO	13061	-1162,00	-3465,00
Approccio 1, Combinazione 2	Struttura Stato Limite di	SI	13605	-2226,00	-5587,00

SOLLECITAZIONI SUL PARAMENTO

Approccio	Stato limite	Sisma	N [N]	My [Nm]	Tx [N]
Approccio 1, Combinazione 2	Resistenza della Struttura Stato Limite di Resistenza della Struttura	SI	12517	-2088,00	-5252,00
-	SLE: Combinazione RARA	NO	12954	-839,00	-2634,00
-	SLE: Combinazione RARA	NO	12954	-839,00	-2634,00
-	SLE: Combinazione FREQUENTE	NO	12954	-839,00	-2634,00
-	SLE: Combinazione QUASI PERMANENTE	NO	12954	-839,00	-2634,00
Sez. calcolo n.7 - Dis: 2.28					
Approccio 1, Combinazione 1	Stato Limite di Resistenza della Struttura	NO	11130	-264,00	-1810,00
Approccio 1, Combinazione 1	Stato Limite di Resistenza della Struttura	NO	8563	-203,00	-1393,00
Approccio 1, Combinazione 1	Stato Limite di Resistenza della Struttura	SI	8931	-606,00	-2594,00
Approccio 1, Combinazione 1	Stato Limite di Resistenza della Struttura	SI	8195	-572,00	-2456,00
Approccio 1, Combinazione 2	Stato Limite di Resistenza della Struttura	NO	8620	-298,00	-1833,00
Approccio 1, Combinazione 2	Stato Limite di Resistenza della Struttura	NO	8620	-298,00	-1833,00
Approccio 1, Combinazione 2	Stato Limite di Resistenza della Struttura	SI	8988	-719,00	-3114,00
Approccio 1, Combinazione 2	Stato Limite di Resistenza della Struttura	SI	8252	-677,00	-2937,00
-	SLE: Combinazione RARA	NO	8563	-203,00	-1393,00
-	SLE: Combinazione RARA	NO	8563	-203,00	-1393,00
-	SLE: Combinazione FREQUENTE	NO	8563	-203,00	-1393,00
-	SLE: Combinazione QUASI PERMANENTE	NO	8563	-203,00	-1393,00
Sez. calcolo n.8 - Dis: 2.66					
Approccio 1, Combinazione 1	Stato Limite di Resistenza della Struttura	NO	5544	-20,00	-452,00
Approccio 1, Combinazione 1	Stato Limite di Resistenza della Struttura	NO	4266	-15,00	-348,00
Approccio 1, Combinazione 1	Stato Limite di Resistenza della Struttura	SI	4457	-109,00	-846,00
Approccio 1, Combinazione 1	Stato Limite di Resistenza della Struttura	SI	4075	-105,00	-812,00
Approccio 1, Combinazione 2	Stato Limite di Resistenza della Struttura	NO	4280	-28,00	-458,00
Approccio 1, Combinazione 2	Stato Limite di Resistenza della Struttura	NO	4280	-28,00	-458,00
Approccio 1, Combinazione 2	Stato Limite di Resistenza della Struttura	SI	4471	-125,00	-976,00
Approccio 1, Combinazione 2	Stato Limite di Resistenza della Struttura	SI	4089	-119,00	-932,00
-	SLE: Combinazione RARA	NO	4266	-15,00	-348,00
-	SLE: Combinazione RARA	NO	4266	-15,00	-348,00
-	SLE: Combinazione FREQUENTE	NO	4266	-15,00	-348,00
-	SLE: Combinazione QUASI PERMANENTE	NO	4266	-15,00	-348,00
Sez. calcolo n.9 - Dis: 3.04					
Approccio 1, Combinazione 1	Stato Limite di Resistenza della Struttura	NO	390	0,00	0,00

SOLLECITAZIONI SUL PARAMENTO

Approccio	Stato limite	Sisma	N	My	Tx
			[N]	[Nm]	[N]
Approccio 1, Combinazione 1	Stato Limite di Resistenza della Struttura	NO	300	0,00	0,00
Approccio 1, Combinazione 1	Stato Limite di Resistenza della Struttura	SI	314	0,00	-28,00
Approccio 1, Combinazione 1	Stato Limite di Resistenza della Struttura	SI	286	0,00	-28,00
Approccio 1, Combinazione 2	Stato Limite di Resistenza della Struttura	NO	300	0,00	0,00
Approccio 1, Combinazione 2	Stato Limite di Resistenza della Struttura	NO	300	0,00	0,00
Approccio 1, Combinazione 2	Stato Limite di Resistenza della Struttura	SI	314	0,00	-28,00
Approccio 1, Combinazione 2	Stato Limite di Resistenza della Struttura	SI	286	0,00	-28,00
-	SLE: Combinazione RARA	NO	300	0,00	0,00
-	SLE: Combinazione RARA	NO	300	0,00	0,00
-	SLE: Combinazione FREQUENTE	NO	300	0,00	0,00
-	SLE: Combinazione QUASI PERMANENTE	NO	300	0,00	0,00

LEGENDA Sollecitazioni sul Paramento

- Approccio** Tipo di Approccio seguito.
- Stato limite** Tipo di Stato Limite.
- Sisma** Sisma agente nella Combinazione.
- N** Sforzo Normale [N].
- My** Vettore Momento ortogonale al piano dell'elemento [Nm].
- Tx** Taglio orizzontale nel piano dell'elemento [N].

SOLLECITAZIONI SULLA FONDAZIONE

SOLLECITAZIONI SULLA FONDAZIONE

Approccio	Stato limite	Sisma	N	My	Tx
			[N]	[Nm]	[N]
Sezione 1					
Sez. calcolo n.10 - Dis: 0.00(Valle)					
Approccio 1, Combinazione 1	Stato Limite di Resistenza della Struttura	NO	0	-45,00	-3031,00
Approccio 1, Combinazione 1	Stato Limite di Resistenza della Struttura	NO	0	-35,00	-2332,00
Approccio 1, Combinazione 1	Stato Limite di Resistenza della Struttura	SI	0	-41,00	-2714,00
Approccio 1, Combinazione 1	Stato Limite di Resistenza della Struttura	SI	0	-39,00	-2579,00
Approccio 1, Combinazione 2	Stato Limite di Resistenza della Struttura	NO	0	-38,00	-2547,00
Approccio 1, Combinazione 2	Stato Limite di Resistenza della Struttura	NO	0	-38,00	-2547,00
Approccio 1, Combinazione 2	Stato Limite di Resistenza della Struttura	SI	0	-45,00	-2966,00
Approccio 1, Combinazione 2	Stato Limite di Resistenza della Struttura	SI	0	-42,00	-2814,00
-	SLE: Combinazione RARA	NO	0	-35,00	-2332,00
-	SLE: Combinazione RARA	NO	0	-35,00	-2332,00
-	SLE: Combinazione FREQUENTE	NO	0	-35,00	-2332,00
-	SLE: Combinazione QUASI PERMANENTE	NO	0	-35,00	-2332,00
Sez. calcolo n.11 - Dis: 0.07(Valle)					
Approccio 1, Combinazione 1	Stato Limite di Resistenza della Struttura	NO	0	-215,00	-4841,00
Approccio 1, Combinazione 1	Stato Limite di Resistenza della Struttura	NO	0	-166,00	-3724,00

SOLLECITAZIONI SULLA FONDAZIONE

Approccio	Stato limite	Sisma	N	My	Tx
			[N]	[Nm]	[N]
Approccio 1, Combinazione 1	Stato Limite di Resistenza della Struttura	SI	0	-226,00	-4937,00
Approccio 1, Combinazione 1	Stato Limite di Resistenza della Struttura	SI	0	-205,00	-4511,00
Approccio 1, Combinazione 2	Stato Limite di Resistenza della Struttura	NO	0	-199,00	-4408,00
Approccio 1, Combinazione 2	Stato Limite di Resistenza della Struttura	NO	0	-199,00	-4408,00
Approccio 1, Combinazione 2	Stato Limite di Resistenza della Struttura	SI	0	-265,00	-5738,00
Approccio 1, Combinazione 2	Stato Limite di Resistenza della Struttura	SI	0	-241,00	-5257,00
-	SLE: Combinazione RARA	NO	0	-166,00	-3724,00
-	SLE: Combinazione RARA	NO	0	-166,00	-3724,00
-	SLE: Combinazione FREQUENTE	NO	0	-166,00	-3724,00
-	SLE: Combinazione QUASI PERMANENTE	NO	0	-166,00	-3724,00
Sez. calcolo n.12 - Dis: 0.14(Valle)					
Approccio 1, Combinazione 1	Stato Limite di Resistenza della Struttura	NO	0	-613,00	-6601,00
Approccio 1, Combinazione 1	Stato Limite di Resistenza della Struttura	NO	0	-471,00	-5079,00
Approccio 1, Combinazione 1	Stato Limite di Resistenza della Struttura	SI	0	-640,00	-7086,00
Approccio 1, Combinazione 1	Stato Limite di Resistenza della Struttura	SI	0	-581,00	-6378,00
Approccio 1, Combinazione 2	Stato Limite di Resistenza della Struttura	NO	0	-567,00	-6212,00
Approccio 1, Combinazione 2	Stato Limite di Resistenza della Struttura	NO	0	-567,00	-6212,00
Approccio 1, Combinazione 2	Stato Limite di Resistenza della Struttura	SI	0	-751,00	-8412,00
Approccio 1, Combinazione 2	Stato Limite di Resistenza della Struttura	SI	0	-684,00	-7612,00
-	SLE: Combinazione RARA	NO	0	-471,00	-5079,00
-	SLE: Combinazione RARA	NO	0	-471,00	-5079,00
-	SLE: Combinazione FREQUENTE	NO	0	-471,00	-5079,00
-	SLE: Combinazione QUASI PERMANENTE	NO	0	-471,00	-5079,00
Sez. calcolo n.13 - Dis: 0.20(Valle)					
Approccio 1, Combinazione 1	Stato Limite di Resistenza della Struttura	NO	0	-1234,00	-8313,00
Approccio 1, Combinazione 1	Stato Limite di Resistenza della Struttura	NO	0	-949,00	-6396,00
Approccio 1, Combinazione 1	Stato Limite di Resistenza della Struttura	SI	0	-1279,00	-9160,00
Approccio 1, Combinazione 1	Stato Limite di Resistenza della Struttura	SI	0	-1163,00	-8180,00
Approccio 1, Combinazione 2	Stato Limite di Resistenza della Struttura	NO	0	-1135,00	-7955,00
Approccio 1, Combinazione 2	Stato Limite di Resistenza della Struttura	NO	0	-1135,00	-7955,00
Approccio 1, Combinazione 2	Stato Limite di Resistenza della Struttura	SI	0	-1497,00	-10984,00
Approccio 1, Combinazione 2	Stato Limite di Resistenza della Struttura	SI	0	-1366,00	-9878,00

SOLLECITAZIONI SULLA FONDAZIONE

Approccio	Stato limite	Sisma	N	My	Tx
			[N]	[Nm]	[N]
-	Struttura SLE: Combinazione RARA	NO	0	-949,00	-6396,00
-	SLE: Combinazione RARA	NO	0	-949,00	-6396,00
-	SLE: Combinazione FREQUENTE	NO	0	-949,00	-6396,00
-	SLE: Combinazione QUASI PERMANENTE	NO	0	-949,00	-6396,00
Sez. calcolo n.14 - Dis: 0.27(Valle)					
Approccio 1, Combinazione 1	Stato Limite di Resistenza della Struttura	NO	0	-2019,00	-14960,00
Approccio 1, Combinazione 1	Stato Limite di Resistenza della Struttura	NO	0	-1554,00	-11508,00
Approccio 1, Combinazione 1	Stato Limite di Resistenza della Struttura	SI	0	-2095,00	-14992,00
Approccio 1, Combinazione 1	Stato Limite di Resistenza della Struttura	SI	0	-1903,00	-13751,00
Approccio 1, Combinazione 2	Stato Limite di Resistenza della Struttura	NO	0	-1859,00	-13474,00
Approccio 1, Combinazione 2	Stato Limite di Resistenza della Struttura	NO	0	-1859,00	-13474,00
Approccio 1, Combinazione 2	Stato Limite di Resistenza della Struttura	SI	0	-2452,00	-17290,00
Approccio 1, Combinazione 2	Stato Limite di Resistenza della Struttura	SI	0	-2236,00	-15891,00
-	SLE: Combinazione RARA	NO	0	-1554,00	-11508,00
-	SLE: Combinazione RARA	NO	0	-1554,00	-11508,00
-	SLE: Combinazione FREQUENTE	NO	0	-1554,00	-11508,00
-	SLE: Combinazione QUASI PERMANENTE	NO	0	-1554,00	-11508,00
Sez. calcolo n.15 - Dis: 0.34(Valle)					
Approccio 1, Combinazione 1	Stato Limite di Resistenza della Struttura	NO	0	-2977,00	-16892,00
Approccio 1, Combinazione 1	Stato Limite di Resistenza della Struttura	NO	0	-2290,00	-12994,00
Approccio 1, Combinazione 1	Stato Limite di Resistenza della Struttura	SI	0	-3089,00	-17159,00
Approccio 1, Combinazione 1	Stato Limite di Resistenza della Struttura	SI	0	-2806,00	-15670,00
Approccio 1, Combinazione 2	Stato Limite di Resistenza della Struttura	NO	0	-2741,00	-15345,00
Approccio 1, Combinazione 2	Stato Limite di Resistenza della Struttura	NO	0	-2741,00	-15345,00
Approccio 1, Combinazione 2	Stato Limite di Resistenza della Struttura	SI	0	-3617,00	-19907,00
Approccio 1, Combinazione 2	Stato Limite di Resistenza della Struttura	SI	0	-3297,00	-18228,00
-	SLE: Combinazione RARA	NO	0	-2290,00	-12994,00
-	SLE: Combinazione RARA	NO	0	-2290,00	-12994,00
-	SLE: Combinazione FREQUENTE	NO	0	-2290,00	-12994,00
-	SLE: Combinazione QUASI PERMANENTE	NO	0	-2290,00	-12994,00
Sez. calcolo n.16 - Dis: 0.41(Valle)					
Approccio 1, Combinazione 1	Stato Limite di Resistenza della Struttura	NO	0	-4136,00	-18776,00
Approccio 1, Combinazione 1	Stato Limite di Resistenza della Struttura	NO	0	-3182,00	-14444,00
Approccio 1, Combinazione 1	Stato Limite di	SI	0	-4284,00	-19252,00

SOLLECITAZIONI SULLA FONDAZIONE

Approccio	Stato limite	Sisma	N	My	Tx
			[N]	[Nm]	[N]
Approccio 1, Combinazione 1	Resistenza della Struttura Stato Limite di Resistenza della Struttura	SI	0	-3892,00	-17524,00
Approccio 1, Combinazione 2	Stato Limite di Resistenza della Struttura	NO	0	-3804,00	-17158,00
Approccio 1, Combinazione 2	Stato Limite di Resistenza della Struttura	NO	0	-3804,00	-17158,00
Approccio 1, Combinazione 2	Stato Limite di Resistenza della Struttura	SI	0	-5012,00	-22425,00
Approccio 1, Combinazione 2	Stato Limite di Resistenza della Struttura	SI	0	-4570,00	-20477,00
-	SLE: Combinazione RARA	NO	0	-3182,00	-14444,00
-	SLE: Combinazione RARA	NO	0	-3182,00	-14444,00
-	SLE: Combinazione FREQUENTE	NO	0	-3182,00	-14444,00
-	SLE: Combinazione QUASI PERMANENTE	NO	0	-3182,00	-14444,00
Sez. calcolo n.17 - Dis: 0.47(Valle)					
Approccio 1, Combinazione 1	Stato Limite di Resistenza della Struttura	NO	0	-5495,00	-20612,00
Approccio 1, Combinazione 1	Stato Limite di Resistenza della Struttura	NO	0	-4228,00	-15857,00
Approccio 1, Combinazione 1	Stato Limite di Resistenza della Struttura	SI	0	-5675,00	-21271,00
Approccio 1, Combinazione 1	Stato Limite di Resistenza della Struttura	SI	0	-5159,00	-19315,00
Approccio 1, Combinazione 2	Stato Limite di Resistenza della Struttura	NO	0	-5045,00	-18913,00
Approccio 1, Combinazione 2	Stato Limite di Resistenza della Struttura	NO	0	-5045,00	-18913,00
Approccio 1, Combinazione 2	Stato Limite di Resistenza della Struttura	SI	0	-6631,00	-24844,00
Approccio 1, Combinazione 2	Stato Limite di Resistenza della Struttura	SI	0	-6048,00	-22640,00
-	SLE: Combinazione RARA	NO	0	-4228,00	-15857,00
-	SLE: Combinazione RARA	NO	0	-4228,00	-15857,00
-	SLE: Combinazione FREQUENTE	NO	0	-4228,00	-15857,00
-	SLE: Combinazione QUASI PERMANENTE	NO	0	-4228,00	-15857,00
Sez. calcolo n.18 - Dis: 0.54(Valle)					
Approccio 1, Combinazione 1	Stato Limite di Resistenza della Struttura	NO	0	-7050,00	-22399,00
Approccio 1, Combinazione 1	Stato Limite di Resistenza della Struttura	NO	0	-5424,00	-17232,00
Approccio 1, Combinazione 1	Stato Limite di Resistenza della Struttura	SI	0	-7256,00	-23215,00
Approccio 1, Combinazione 1	Stato Limite di Resistenza della Struttura	SI	0	-6600,00	-21040,00
Approccio 1, Combinazione 2	Stato Limite di Resistenza della Struttura	NO	0	-6458,00	-20609,00
Approccio 1, Combinazione 2	Stato Limite di Resistenza della Struttura	NO	0	-6458,00	-20609,00
Approccio 1, Combinazione 2	Stato Limite di Resistenza della Struttura	SI	0	-8466,00	-27162,00
Approccio 1, Combinazione 2	Stato Limite di Resistenza della Struttura	SI	0	-7726,00	-24715,00

SOLLECITAZIONI SULLA FONDAZIONE

Approccio	Stato limite	Sisma	N	My	Tx
			[N]	[Nm]	[N]
-	SLE: Combinazione RARA	NO	0	-5424,00	-17232,00
-	SLE: Combinazione RARA	NO	0	-5424,00	-17232,00
-	SLE: Combinazione FREQUENTE	NO	0	-5424,00	-17232,00
-	SLE: Combinazione QUASI PERMANENTE	NO	0	-5424,00	-17232,00
Sez. calcolo n.19 - Dis: 0.00(Monte)					
Approccio 1, Combinazione 1	Stato Limite di Resistenza della Struttura	NO	0	25075,00	13155,00
Approccio 1, Combinazione 1	Stato Limite di Resistenza della Struttura	NO	0	19290,00	10121,00
Approccio 1, Combinazione 1	Stato Limite di Resistenza della Struttura	SI	0	31877,00	17550,00
Approccio 1, Combinazione 1	Stato Limite di Resistenza della Struttura	SI	0	29882,00	17036,00
Approccio 1, Combinazione 2	Stato Limite di Resistenza della Struttura	NO	0	26441,00	14325,00
Approccio 1, Combinazione 2	Stato Limite di Resistenza della Struttura	NO	0	26441,00	14325,00
Approccio 1, Combinazione 2	Stato Limite di Resistenza della Struttura	SI	0	40365,00	22589,00
Approccio 1, Combinazione 2	Stato Limite di Resistenza della Struttura	SI	0	37725,00	21676,00
-	SLE: Combinazione RARA	NO	0	19290,00	10121,00
-	SLE: Combinazione RARA	NO	0	19290,00	10121,00
-	SLE: Combinazione FREQUENTE	NO	0	19290,00	10121,00
-	SLE: Combinazione QUASI PERMANENTE	NO	0	19290,00	10121,00
Sez. calcolo n.20 - Dis: 0.24(Monte)					
Approccio 1, Combinazione 1	Stato Limite di Resistenza della Struttura	NO	0	22211,00	10583,00
Approccio 1, Combinazione 1	Stato Limite di Resistenza della Struttura	NO	0	17087,00	8142,00
Approccio 1, Combinazione 1	Stato Limite di Resistenza della Struttura	SI	0	27764,00	16384,00
Approccio 1, Combinazione 1	Stato Limite di Resistenza della Struttura	SI	0	25948,00	15439,00
Approccio 1, Combinazione 2	Stato Limite di Resistenza della Struttura	NO	0	23156,00	12807,00
Approccio 1, Combinazione 2	Stato Limite di Resistenza della Struttura	NO	0	23156,00	12807,00
Approccio 1, Combinazione 2	Stato Limite di Resistenza della Struttura	SI	0	34959,00	21954,00
Approccio 1, Combinazione 2	Stato Limite di Resistenza della Struttura	SI	0	32599,00	20576,00
-	SLE: Combinazione RARA	NO	0	17087,00	8142,00
-	SLE: Combinazione RARA	NO	0	17087,00	8142,00
-	SLE: Combinazione FREQUENTE	NO	0	17087,00	8142,00
-	SLE: Combinazione QUASI PERMANENTE	NO	0	17087,00	8142,00
Sez. calcolo n.21 - Dis: 0.49(Monte)					
Approccio 1, Combinazione 1	Stato Limite di Resistenza della Struttura	NO	0	18945,00	15405,00
Approccio 1, Combinazione 1	Stato Limite di Resistenza della Struttura	NO	0	14574,00	11851,00
Approccio 1, Combinazione 1	Stato Limite di Resistenza della Struttura	SI	0	23203,00	20422,00

SOLLECITAZIONI SULLA FONDAZIONE

Approccio	Stato limite	Sisma	N [N]	My [Nm]	Tx [N]
Approccio 1, Combinazione 1	Struttura Stato Limite di Resistenza della	SI	0	21654,00	19185,00
Approccio 1, Combinazione 2	Struttura Stato Limite di Resistenza della	NO	0	19484,00	16704,00
Approccio 1, Combinazione 2	Struttura Stato Limite di Resistenza della	NO	0	19484,00	16704,00
Approccio 1, Combinazione 2	Struttura Stato Limite di Resistenza della	SI	0	29016,00	26200,00
Approccio 1, Combinazione 2	Struttura Stato Limite di Resistenza della	SI	0	27030,00	24521,00
-	SLE: Combinazione RARA	NO	0	14574,00	11851,00
-	SLE: Combinazione RARA	NO	0	14574,00	11851,00
-	SLE: Combinazione FREQUENTE	NO	0	14574,00	11851,00
-	SLE: Combinazione QUASI PERMANENTE	NO	0	14574,00	11851,00
Sez. calcolo n.22 - Dis: 0.73(Monte)					
Approccio 1, Combinazione 1	Struttura Stato Limite di Resistenza della	NO	0	15346,00	11359,00
Approccio 1, Combinazione 1	Struttura Stato Limite di Resistenza della	NO	0	11806,00	8738,00
Approccio 1, Combinazione 1	Struttura Stato Limite di Resistenza della	SI	0	18365,00	17152,00
Approccio 1, Combinazione 1	Struttura Stato Limite di Resistenza della	SI	0	17138,00	15762,00
Approccio 1, Combinazione 2	Struttura Stato Limite di Resistenza della	NO	0	15544,00	13506,00
Approccio 1, Combinazione 2	Struttura Stato Limite di Resistenza della	NO	0	15544,00	13506,00
Approccio 1, Combinazione 2	Struttura Stato Limite di Resistenza della	SI	0	22784,00	22818,00
Approccio 1, Combinazione 2	Struttura Stato Limite di Resistenza della	SI	0	21225,00	20999,00
-	SLE: Combinazione RARA	NO	0	11806,00	8738,00
-	SLE: Combinazione RARA	NO	0	11806,00	8738,00
-	SLE: Combinazione FREQUENTE	NO	0	11806,00	8738,00
-	SLE: Combinazione QUASI PERMANENTE	NO	0	11806,00	8738,00
Sez. calcolo n.23 - Dis: 0.97(Monte)					
Approccio 1, Combinazione 1	Struttura Stato Limite di Resistenza della	NO	0	11812,00	14798,00
Approccio 1, Combinazione 1	Struttura Stato Limite di Resistenza della	NO	0	9087,00	11385,00
Approccio 1, Combinazione 1	Struttura Stato Limite di Resistenza della	SI	0	13674,00	19156,00
Approccio 1, Combinazione 1	Struttura Stato Limite di Resistenza della	SI	0	12788,00	17752,00
Approccio 1, Combinazione 2	Struttura Stato Limite di Resistenza della	NO	0	11706,00	15794,00
Approccio 1, Combinazione 2	Struttura Stato Limite di Resistenza della	NO	0	11706,00	15794,00
Approccio 1, Combinazione 2	Struttura Stato Limite di Resistenza della	SI	0	16765,00	24388,00
Approccio 1, Combinazione 2	Struttura Stato Limite di Resistenza della	SI	0	15648,00	22591,00
-	SLE: Combinazione	NO	0	9087,00	11385,00

SOLLECITAZIONI SULLA FONDAZIONE

Approccio	Stato limite	Sisma	N	My	Tx
			[N]	[Nm]	[N]
-	RARA SLE: Combinazione	NO	0	9087,00	11385,00
-	RARA SLE: Combinazione	NO	0	9087,00	11385,00
-	FREQUENTE SLE: Combinazione	NO	0	9087,00	11385,00
-	QUASI PERMANENTE SLE: Combinazione	NO	0	9087,00	11385,00
Sez. calcolo n.24 - Dis: 1.21(Monte)					
Approccio 1, Combinazione 1	Stato Limite di Resistenza della Struttura	NO	0	8226,00	17565,00
Approccio 1, Combinazione 1	Stato Limite di Resistenza della Struttura	NO	0	6328,00	13513,00
Approccio 1, Combinazione 1	Stato Limite di Resistenza della Struttura	SI	0	9158,00	20158,00
Approccio 1, Combinazione 1	Stato Limite di Resistenza della Struttura	SI	0	8599,00	18878,00
Approccio 1, Combinazione 2	Stato Limite di Resistenza della Struttura	NO	0	7949,00	17291,00
Approccio 1, Combinazione 2	Stato Limite di Resistenza della Struttura	NO	0	7949,00	17291,00
Approccio 1, Combinazione 2	Stato Limite di Resistenza della Struttura	SI	0	11065,00	24634,00
Approccio 1, Combinazione 2	Stato Limite di Resistenza della Struttura	SI	0	10365,00	23020,00
-	RARA SLE: Combinazione	NO	0	6328,00	13513,00
-	RARA SLE: Combinazione	NO	0	6328,00	13513,00
-	FREQUENTE SLE: Combinazione	NO	0	6328,00	13513,00
-	QUASI PERMANENTE SLE: Combinazione	NO	0	6328,00	13513,00
Sez. calcolo n.25 - Dis: 1.46(Monte)					
Approccio 1, Combinazione 1	Stato Limite di Resistenza della Struttura	NO	0	5048,00	11336,00
Approccio 1, Combinazione 1	Stato Limite di Resistenza della Struttura	NO	0	3883,00	8721,00
Approccio 1, Combinazione 1	Stato Limite di Resistenza della Struttura	SI	0	5287,00	13754,00
Approccio 1, Combinazione 1	Stato Limite di Resistenza della Struttura	SI	0	5010,00	12736,00
Approccio 1, Combinazione 2	Stato Limite di Resistenza della Struttura	NO	0	4693,00	11593,00
Approccio 1, Combinazione 2	Stato Limite di Resistenza della Struttura	NO	0	4693,00	11593,00
Approccio 1, Combinazione 2	Stato Limite di Resistenza della Struttura	SI	0	6233,00	17152,00
Approccio 1, Combinazione 2	Stato Limite di Resistenza della Struttura	SI	0	5886,00	15883,00
-	RARA SLE: Combinazione	NO	0	3883,00	8721,00
-	RARA SLE: Combinazione	NO	0	3883,00	8721,00
-	FREQUENTE SLE: Combinazione	NO	0	3883,00	8721,00
-	QUASI PERMANENTE SLE: Combinazione	NO	0	3883,00	8721,00
Sez. calcolo n.26 - Dis: 1.70(Monte)					
Approccio 1, Combinazione 1	Stato Limite di Resistenza della Struttura	NO	0	2222,00	12721,00
Approccio 1, Combinazione 1	Stato Limite di Resistenza della Struttura	NO	0	1709,00	9786,00
Approccio 1, Combinazione 1	Stato Limite di Resistenza della Struttura	SI	0	2137,00	12721,00

SOLLECITAZIONI SULLA FONDAZIONE						
Approccio	Stato limite	Sisma	N	My	Tx	
			[N]	[Nm]	[N]	
Approccio 1, Combinazione 1	Stato Limite di Resistenza della Struttura	SI	0	2061,00	12105,00	
Approccio 1, Combinazione 2	Stato Limite di Resistenza della Struttura	NO	0	1960,00	11480,00	
Approccio 1, Combinazione 2	Stato Limite di Resistenza della Struttura	NO	0	1960,00	11480,00	
Approccio 1, Combinazione 2	Stato Limite di Resistenza della Struttura	SI	0	2422,00	14720,00	
Approccio 1, Combinazione 2	Stato Limite di Resistenza della Struttura	SI	0	2324,00	13959,00	
-	SLE: Combinazione RARA	NO	0	1709,00	9786,00	
-	SLE: Combinazione RARA	NO	0	1709,00	9786,00	
-	SLE: Combinazione FREQUENTE	NO	0	1709,00	9786,00	
-	SLE: Combinazione QUASI PERMANENTE	NO	0	1709,00	9786,00	
Sez. calcolo n.27 - Dis: 1.94(Monte)						
Approccio 1, Combinazione 1	Stato Limite di Resistenza della Struttura	NO	0	23,00	5019,00	
Approccio 1, Combinazione 1	Stato Limite di Resistenza della Struttura	NO	0	18,00	3860,00	
Approccio 1, Combinazione 1	Stato Limite di Resistenza della Struttura	SI	0	38,00	4213,00	
Approccio 1, Combinazione 1	Stato Limite di Resistenza della Struttura	SI	0	48,00	4137,00	
Approccio 1, Combinazione 2	Stato Limite di Resistenza della Struttura	NO	0	28,00	4103,00	
Approccio 1, Combinazione 2	Stato Limite di Resistenza della Struttura	NO	0	28,00	4103,00	
Approccio 1, Combinazione 2	Stato Limite di Resistenza della Struttura	SI	0	39,00	4492,00	
Approccio 1, Combinazione 2	Stato Limite di Resistenza della Struttura	SI	0	49,00	4399,00	
-	SLE: Combinazione RARA	NO	0	18,00	3860,00	
-	SLE: Combinazione RARA	NO	0	18,00	3860,00	
-	SLE: Combinazione FREQUENTE	NO	0	18,00	3860,00	
-	SLE: Combinazione QUASI PERMANENTE	NO	0	18,00	3860,00	

LEGENDA Sollecitazioni sulla fondazione

Approccio	Tipo di Approccio seguito.
Stato limite	Tipo di Stato Limite.
Sisma	Sisma agente nella Combinazione.
N	Sforzo Normale [N].
My	Vettore Momento ortogonale al piano dell'elemento [Nm].
Tx	Taglio orizzontale nel piano dell'elemento [N].

TENSIONI SUL TERRENO

TENSIONI SUL TERRENO							
Approccio	Combinazione	Sisma	Pt[i]	Pr[i]	Pt[f]	Pr[f]	
			[m]	[N/mm ²]	[m]	[N/mm ²]	
Sezione 1							
Approccio 1, Combinazione 1	Combinazione 1	NO	X: -0,60; Y: -0,50	0,117	X: 2,40; Y: -0,50	0,087	
Approccio 1, Combinazione 1	Combinazione 2	NO	X: -0,60; Y: -0,50	0,090	X: 2,40; Y: -0,50	0,067	
Approccio 1, Combinazione 1	Combinazione 1	SI	X: -0,60; Y: -0,50	0,104	X: 2,40; Y: -0,50	0,055	
Approccio 1, Combinazione 1	Combinazione 2	SI	X: -0,60; Y: -0,50	0,098	X: 2,40; Y: -0,50	0,057	
Approccio 1, Combinazione 2	Combinazione 1	NO	X: -0,60; Y: -0,50	0,098	X: 2,40; Y: -0,50	0,060	
Approccio 1, Combinazione 2	Combinazione 2	NO	X: -0,60; Y: -0,50	0,098	X: 2,40; Y: -0,50	0,060	
Approccio 1, Combinazione 1	Combinazione 1	SI	X: -0,60; Y: -0,50	0,112	X: 2,40; Y: -0,50	0,048	

TENSIONI SUL TERRENO

Approccio	Combinazione	Sisma	Pt[i] [m]	Pr[i] [N/mm ²]	Pt[f] [m]	Pr[f] [N/mm ²]
Combinazione 2 Approccio 1, Combinazione 2	Combinazione 2	SI	X: -0,60; Y: -0,50	0,106	X: 2,40; Y: -0,50	0,050

LEGENDA Tensioni sul terreno

- Approccio** Tipo di Approccio seguito.
- Combinazione** Combinazione considerata.
- Sisma** Sisma agente nella Combinazione.
- Pt[i]/Pt[f]** Coordinate del punto iniziale e finale del tratto di terreno di fondazione su cui sono esercitate le tensioni sul terreno [m].
- Pr[i]/Pr[f]** Pressione iniziale e finale in corrispondenza dei relativi punti [N/mm²].

VERIFICHE DI STABILITA'

VERIFICHE DI STABILITA'

Bishop					Fellenius				
CS	FrzRblt	FrzRes	Centro	Raggio	CS	FrzRblt	FrzRes	Centro	Raggio
	[N]	[N]	[m]	[m]		[N]	[N]	[m]	[m]
Sezione 1									
Verifica 1									
Approccio 1, Combinazione 2 Stato Limite di Resistenza del Terreno senza sisma									
2,23	75.324	167.613	X: 0,30; Y: 4,00	4,97	2,05	75.324	154.548	X: 0,30; Y: 4,00	4,97
6,51	108.159	704.239	X: 0,30; Y: 4,00	8,97	5,67	108.159	613.228	X: 0,30; Y: 4,00	8,97
2,33	80.498	187.292	X: -0,20; Y: 4,00	5,20	2,13	80.498	171.238	X: -0,20; Y: 4,00	5,20
6,59	112.491	741.121	X: -0,20; Y: 4,00	9,20	5,73	112.491	644.231	X: -0,20; Y: 4,00	9,20
2,67	78.853	210.623	X: -0,70; Y: 4,00	5,46	2,42	78.853	190.508	X: -0,70; Y: 4,00	5,46
6,89	114.034	785.598	X: -0,70; Y: 4,00	9,46	5,98	114.034	681.704	X: -0,70; Y: 4,00	9,46
3,01	79.077	237.974	X: -1,20; Y: 4,00	5,76	2,70	79.077	213.258	X: -1,20; Y: 4,00	5,76
7,18	116.560	837.130	X: -1,20; Y: 4,00	9,76	6,22	116.560	725.226	X: -1,20; Y: 4,00	9,76
3,33	81.619	271.456	X: -1,70; Y: 4,00	6,09	2,96	81.619	241.404	X: -1,70; Y: 4,00	6,09
7,60	117.870	895.371	X: -1,70; Y: 4,00	10,09	6,57	117.870	774.468	X: -1,70; Y: 4,00	10,09
3,70	83.614	309.465	X: -2,20; Y: 4,00	6,44	3,27	83.614	273.305	X: -2,20; Y: 4,00	6,44
7,88	122.158	962.475	X: -2,20; Y: 4,00	10,44	6,80	122.158	831.126	X: -2,20; Y: 4,00	10,44
4,27	82.143	350.840	X: -2,70; Y: 4,00	6,80	3,75	82.143	308.085	X: -2,70; Y: 4,00	6,80
8,46	122.253	1.033.681	X: -2,70; Y: 4,00	10,80	7,29	122.253	891.545	X: -2,70; Y: 4,00	10,80
4,76	83.666	398.625	X: -3,20; Y: 4,00	7,18	4,16	83.666	348.388	X: -3,20; Y: 4,00	7,18
8,74	127.368	1.113.377	X: -3,20; Y: 4,00	11,18	7,53	127.368	958.915	X: -3,20; Y: 4,00	11,18
5,31	84.954	451.198	X: -3,70; Y: 4,00	7,58	4,62	84.954	392.775	X: -3,70; Y: 4,00	7,58
9,48	126.201	1.196.601	X: -3,70; Y: 4,00	11,58	8,16	126.201	1.029.655	X: -3,70; Y: 4,00	11,58
6,18	82.176	507.592	X: -4,20; Y: 4,00	7,99	5,36	82.176	440.265	X: -4,20; Y: 4,00	7,99
9,85	130.735	1.288.385	X: -4,20; Y: 4,00	11,99	8,47	130.735	1.107.426	X: -4,20; Y: 4,00	11,99
2,18	80.002	174.275	X: 0,30; Y: 4,50	5,42	2,02	80.002	161.985	X: 0,30; Y: 4,50	5,42
6,34	113.911	722.217	X: 0,30; Y: 4,50	9,42	5,55	113.911	632.587	X: 0,30; Y: 4,50	9,42
2,31	82.903	191.629	X: -0,20; Y: 4,50	5,64	2,13	82.903	176.655	X: -0,20; Y: 4,50	5,64
6,50	116.417	756.513	X: -0,20; Y: 4,50	9,64	5,68	116.417	661.427	X: -0,20; Y: 4,50	9,64
2,48	86.504	214.425	X: -0,70; Y: 4,50	5,88	2,26	86.504	195.916	X: -0,70; Y: 4,50	5,88
6,65	120.022	797.986	X: -0,70; Y: 4,50	9,88	5,80	120.022	696.438	X: -0,70; Y: 4,50	9,88
2,85	84.620	240.821	X: -1,20; Y: 4,50	6,16	2,58	84.620	217.974	X: -1,20; Y: 4,50	6,16
6,99	121.036	846.479	X: -1,20; Y: 4,50	10,16	6,09	121.036	737.468	X: -1,20; Y: 4,50	10,16
3,14	86.827	272.383	X: -1,70; Y: 4,50	6,47	2,82	86.827	244.602	X: -1,70; Y: 4,50	6,47
7,33	122.997	901.555	X: -1,70; Y: 4,50	10,47	6,38	122.997	784.121	X: -1,70; Y: 4,50	10,47
3,56	86.420	307.429	X: -2,20; Y: 4,50	6,79	3,17	86.420	274.115	X: -2,20; Y: 4,50	6,79
7,51	128.527	964.925	X: -2,20; Y: 4,50	10,79	6,52	128.527	837.679	X: -2,20; Y: 4,50	10,79
3,96	87.986	348.177	X: -2,70; Y: 4,50	7,14	3,51	87.986	308.601	X: -2,70; Y: 4,50	7,14
8,07	127.925	1.032.966	X: -2,70; Y: 4,50	11,14	7,00	127.925	895.573	X: -2,70; Y: 4,50	11,14
4,41	89.222	393.515	X: -3,20; Y: 4,50	7,51	3,89	89.222	346.999	X: -3,20; Y: 4,50	7,51
8,37	132.532	1.108.861	X: -3,20; Y: 4,50	11,51	7,24	132.532	959.875	X: -3,20; Y: 4,50	11,51
5,04	87.796	442.505	X: -3,70; Y: 4,50	7,89	4,43	87.796	388.593	X: -3,70; Y: 4,50	7,89
8,97	132.510	1.188.981	X: -3,70; Y: 4,50	11,89	7,76	132.510	1.028.090	X: -3,70; Y: 4,50	11,89
5,60	88.919	497.629	X: -4,20; Y: 4,50	8,28	4,90	88.919	435.434	X: -4,20; Y: 4,50	8,28
9,33	136.796	1.276.952	X: -4,20; Y: 4,50	12,28	8,06	136.796	1.102.751	X: -4,20; Y: 4,50	12,28
2,16	83.737	180.625	X: 0,30; Y: 5,00	5,89	2,02	83.737	169.048	X: 0,30; Y: 5,00	5,89
6,30	117.449	740.378	X: 0,30; Y: 5,00	9,89	5,55	117.449	652.024	X: 0,30; Y: 5,00	9,89
2,28	86.625	197.110	X: -0,20; Y: 5,00	6,08	2,11	86.625	183.132	X: -0,20; Y: 5,00	6,08
6,34	121.756	772.319	X: -0,20; Y: 5,00	10,08	5,58	121.756	678.997	X: -0,20; Y: 5,00	10,08
2,43	90.039	218.470	X: -0,70; Y: 5,00	6,31	2,24	90.039	201.296	X: -0,70; Y: 5,00	6,31
6,56	123.680	811.275	X: -0,70; Y: 5,00	10,31	5,76	123.680	711.938	X: -0,70; Y: 5,00	10,31
2,67	91.211	243.487	X: -1,20; Y: 5,00	6,57	2,44	91.211	222.382	X: -1,20; Y: 5,00	6,57
6,76	126.740	856.923	X: -1,20; Y: 5,00	10,57	5,92	126.740	750.621	X: -1,20; Y: 5,00	10,57
3,06	89.240	272.829	X: -1,70; Y: 5,00	6,86	2,77	89.240	247.159	X: -1,70; Y: 5,00	6,86
7,14	127.376	909.155	X: -1,70; Y: 5,00	10,86	6,24	127.376	794.984	X: -1,70; Y: 5,00	10,86
3,38	90.959	307.227	X: -2,20; Y: 5,00	7,17	3,04	90.959	276.397	X: -2,20; Y: 5,00	7,17
7,32	132.415	969.169	X: -2,20; Y: 5,00	11,17	6,39	132.415	845.865	X: -2,20; Y: 5,00	11,17
3,82	90.439	345.090	X: -2,70; Y: 5,00	7,50	3,41	90.439	308.507	X: -2,70; Y: 5,00	7,50
7,71	134.041	1.034.109	X: -2,70; Y: 5,00	11,50	6,72	134.041	901.115	X: -2,70; Y: 5,00	11,50
4,24	91.721	388.549	X: -3,20; Y: 5,00	7,85	3,77	91.721	345.548	X: -3,20; Y: 5,00	7,85
8,01	138.166	1.106.456	X: -3,20; Y: 5,00	11,85	6,97	138.166	962.544	X: -3,20; Y: 5,00	11,85
4,71	92.785	436.567	X: -3,70; Y: 5,00	8,21	4,17	92.785	386.489	X: -3,70; Y: 5,00	8,21
8,60	137.633	1.183.575	X: -3,70; Y: 5,00	12,21	7,47	137.633	1.028.411	X: -3,70; Y: 5,00	12,21
5,22	93.665	489.233	X: -4,20; Y: 5,00	8,59	4,61	93.665	431.426	X: -4,20; Y: 5,00	8,59
8,96	141.474	1.267.915	X: -4,20; Y: 5,00	12,59	7,78	141.474	1.100.150	X: -4,20; Y: 5,00	12,59
2,15	86.775	186.708	X: 0,30; Y: 5,50	6,36	2,03	86.775	175.785	X: 0,30; Y: 5,50	6,36
6,19	122.467	758.461	X: 0,30; Y: 5,50	10,36	5,48	122.467	671.433	X: 0,30; Y: 5,50	10,36
2,26	89.581	202.401	X: -0,20; Y: 5,50	6,54	2,11	89.581	189.309	X: -0,20; Y: 5,50	6,54
6,31	125.046	788.473	X: -0,20; Y: 5,50	10,54	5,57	125.046	696.804	X: -0,20; Y: 5,50	10,54

VERIFICHE DI STABILITA'

Bishop					Fellenius				
CS	FrzRblt	FrzRes	Centro	Raggio	CS	FrzRblt	FrzRes	Centro	Raggio
	[N]	[N]	[m]	[m]		[N]	[N]	[m]	[m]
2,42	91.697	222.091	X: -0,70; Y: 5,50	6,75	2,25	91.697	206.094	X: -0,70; Y: 5,50	6,75
6,41	128.656	825.092	X: -0,70; Y: 5,50	10,75	5,66	128.656	727.860	X: -0,70; Y: 5,50	10,75
2,61	94.286	246.435	X: -1,20; Y: 5,50	7,00	2,41	94.286	226.856	X: -1,20; Y: 5,50	7,00
6,67	130.154	868.305	X: -1,20; Y: 5,50	11,00	5,87	130.154	764.574	X: -1,20; Y: 5,50	11,00
2,89	95.026	274.425	X: -1,70; Y: 5,50	7,27	2,64	95.026	250.625	X: -1,70; Y: 5,50	7,27
6,91	132.795	917.832	X: -1,70; Y: 5,50	11,27	6,07	132.795	806.694	X: -1,70; Y: 5,50	11,27
3,26	94.363	307.314	X: -2,20; Y: 5,50	7,56	2,95	94.363	278.735	X: -2,20; Y: 5,50	7,56
7,17	135.928	974.848	X: -2,20; Y: 5,50	11,56	6,29	135.928	855.218	X: -2,20; Y: 5,50	11,56
3,64	94.449	343.817	X: -2,70; Y: 5,50	7,87	3,28	94.449	309.895	X: -2,70; Y: 5,50	7,87
7,53	137.793	1.036.919	X: -2,70; Y: 5,50	11,87	6,59	137.793	908.149	X: -2,70; Y: 5,50	11,87
4,03	95.541	385.325	X: -3,20; Y: 5,50	8,21	3,62	95.541	345.410	X: -3,20; Y: 5,50	8,21
7,94	139.095	1.104.859	X: -3,20; Y: 5,50	12,21	6,95	139.095	966.114	X: -3,20; Y: 5,50	12,21
4,53	94.979	430.613	X: -3,70; Y: 5,50	8,56	4,04	94.979	384.163	X: -3,70; Y: 5,50	8,56
8,24	143.152	1.180.105	X: -3,70; Y: 5,50	12,56	7,20	143.152	1.030.238	X: -3,70; Y: 5,50	12,56
5,02	95.928	481.295	X: -4,20; Y: 5,50	8,92	4,46	95.928	427.625	X: -4,20; Y: 5,50	8,92
8,68	145.291	1.261.055	X: -4,20; Y: 5,50	12,92	7,57	145.291	1.099.368	X: -4,20; Y: 5,50	12,92
2,10	91.557	192.298	X: 0,30; Y: 6,00	6,83	1,99	91.557	182.271	X: 0,30; Y: 6,00	6,83
6,11	127.318	777.390	X: 0,30; Y: 6,00	10,83	5,43	127.318	691.458	X: 0,30; Y: 6,00	10,83
2,26	91.968	207.535	X: -0,20; Y: 6,00	7,00	2,12	91.968	195.231	X: -0,20; Y: 6,00	7,00
6,28	128.200	804.768	X: -0,20; Y: 6,00	11,00	5,57	128.200	714.678	X: -0,20; Y: 6,00	11,00
2,41	94.128	226.380	X: -0,70; Y: 6,00	7,20	2,25	94.128	211.435	X: -0,70; Y: 6,00	7,20
6,37	131.718	839.371	X: -0,70; Y: 6,00	11,20	5,65	131.718	744.122	X: -0,70; Y: 6,00	11,20
2,60	95.716	249.109	X: -1,20; Y: 6,00	7,43	2,41	95.716	230.881	X: -1,20; Y: 6,00	7,43
6,53	134.811	880.291	X: -1,20; Y: 6,00	11,43	5,78	134.811	778.965	X: -1,20; Y: 6,00	11,43
2,83	97.710	276.342	X: -1,70; Y: 6,00	7,69	2,60	97.710	254.233	X: -1,70; Y: 6,00	7,69
6,82	135.995	927.465	X: -1,70; Y: 6,00	11,69	6,02	135.995	819.214	X: -1,70; Y: 6,00	11,69
3,13	98.208	307.213	X: -2,20; Y: 6,00	7,96	2,86	98.208	280.642	X: -2,20; Y: 6,00	7,96
6,99	140.447	981.656	X: -2,20; Y: 6,00	11,96	6,16	140.447	865.415	X: -2,20; Y: 6,00	11,96
3,52	97.476	342.884	X: -2,70; Y: 6,00	8,26	3,19	97.476	311.365	X: -2,70; Y: 6,00	8,26
7,37	141.196	1.041.090	X: -2,70; Y: 6,00	12,26	6,49	141.196	916.262	X: -2,70; Y: 6,00	12,26
3,92	97.466	382.165	X: -3,20; Y: 6,00	8,58	3,54	97.466	345.104	X: -3,20; Y: 6,00	8,58
7,75	142.771	1.106.315	X: -3,20; Y: 6,00	12,58	6,81	142.771	972.047	X: -3,20; Y: 6,00	12,58
4,33	98.427	426.406	X: -3,70; Y: 6,00	8,91	3,89	98.427	383.184	X: -3,70; Y: 6,00	8,91
8,04	146.489	1.178.424	X: -3,70; Y: 6,00	12,91	7,06	146.489	1.033.656	X: -3,70; Y: 6,00	12,91
4,79	99.207	475.065	X: -4,20; Y: 6,00	9,26	4,28	99.207	425.071	X: -4,20; Y: 6,00	9,26
8,50	147.761	1.255.316	X: -4,20; Y: 6,00	13,26	7,44	147.761	1.099.482	X: -4,20; Y: 6,00	13,26
2,12	93.435	197.985	X: 0,30; Y: 6,50	7,31	2,02	93.435	188.469	X: 0,30; Y: 6,50	7,31
6,05	131.539	795.203	X: 0,30; Y: 6,50	11,31	5,40	131.539	710.581	X: 0,30; Y: 6,50	11,31
2,26	93.928	212.535	X: -0,20; Y: 6,50	7,47	2,14	93.928	200.934	X: -0,20; Y: 6,50	7,47
6,14	133.859	821.751	X: -0,20; Y: 6,50	11,47	5,48	133.859	733.120	X: -0,20; Y: 6,50	11,47
2,40	96.072	230.599	X: -0,70; Y: 6,50	7,66	2,25	96.072	216.585	X: -0,70; Y: 6,50	7,66
6,35	134.570	853.916	X: -0,70; Y: 6,50	11,66	5,65	134.570	760.540	X: -0,70; Y: 6,50	11,66
2,58	97.773	252.440	X: -1,20; Y: 6,50	7,87	2,41	97.773	235.420	X: -1,20; Y: 6,50	7,87
6,49	137.667	892.821	X: -1,20; Y: 6,50	11,87	5,77	137.667	793.772	X: -1,20; Y: 6,50	11,87
2,81	98.996	278.092	X: -1,70; Y: 6,50	8,11	2,60	98.996	257.489	X: -1,70; Y: 6,50	8,11
6,62	141.830	938.423	X: -1,70; Y: 6,50	12,11	5,87	141.830	832.721	X: -1,70; Y: 6,50	12,11
3,06	100.573	308.145	X: -2,20; Y: 6,50	8,38	2,82	100.573	283.412	X: -2,20; Y: 6,50	8,38
6,92	143.058	989.476	X: -2,20; Y: 6,50	12,38	6,13	143.058	876.450	X: -2,20; Y: 6,50	12,38
3,39	100.931	341.835	X: -2,70; Y: 6,50	8,66	3,10	100.931	312.425	X: -2,70; Y: 6,50	8,66
7,20	145.422	1.046.371	X: -2,70; Y: 6,50	12,66	6,36	145.422	925.175	X: -2,70; Y: 6,50	12,66
3,80	100.182	380.252	X: -3,20; Y: 6,50	8,96	3,45	100.182	345.730	X: -3,20; Y: 6,50	8,96
7,53	147.263	1.109.039	X: -3,20; Y: 6,50	12,96	6,65	147.263	978.880	X: -3,20; Y: 6,50	12,96
4,22	100.127	422.282	X: -3,70; Y: 6,50	9,28	3,82	100.127	382.029	X: -3,70; Y: 6,50	9,28
7,89	149.368	1.178.272	X: -3,70; Y: 6,50	13,28	6,95	149.368	1.038.275	X: -3,70; Y: 6,50	13,28
4,65	101.004	469.234	X: -4,20; Y: 6,50	9,62	4,18	101.004	422.654	X: -4,20; Y: 6,50	9,62
8,30	150.972	1.252.481	X: -4,20; Y: 6,50	13,62	7,30	150.972	1.101.952	X: -4,20; Y: 6,50	13,62
2,15	94.437	203.334	X: 0,30; Y: 7,00	7,79	2,06	94.437	194.232	X: 0,30; Y: 7,00	7,79
6,07	133.971	812.877	X: 0,30; Y: 7,00	11,79	5,44	133.971	729.461	X: 0,30; Y: 7,00	11,79
2,23	97.185	217.002	X: -0,20; Y: 7,00	7,94	2,12	97.185	206.215	X: -0,20; Y: 7,00	7,94
6,15	136.332	838.040	X: -0,20; Y: 7,00	11,94	5,51	136.332	750.892	X: -0,20; Y: 7,00	11,94
2,41	97.236	234.504	X: -0,70; Y: 7,00	8,12	2,28	97.236	221.301	X: -0,70; Y: 7,00	8,12
6,22	139.690	869.133	X: -0,70; Y: 7,00	12,12	5,57	139.690	777.478	X: -0,70; Y: 7,00	12,12
2,57	99.404	255.776	X: -1,20; Y: 7,00	8,32	2,41	99.404	239.827	X: -1,20; Y: 7,00	8,32
6,46	140.268	905.711	X: -1,20; Y: 7,00	12,32	5,77	140.268	808.802	X: -1,20; Y: 7,00	12,32
2,78	100.776	280.505	X: -1,70; Y: 7,00	8,55	2,59	100.776	261.251	X: -1,70; Y: 7,00	8,55
6,58	144.230	949.207	X: -1,70; Y: 7,00	12,55	5,87	144.230	846.079	X: -1,70; Y: 7,00	12,55
3,04	101.747	308.997	X: -2,20; Y: 7,00	8,80	2,81	101.747	285.909	X: -2,20; Y: 7,00	8,80
6,80	146.829	998.027	X: -2,20; Y: 7,00	12,80	6,05	146.829	887.957	X: -2,20; Y: 7,00	12,80
3,32	103.040	341.820	X: -2,70; Y: 7,00	9,07	3,05	103.040	314.384	X: -2,70; Y: 7,00	9,07
7,12	147.899	1.052.661	X: -2,70; Y: 7,00	13,07	6,32	147.899	934.918	X: -2,70; Y: 7,00	13,07
3,66	103.314	378.284	X: -3,20; Y: 7,00	9,36	3,35	103.314	345.974	X: -3,20; Y: 7,00	9,36
7,42	150.030	1.112.928	X: -3,20; Y: 7,00	13,36	6,58	150.030	986.695	X: -3,20; Y: 7,00	13,36
4,09	102.585	419.419	X: -3,70; Y: 7,00	9,67	3,72	102.585	381.835	X: -3,70; Y: 7,00	9,67
7,70	153.133	1.179.415	X: -3,70; Y: 7,00	13,67	6,82	153.133	1.043.794	X: -3,70; Y: 7,00	13,67
4,50	103.343	464.626	X: -4,20; Y: 7,00	9,99	4,07	103.343	421.107	X: -4,20; Y: 7,00	9,99
8,14	153.786	1.251.099	X: -4,20; Y: 7,00	13,99	7,19	153.786	1.105.534	X: -4,20; Y: 7,00	13,99
2,18	95.752	208.824	X: 0,30; Y: 7,50	8,27	2,09	95.752	200.121	X: 0,30; Y: 7,50	8,27
6,09	136.359	830.327	X: 0,30; Y: 7,50	12,27	5,49	136.359	748.082	X: 0,30; Y: 7,50	12,27
2,25	98.631	221.919	X: -0,20; Y: 7,50	8,41	2,15	98.631	211.696	X: -0,20; Y: 7,50	8,41
6,10	139.942	854.205	X: -0,20; Y: 7,50	12,41	5,49	139.942	768.520	X: -0,20; Y: 7,50	12,41
2,42	98.770	238.765	X: -0,70; Y: 7,50	8,58	2,29	98.770	226.310	X: -0,70; Y: 7,50	8,58
6,23	141.852	883.887	X: -0,70; Y: 7,50	12,58	5,60	141.852	793.943	X: -0,70; Y: 7,50	12,58

VERIFICHE DI STABILITA'

Bishop					Fellenius				
CS	FrzRblt	FrzRes	Centro	Raggio	CS	FrzRblt	FrzRes	Centro	Raggio
	[N]	[N]	[m]	[m]		[N]	[N]	[m]	[m]
2,58	100.415	258.939	X: -1,20; Y: 7,50	8,77	2,43	100.415	243.931	X: -1,20; Y: 7,50	8,77
6,34	144.954	919.273	X: -1,20; Y: 7,50	12,77	5,69	144.954	824.322	X: -1,20; Y: 7,50	12,77
2,77	102.176	282.984	X: -1,70; Y: 7,50	8,99	2,59	102.176	264.932	X: -1,70; Y: 7,50	8,99
6,56	146.402	960.442	X: -1,70; Y: 7,50	12,99	5,87	146.402	859.719	X: -1,70; Y: 7,50	12,99
3,01	103.314	310.519	X: -2,20; Y: 7,50	9,23	2,80	103.314	288.913	X: -2,20; Y: 7,50	9,23
6,76	149.042	1.007.254	X: -2,20; Y: 7,50	13,23	6,04	149.042	899.991	X: -2,20; Y: 7,50	13,23
3,28	104.112	341.795	X: -2,70; Y: 7,50	9,49	3,04	104.112	316.132	X: -2,70; Y: 7,50	9,49
7,00	151.441	1.059.707	X: -2,70; Y: 7,50	13,49	6,24	151.441	945.140	X: -2,70; Y: 7,50	13,49
3,59	105.213	377.352	X: -3,20; Y: 7,50	9,77	3,30	105.213	347.139	X: -3,20; Y: 7,50	9,77
7,33	152.391	1.117.780	X: -3,20; Y: 7,50	13,77	6,53	152.391	995.220	X: -3,20; Y: 7,50	13,77
3,93	105.998	416.874	X: -3,70; Y: 7,50	10,06	3,60	105.998	381.596	X: -3,70; Y: 7,50	10,06
7,65	154.338	1.181.317	X: -3,70; Y: 7,50	14,06	6,80	154.338	1.049.966	X: -3,70; Y: 7,50	14,06
4,39	104.759	460.392	X: -4,20; Y: 7,50	10,37	4,01	104.759	419.679	X: -4,20; Y: 7,50	10,37
7,95	157.395	1.250.969	X: -4,20; Y: 7,50	14,37	7,05	157.395	1.109.964	X: -4,20; Y: 7,50	14,37
2,21	96.891	214.137	X: 0,30; Y: 8,00	8,76	2,12	96.891	205.797	X: 0,30; Y: 8,00	8,76
6,06	139.745	847.502	X: 0,30; Y: 8,00	12,76	5,48	139.745	766.454	X: 0,30; Y: 8,00	12,76
2,28	99.599	226.737	X: -0,20; Y: 8,00	8,89	2,18	99.599	216.999	X: -0,20; Y: 8,00	8,89
6,13	141.970	870.313	X: -0,20; Y: 8,00	12,89	5,54	141.970	785.987	X: -0,20; Y: 8,00	12,89
2,39	101.758	242.772	X: -0,70; Y: 8,00	9,05	2,27	101.758	231.112	X: -0,70; Y: 8,00	9,05
6,19	145.284	898.620	X: -0,70; Y: 8,00	13,05	5,58	145.284	810.323	X: -0,70; Y: 8,00	13,05
2,58	101.693	262.429	X: -1,20; Y: 8,00	9,23	2,44	101.693	248.278	X: -1,20; Y: 8,00	9,23
6,35	146.861	932.546	X: -1,20; Y: 8,00	13,23	5,72	146.861	839.522	X: -1,20; Y: 8,00	13,23
2,77	103.072	285.398	X: -1,70; Y: 8,00	9,44	2,60	103.072	268.411	X: -1,70; Y: 8,00	9,44
6,49	149.747	971.977	X: -1,70; Y: 8,00	13,44	5,83	149.747	873.499	X: -1,70; Y: 8,00	13,44
2,99	104.538	312.164	X: -2,20; Y: 8,00	9,66	2,79	104.538	291.882	X: -2,20; Y: 8,00	9,66
6,73	151.021	1.016.993	X: -2,20; Y: 8,00	13,66	6,04	151.021	912.355	X: -2,20; Y: 8,00	13,66
3,25	105.510	342.452	X: -2,70; Y: 8,00	9,91	3,02	105.510	318.393	X: -2,70; Y: 8,00	9,91
6,95	153.491	1.067.467	X: -2,70; Y: 8,00	13,91	6,23	153.491	955.921	X: -2,70; Y: 8,00	13,91
3,55	106.193	376.470	X: -3,20; Y: 8,00	10,18	3,28	106.193	348.150	X: -3,20; Y: 8,00	10,18
7,21	155.731	1.123.411	X: -3,20; Y: 8,00	14,18	6,45	155.731	1.004.223	X: -3,20; Y: 8,00	14,18
3,87	107.168	414.733	X: -3,70; Y: 8,00	10,46	3,56	107.168	381.674	X: -3,70; Y: 8,00	10,46
7,57	156.594	1.184.809	X: -3,70; Y: 8,00	14,46	6,75	156.594	1.057.333	X: -3,70; Y: 8,00	14,46
4,23	107.904	456.965	X: -4,20; Y: 8,00	10,76	3,88	107.904	418.662	X: -4,20; Y: 8,00	10,76
7,85	159.410	1.252.014	X: -4,20; Y: 8,00	14,76	7,00	159.410	1.115.379	X: -4,20; Y: 8,00	14,76
2,24	97.719	219.169	X: 0,30; Y: 8,50	9,24	2,16	97.719	211.146	X: 0,30; Y: 8,50	9,24
6,10	141.739	864.486	X: 0,30; Y: 8,50	13,24	5,54	141.739	784.539	X: 0,30; Y: 8,50	13,24
2,31	100.260	231.320	X: -0,20; Y: 8,50	9,37	2,21	100.260	222.005	X: -0,20; Y: 8,50	9,37
6,10	145.232	886.235	X: -0,20; Y: 8,50	13,37	5,53	145.232	803.257	X: -0,20; Y: 8,50	13,37
2,41	102.534	246.759	X: -0,70; Y: 8,50	9,52	2,30	102.534	235.681	X: -0,70; Y: 8,50	9,52
6,21	147.021	913.398	X: -0,70; Y: 8,50	13,52	5,62	147.021	826.644	X: -0,70; Y: 8,50	13,52
2,59	102.488	265.713	X: -1,20; Y: 8,50	9,69	2,46	102.488	252.311	X: -1,20; Y: 8,50	9,69
6,31	149.979	945.892	X: -1,20; Y: 8,50	13,69	5,70	149.979	854.689	X: -1,20; Y: 8,50	13,69
2,77	104.159	288.132	X: -1,70; Y: 8,50	9,89	2,61	104.159	272.112	X: -1,70; Y: 8,50	9,89
6,52	150.806	983.498	X: -1,70; Y: 8,50	13,89	5,88	150.806	887.185	X: -1,70; Y: 8,50	13,89
2,98	105.341	313.828	X: -2,20; Y: 8,50	10,11	2,80	105.341	294.730	X: -2,20; Y: 8,50	10,11
6,66	154.111	1.027.096	X: -2,20; Y: 8,50	14,11	6,00	154.111	924.894	X: -2,20; Y: 8,50	14,11
3,22	106.593	343.279	X: -2,70; Y: 8,50	10,34	3,01	106.593	320.662	X: -2,70; Y: 8,50	10,34
6,93	155.309	1.075.785	X: -2,70; Y: 8,50	14,34	6,23	155.309	967.067	X: -2,70; Y: 8,50	14,34
3,50	107.452	376.279	X: -3,20; Y: 8,50	10,60	3,25	107.452	349.681	X: -3,20; Y: 8,50	10,60
7,17	157.638	1.129.778	X: -3,20; Y: 8,50	14,60	6,43	157.638	1.013.812	X: -3,20; Y: 8,50	14,60
3,81	108.424	413.236	X: -3,70; Y: 8,50	10,87	3,52	108.424	382.189	X: -3,70; Y: 8,50	10,87
7,44	159.756	1.189.094	X: -3,70; Y: 8,50	14,87	6,67	159.756	1.065.175	X: -3,70; Y: 8,50	14,87
4,17	108.957	453.957	X: -4,20; Y: 8,50	11,16	3,84	108.957	417.982	X: -4,20; Y: 8,50	11,16
7,81	160.556	1.253.730	X: -4,20; Y: 8,50	15,16	6,98	160.556	1.121.237	X: -4,20; Y: 8,50	15,16
Verifica 2									
Approccio 1, Combinazione 2 Stato Limite di Resistenza del Terreno senza sisma									
2,23	75.324	167.613	X: 0,30; Y: 4,00	4,97	2,05	75.324	154.548	X: 0,30; Y: 4,00	4,97
6,51	108.159	704.239	X: 0,30; Y: 4,00	8,97	5,67	108.159	613.228	X: 0,30; Y: 4,00	8,97
2,33	80.498	187.292	X: -0,20; Y: 4,00	5,20	2,13	80.498	171.238	X: -0,20; Y: 4,00	5,20
6,59	112.491	741.121	X: -0,20; Y: 4,00	9,20	5,73	112.491	644.231	X: -0,20; Y: 4,00	9,20
2,67	78.853	210.623	X: -0,70; Y: 4,00	5,46	2,42	78.853	190.508	X: -0,70; Y: 4,00	5,46
6,89	114.034	785.598	X: -0,70; Y: 4,00	9,46	5,98	114.034	681.704	X: -0,70; Y: 4,00	9,46
3,01	79.077	237.974	X: -1,20; Y: 4,00	5,76	2,70	79.077	213.258	X: -1,20; Y: 4,00	5,76
7,18	116.560	837.130	X: -1,20; Y: 4,00	9,76	6,22	116.560	725.226	X: -1,20; Y: 4,00	9,76
3,33	81.619	271.456	X: -1,70; Y: 4,00	6,09	2,96	81.619	241.404	X: -1,70; Y: 4,00	6,09
7,60	117.870	895.371	X: -1,70; Y: 4,00	10,09	6,57	117.870	774.468	X: -1,70; Y: 4,00	10,09
3,70	83.614	309.465	X: -2,20; Y: 4,00	6,44	3,27	83.614	273.305	X: -2,20; Y: 4,00	6,44
7,88	122.158	962.475	X: -2,20; Y: 4,00	10,44	6,80	122.158	831.126	X: -2,20; Y: 4,00	10,44
4,27	82.143	350.840	X: -2,70; Y: 4,00	6,80	3,75	82.143	308.085	X: -2,70; Y: 4,00	6,80
8,46	122.253	1.033.681	X: -2,70; Y: 4,00	10,80	7,29	122.253	891.545	X: -2,70; Y: 4,00	10,80
4,76	83.666	398.625	X: -3,20; Y: 4,00	7,18	4,16	83.666	348.388	X: -3,20; Y: 4,00	7,18
8,74	127.368	1.113.377	X: -3,20; Y: 4,00	11,18	7,53	127.368	958.915	X: -3,20; Y: 4,00	11,18
5,31	84.954	451.198	X: -3,70; Y: 4,00	7,58	4,62	84.954	392.775	X: -3,70; Y: 4,00	7,58
9,48	126.201	1.196.601	X: -3,70; Y: 4,00	11,58	8,16	126.201	1.029.655	X: -3,70; Y: 4,00	11,58
6,18	82.176	507.592	X: -4,20; Y: 4,00	7,99	5,36	82.176	440.265	X: -4,20; Y: 4,00	7,99
9,85	130.735	1.288.385	X: -4,20; Y: 4,00	11,99	8,47	130.735	1.107.426	X: -4,20; Y: 4,00	11,99
2,18	80.002	174.275	X: 0,30; Y: 4,50	5,42	2,02	80.002	161.985	X: 0,30; Y: 4,50	5,42
6,34	113.911	722.217	X: 0,30; Y: 4,50	9,42	5,55	113.911	632.587	X: 0,30; Y: 4,50	9,42
2,31	82.903	191.629	X: -0,20; Y: 4,50	5,64	2,13	82.903	176.655	X: -0,20; Y: 4,50	5,64
6,50	116.417	756.513	X: -0,20; Y: 4,50	9,64	5,68	116.417	661.427	X: -0,20; Y: 4,50	9,64
2,48	86.504	214.425	X: -0,70; Y: 4,50	5,88	2,26	86.504	195.916	X: -0,70; Y: 4,50	5,88
6,65	120.022	797.986	X: -0,70; Y: 4,50	9,88	5,80	120.022	696.438	X: -0,70; Y: 4,50	9,88

VERIFICHE DI STABILITA'

Bishop					Fellenius				
CS	FrzRblt	FrzRes	Centro	Raggio	CS	FrzRblt	FrzRes	Centro	Raggio
	[N]	[N]	[m]	[m]		[N]	[N]	[m]	[m]
2,85	84.620	240.821	X: -1,20; Y: 4,50	6,16	2,58	84.620	217.974	X: -1,20; Y: 4,50	6,16
6,99	121.036	846.479	X: -1,20; Y: 4,50	10,16	6,09	121.036	737.468	X: -1,20; Y: 4,50	10,16
3,14	86.827	272.383	X: -1,70; Y: 4,50	6,47	2,82	86.827	244.602	X: -1,70; Y: 4,50	6,47
7,33	122.997	901.555	X: -1,70; Y: 4,50	10,47	6,38	122.997	784.121	X: -1,70; Y: 4,50	10,47
3,56	86.420	307.429	X: -2,20; Y: 4,50	6,79	3,17	86.420	274.115	X: -2,20; Y: 4,50	6,79
7,51	128.527	964.925	X: -2,20; Y: 4,50	10,79	6,52	128.527	837.679	X: -2,20; Y: 4,50	10,79
3,96	87.986	348.177	X: -2,70; Y: 4,50	7,14	3,51	87.986	308.601	X: -2,70; Y: 4,50	7,14
8,07	127.925	1.032.966	X: -2,70; Y: 4,50	11,14	7,00	127.925	895.573	X: -2,70; Y: 4,50	11,14
4,41	89.222	393.515	X: -3,20; Y: 4,50	7,51	3,89	89.222	346.999	X: -3,20; Y: 4,50	7,51
8,37	132.532	1.108.861	X: -3,20; Y: 4,50	11,51	7,24	132.532	959.875	X: -3,20; Y: 4,50	11,51
5,04	87.796	442.505	X: -3,70; Y: 4,50	7,89	4,43	87.796	388.593	X: -3,70; Y: 4,50	7,89
8,97	132.510	1.188.981	X: -3,70; Y: 4,50	11,89	7,76	132.510	1.028.090	X: -3,70; Y: 4,50	11,89
5,60	88.919	497.629	X: -4,20; Y: 4,50	8,28	4,90	88.919	435.434	X: -4,20; Y: 4,50	8,28
9,33	136.796	1.276.952	X: -4,20; Y: 4,50	12,28	8,06	136.796	1.102.751	X: -4,20; Y: 4,50	12,28
2,16	83.737	180.625	X: 0,30; Y: 5,00	5,89	2,02	83.737	169.048	X: 0,30; Y: 5,00	5,89
6,30	117.449	740.378	X: 0,30; Y: 5,00	9,89	5,55	117.449	652.024	X: 0,30; Y: 5,00	9,89
2,28	86.625	197.110	X: -0,20; Y: 5,00	6,08	2,11	86.625	183.132	X: -0,20; Y: 5,00	6,08
6,34	121.756	772.319	X: -0,20; Y: 5,00	10,08	5,58	121.756	678.997	X: -0,20; Y: 5,00	10,08
2,43	90.039	218.470	X: -0,70; Y: 5,00	6,31	2,24	90.039	201.296	X: -0,70; Y: 5,00	6,31
6,56	123.680	811.275	X: -0,70; Y: 5,00	10,31	5,76	123.680	711.938	X: -0,70; Y: 5,00	10,31
2,67	91.211	243.487	X: -1,20; Y: 5,00	6,57	2,44	91.211	222.382	X: -1,20; Y: 5,00	6,57
6,76	126.740	856.923	X: -1,20; Y: 5,00	10,57	5,92	126.740	750.621	X: -1,20; Y: 5,00	10,57
3,06	89.240	272.829	X: -1,70; Y: 5,00	6,86	2,77	89.240	247.159	X: -1,70; Y: 5,00	6,86
7,14	127.376	909.155	X: -1,70; Y: 5,00	10,86	6,24	127.376	794.984	X: -1,70; Y: 5,00	10,86
3,38	90.959	307.227	X: -2,20; Y: 5,00	7,17	3,04	90.959	276.397	X: -2,20; Y: 5,00	7,17
7,32	132.415	969.169	X: -2,20; Y: 5,00	11,17	6,39	132.415	845.865	X: -2,20; Y: 5,00	11,17
3,82	90.439	345.090	X: -2,70; Y: 5,00	7,50	3,41	90.439	308.507	X: -2,70; Y: 5,00	7,50
7,71	134.041	1.034.109	X: -2,70; Y: 5,00	11,50	6,72	134.041	901.115	X: -2,70; Y: 5,00	11,50
4,24	91.721	388.549	X: -3,20; Y: 5,00	7,85	3,77	91.721	345.548	X: -3,20; Y: 5,00	7,85
8,01	138.166	1.106.456	X: -3,20; Y: 5,00	11,85	6,97	138.166	962.544	X: -3,20; Y: 5,00	11,85
4,71	92.785	436.567	X: -3,70; Y: 5,00	8,21	4,17	92.785	386.489	X: -3,70; Y: 5,00	8,21
8,60	137.633	1.183.575	X: -3,70; Y: 5,00	12,21	7,47	137.633	1.028.411	X: -3,70; Y: 5,00	12,21
5,22	93.665	489.233	X: -4,20; Y: 5,00	8,59	4,61	93.665	431.426	X: -4,20; Y: 5,00	8,59
8,96	141.474	1.267.915	X: -4,20; Y: 5,00	12,59	7,78	141.474	1.100.150	X: -4,20; Y: 5,00	12,59
2,15	86.775	186.708	X: 0,30; Y: 5,50	6,36	2,03	86.775	175.785	X: 0,30; Y: 5,50	6,36
6,19	122.467	758.461	X: 0,30; Y: 5,50	10,36	5,48	122.467	671.433	X: 0,30; Y: 5,50	10,36
2,26	89.581	202.401	X: -0,20; Y: 5,50	6,54	2,11	89.581	189.309	X: -0,20; Y: 5,50	6,54
6,31	125.046	788.473	X: -0,20; Y: 5,50	10,54	5,57	125.046	696.804	X: -0,20; Y: 5,50	10,54
2,42	91.697	222.091	X: -0,70; Y: 5,50	6,75	2,25	91.697	206.094	X: -0,70; Y: 5,50	6,75
6,41	128.656	825.092	X: -0,70; Y: 5,50	10,75	5,66	128.656	727.860	X: -0,70; Y: 5,50	10,75
2,61	94.286	246.435	X: -1,20; Y: 5,50	7,00	2,41	94.286	226.856	X: -1,20; Y: 5,50	7,00
6,67	130.154	868.305	X: -1,20; Y: 5,50	11,00	5,87	130.154	764.574	X: -1,20; Y: 5,50	11,00
2,89	95.026	274.425	X: -1,70; Y: 5,50	7,27	2,64	95.026	250.625	X: -1,70; Y: 5,50	7,27
6,91	132.795	917.832	X: -1,70; Y: 5,50	11,27	6,07	132.795	806.694	X: -1,70; Y: 5,50	11,27
3,26	94.363	307.314	X: -2,20; Y: 5,50	7,56	2,95	94.363	278.735	X: -2,20; Y: 5,50	7,56
7,17	135.928	974.848	X: -2,20; Y: 5,50	11,56	6,29	135.928	855.218	X: -2,20; Y: 5,50	11,56
3,64	94.449	343.817	X: -2,70; Y: 5,50	7,87	3,28	94.449	309.895	X: -2,70; Y: 5,50	7,87
7,53	137.793	1.036.919	X: -2,70; Y: 5,50	11,87	6,59	137.793	908.149	X: -2,70; Y: 5,50	11,87
4,03	95.541	385.325	X: -3,20; Y: 5,50	8,21	3,62	95.541	345.410	X: -3,20; Y: 5,50	8,21
7,94	139.095	1.104.859	X: -3,20; Y: 5,50	12,21	6,95	139.095	966.114	X: -3,20; Y: 5,50	12,21
4,53	94.979	430.613	X: -3,70; Y: 5,50	8,56	4,04	94.979	384.163	X: -3,70; Y: 5,50	8,56
8,24	143.152	1.180.105	X: -3,70; Y: 5,50	12,56	7,20	143.152	1.030.238	X: -3,70; Y: 5,50	12,56
5,02	95.928	481.295	X: -4,20; Y: 5,50	8,92	4,46	95.928	427.625	X: -4,20; Y: 5,50	8,92
8,68	145.291	1.261.055	X: -4,20; Y: 5,50	12,92	7,57	145.291	1.099.368	X: -4,20; Y: 5,50	12,92
2,10	91.557	192.298	X: 0,30; Y: 6,00	6,83	1,99	91.557	182.271	X: 0,30; Y: 6,00	6,83
6,11	127.318	777.390	X: 0,30; Y: 6,00	10,83	5,43	127.318	691.458	X: 0,30; Y: 6,00	10,83
2,26	91.968	207.535	X: -0,20; Y: 6,00	7,00	2,12	91.968	195.231	X: -0,20; Y: 6,00	7,00
6,28	128.200	804.768	X: -0,20; Y: 6,00	11,00	5,57	128.200	714.678	X: -0,20; Y: 6,00	11,00
2,41	94.128	226.380	X: -0,70; Y: 6,00	7,20	2,25	94.128	211.435	X: -0,70; Y: 6,00	7,20
6,37	131.718	839.371	X: -0,70; Y: 6,00	11,20	5,65	131.718	744.122	X: -0,70; Y: 6,00	11,20
2,60	95.716	249.109	X: -1,20; Y: 6,00	7,43	2,41	95.716	230.881	X: -1,20; Y: 6,00	7,43
6,53	134.811	880.291	X: -1,20; Y: 6,00	11,43	5,78	134.811	778.965	X: -1,20; Y: 6,00	11,43
2,83	97.710	276.342	X: -1,70; Y: 6,00	7,69	2,60	97.710	254.233	X: -1,70; Y: 6,00	7,69
6,82	135.995	927.465	X: -1,70; Y: 6,00	11,69	6,02	135.995	819.214	X: -1,70; Y: 6,00	11,69
3,13	98.208	307.213	X: -2,20; Y: 6,00	7,96	2,86	98.208	280.642	X: -2,20; Y: 6,00	7,96
6,99	140.447	981.656	X: -2,20; Y: 6,00	11,96	6,16	140.447	865.415	X: -2,20; Y: 6,00	11,96
3,52	97.476	342.884	X: -2,70; Y: 6,00	8,26	3,19	97.476	311.365	X: -2,70; Y: 6,00	8,26
7,37	141.196	1.041.090	X: -2,70; Y: 6,00	12,26	6,49	141.196	916.262	X: -2,70; Y: 6,00	12,26
3,92	97.466	382.165	X: -3,20; Y: 6,00	8,58	3,54	97.466	345.104	X: -3,20; Y: 6,00	8,58
7,75	142.771	1.106.315	X: -3,20; Y: 6,00	12,58	6,81	142.771	972.047	X: -3,20; Y: 6,00	12,58
4,33	98.427	426.406	X: -3,70; Y: 6,00	8,91	3,89	98.427	383.184	X: -3,70; Y: 6,00	8,91
8,04	146.489	1.178.424	X: -3,70; Y: 6,00	12,91	7,06	146.489	1.033.656	X: -3,70; Y: 6,00	12,91
4,79	99.207	475.065	X: -4,20; Y: 6,00	9,26	4,28	99.207	425.071	X: -4,20; Y: 6,00	9,26
8,50	147.761	1.255.316	X: -4,20; Y: 6,00	13,26	7,44	147.761	1.099.482	X: -4,20; Y: 6,00	13,26
2,12	93.435	197.985	X: 0,30; Y: 6,50	7,31	2,02	93.435	188.469	X: 0,30; Y: 6,50	7,31
6,05	131.539	795.203	X: 0,30; Y: 6,50	11,31	5,40	131.539	710.581	X: 0,30; Y: 6,50	11,31
2,26	93.928	212.535	X: -0,20; Y: 6,50	7,47	2,14	93.928	200.934	X: -0,20; Y: 6,50	7,47
6,14	133.859	821.751	X: -0,20; Y: 6,50	11,47	5,48	133.859	733.120	X: -0,20; Y: 6,50	11,47
2,40	96.072	230.599	X: -0,70; Y: 6,50	7,66	2,25	96.072	216.585	X: -0,70; Y: 6,50	7,66
6,35	134.570	853.916	X: -0,70; Y: 6,50	11,66	5,65	134.570	760.540	X: -0,70; Y: 6,50	11,66
2,58	97.773	252.440	X: -1,20; Y: 6,50	7,87	2,41	97.773	235.420	X: -1,20; Y: 6,50	7,87
6,49	137.667	892.821	X: -1,20; Y: 6,50	11,87	5,77	137.667	793.772	X: -1,20; Y: 6,50	11,87

VERIFICHE DI STABILITA'

Bishop					Fellenius				
CS	FrzRblt	FrzRes	Centro	Raggio	CS	FrzRblt	FrzRes	Centro	Raggio
	[N]	[N]	[m]	[m]		[N]	[N]	[m]	[m]
2,81	98.996	278.092	X: -1,70; Y: 6,50	8,11	2,60	98.996	257.489	X: -1,70; Y: 6,50	8,11
6,62	141.830	938.423	X: -1,70; Y: 6,50	12,11	5,87	141.830	832.721	X: -1,70; Y: 6,50	12,11
3,06	100.573	308.145	X: -2,20; Y: 6,50	8,38	2,82	100.573	283.412	X: -2,20; Y: 6,50	8,38
6,92	143.058	989.476	X: -2,20; Y: 6,50	12,38	6,13	143.058	876.450	X: -2,20; Y: 6,50	12,38
3,39	100.931	341.835	X: -2,70; Y: 6,50	8,66	3,10	100.931	312.425	X: -2,70; Y: 6,50	8,66
7,20	145.422	1.046.371	X: -2,70; Y: 6,50	12,66	6,36	145.422	925.175	X: -2,70; Y: 6,50	12,66
3,80	100.182	380.252	X: -3,20; Y: 6,50	8,96	3,45	100.182	345.730	X: -3,20; Y: 6,50	8,96
7,53	147.263	1.109.039	X: -3,20; Y: 6,50	12,96	6,65	147.263	978.880	X: -3,20; Y: 6,50	12,96
4,22	100.127	422.282	X: -3,70; Y: 6,50	9,28	3,82	100.127	382.029	X: -3,70; Y: 6,50	9,28
7,89	149.368	1.178.272	X: -3,70; Y: 6,50	13,28	6,95	149.368	1.038.275	X: -3,70; Y: 6,50	13,28
4,65	101.004	469.234	X: -4,20; Y: 6,50	9,62	4,18	101.004	422.654	X: -4,20; Y: 6,50	9,62
8,30	150.972	1.252.481	X: -4,20; Y: 6,50	13,62	7,30	150.972	1.101.952	X: -4,20; Y: 6,50	13,62
2,15	94.437	203.334	X: 0,30; Y: 7,00	7,79	2,06	94.437	194.232	X: 0,30; Y: 7,00	7,79
6,07	133.971	812.877	X: 0,30; Y: 7,00	11,79	5,44	133.971	729.461	X: 0,30; Y: 7,00	11,79
2,23	97.185	217.002	X: -0,20; Y: 7,00	7,94	2,12	97.185	206.215	X: -0,20; Y: 7,00	7,94
6,15	136.332	838.040	X: -0,20; Y: 7,00	11,94	5,51	136.332	750.892	X: -0,20; Y: 7,00	11,94
2,41	97.236	234.504	X: -0,70; Y: 7,00	8,12	2,28	97.236	221.301	X: -0,70; Y: 7,00	8,12
6,22	139.690	869.133	X: -0,70; Y: 7,00	12,12	5,57	139.690	777.478	X: -0,70; Y: 7,00	12,12
2,57	99.404	255.776	X: -1,20; Y: 7,00	8,32	2,41	99.404	239.827	X: -1,20; Y: 7,00	8,32
6,46	140.268	905.711	X: -1,20; Y: 7,00	12,32	5,77	140.268	808.802	X: -1,20; Y: 7,00	12,32
2,78	100.776	280.505	X: -1,70; Y: 7,00	8,55	2,59	100.776	261.251	X: -1,70; Y: 7,00	8,55
6,58	144.230	949.207	X: -1,70; Y: 7,00	12,55	5,87	144.230	846.079	X: -1,70; Y: 7,00	12,55
3,04	101.747	308.997	X: -2,20; Y: 7,00	8,80	2,81	101.747	285.909	X: -2,20; Y: 7,00	8,80
6,80	146.829	998.027	X: -2,20; Y: 7,00	12,80	6,05	146.829	887.957	X: -2,20; Y: 7,00	12,80
3,32	103.040	341.820	X: -2,70; Y: 7,00	9,07	3,05	103.040	314.384	X: -2,70; Y: 7,00	9,07
7,12	147.899	1.052.661	X: -2,70; Y: 7,00	13,07	6,32	147.899	934.918	X: -2,70; Y: 7,00	13,07
3,66	103.314	378.284	X: -3,20; Y: 7,00	9,36	3,35	103.314	345.974	X: -3,20; Y: 7,00	9,36
7,42	150.030	1.112.928	X: -3,20; Y: 7,00	13,36	6,58	150.030	986.695	X: -3,20; Y: 7,00	13,36
4,09	102.585	419.419	X: -3,70; Y: 7,00	9,67	3,72	102.585	381.835	X: -3,70; Y: 7,00	9,67
7,70	153.133	1.179.415	X: -3,70; Y: 7,00	13,67	6,82	153.133	1.043.794	X: -3,70; Y: 7,00	13,67
4,50	103.343	464.626	X: -4,20; Y: 7,00	9,99	4,07	103.343	421.107	X: -4,20; Y: 7,00	9,99
8,14	153.786	1.251.099	X: -4,20; Y: 7,00	13,99	7,19	153.786	1.105.534	X: -4,20; Y: 7,00	13,99
2,18	95.752	208.824	X: 0,30; Y: 7,50	8,27	2,09	95.752	200.121	X: 0,30; Y: 7,50	8,27
6,09	136.359	830.327	X: 0,30; Y: 7,50	12,27	5,49	136.359	748.082	X: 0,30; Y: 7,50	12,27
2,25	98.631	221.919	X: -0,20; Y: 7,50	8,41	2,15	98.631	211.696	X: -0,20; Y: 7,50	8,41
6,10	139.942	854.205	X: -0,20; Y: 7,50	12,41	5,49	139.942	768.520	X: -0,20; Y: 7,50	12,41
2,42	98.770	238.765	X: -0,70; Y: 7,50	8,58	2,29	98.770	226.310	X: -0,70; Y: 7,50	8,58
6,23	141.852	883.887	X: -0,70; Y: 7,50	12,58	5,60	141.852	793.943	X: -0,70; Y: 7,50	12,58
2,58	100.415	258.939	X: -1,20; Y: 7,50	8,77	2,43	100.415	243.931	X: -1,20; Y: 7,50	8,77
6,34	144.954	919.273	X: -1,20; Y: 7,50	12,77	5,69	144.954	824.322	X: -1,20; Y: 7,50	12,77
2,77	102.176	282.984	X: -1,70; Y: 7,50	8,99	2,59	102.176	264.932	X: -1,70; Y: 7,50	8,99
6,56	146.402	960.442	X: -1,70; Y: 7,50	12,99	5,87	146.402	859.719	X: -1,70; Y: 7,50	12,99
3,01	103.314	310.519	X: -2,20; Y: 7,50	9,23	2,80	103.314	288.913	X: -2,20; Y: 7,50	9,23
6,76	149.042	1.007.254	X: -2,20; Y: 7,50	13,23	6,04	149.042	899.991	X: -2,20; Y: 7,50	13,23
3,28	104.112	341.795	X: -2,70; Y: 7,50	9,49	3,04	104.112	316.132	X: -2,70; Y: 7,50	9,49
7,00	151.441	1.059.707	X: -2,70; Y: 7,50	13,49	6,24	151.441	945.140	X: -2,70; Y: 7,50	13,49
3,59	105.213	377.352	X: -3,20; Y: 7,50	9,77	3,30	105.213	347.139	X: -3,20; Y: 7,50	9,77
7,33	152.391	1.117.780	X: -3,20; Y: 7,50	13,77	6,53	152.391	995.220	X: -3,20; Y: 7,50	13,77
3,93	105.998	416.874	X: -3,70; Y: 7,50	10,06	3,60	105.998	381.596	X: -3,70; Y: 7,50	10,06
7,65	154.338	1.181.317	X: -3,70; Y: 7,50	14,06	6,80	154.338	1.049.966	X: -3,70; Y: 7,50	14,06
4,39	104.759	460.392	X: -4,20; Y: 7,50	10,37	4,01	104.759	419.679	X: -4,20; Y: 7,50	10,37
7,95	157.395	1.250.969	X: -4,20; Y: 7,50	14,37	7,05	157.395	1.109.964	X: -4,20; Y: 7,50	14,37
2,21	96.891	214.137	X: 0,30; Y: 8,00	8,76	2,12	96.891	205.797	X: 0,30; Y: 8,00	8,76
6,06	139.745	847.502	X: 0,30; Y: 8,00	12,76	5,48	139.745	766.454	X: 0,30; Y: 8,00	12,76
2,28	99.599	226.737	X: -0,20; Y: 8,00	8,89	2,18	99.599	216.999	X: -0,20; Y: 8,00	8,89
6,13	141.970	870.313	X: -0,20; Y: 8,00	12,89	5,54	141.970	785.987	X: -0,20; Y: 8,00	12,89
2,39	101.758	242.772	X: -0,70; Y: 8,00	9,05	2,27	101.758	231.112	X: -0,70; Y: 8,00	9,05
6,19	145.284	898.620	X: -0,70; Y: 8,00	13,05	5,58	145.284	810.323	X: -0,70; Y: 8,00	13,05
2,58	101.693	262.429	X: -1,20; Y: 8,00	9,23	2,44	101.693	248.278	X: -1,20; Y: 8,00	9,23
6,35	146.861	932.546	X: -1,20; Y: 8,00	13,23	5,72	146.861	839.522	X: -1,20; Y: 8,00	13,23
2,77	103.072	285.398	X: -1,70; Y: 8,00	9,44	2,60	103.072	268.411	X: -1,70; Y: 8,00	9,44
6,49	149.747	971.977	X: -1,70; Y: 8,00	13,44	5,83	149.747	873.499	X: -1,70; Y: 8,00	13,44
2,99	104.538	312.164	X: -2,20; Y: 8,00	9,66	2,79	104.538	291.882	X: -2,20; Y: 8,00	9,66
6,73	151.021	1.016.993	X: -2,20; Y: 8,00	13,66	6,04	151.021	912.355	X: -2,20; Y: 8,00	13,66
3,25	105.510	342.452	X: -2,70; Y: 8,00	9,91	3,02	105.510	318.393	X: -2,70; Y: 8,00	9,91
6,95	153.491	1.067.467	X: -2,70; Y: 8,00	13,91	6,23	153.491	955.921	X: -2,70; Y: 8,00	13,91
3,55	106.193	376.470	X: -3,20; Y: 8,00	10,18	3,28	106.193	348.150	X: -3,20; Y: 8,00	10,18
7,21	155.731	1.123.411	X: -3,20; Y: 8,00	14,18	6,45	155.731	1.004.223	X: -3,20; Y: 8,00	14,18
3,87	107.168	414.733	X: -3,70; Y: 8,00	10,46	3,56	107.168	381.674	X: -3,70; Y: 8,00	10,46
7,57	156.594	1.184.809	X: -3,70; Y: 8,00	14,46	6,75	156.594	1.057.333	X: -3,70; Y: 8,00	14,46
4,23	107.904	456.965	X: -4,20; Y: 8,00	10,76	3,88	107.904	418.662	X: -4,20; Y: 8,00	10,76
7,85	159.410	1.252.014	X: -4,20; Y: 8,00	14,76	7,00	159.410	1.115.379	X: -4,20; Y: 8,00	14,76
2,24	97.719	219.169	X: 0,30; Y: 8,50	9,24	2,16	97.719	211.146	X: 0,30; Y: 8,50	9,24
6,10	141.739	864.486	X: 0,30; Y: 8,50	13,24	5,54	141.739	784.539	X: 0,30; Y: 8,50	13,24
2,31	100.260	231.320	X: -0,20; Y: 8,50	9,37	2,21	100.260	222.005	X: -0,20; Y: 8,50	9,37
6,10	145.232	886.235	X: -0,20; Y: 8,50	13,37	5,53	145.232	803.257	X: -0,20; Y: 8,50	13,37
2,41	102.534	246.759	X: -0,70; Y: 8,50	9,52	2,30	102.534	235.681	X: -0,70; Y: 8,50	9,52
6,21	147.021	913.398	X: -0,70; Y: 8,50	13,52	5,62	147.021	826.644	X: -0,70; Y: 8,50	13,52
2,59	102.488	265.713	X: -1,20; Y: 8,50	9,69	2,46	102.488	252.311	X: -1,20; Y: 8,50	9,69
6,31	149.979	945.892	X: -1,20; Y: 8,50	13,69	5,70	149.979	854.689	X: -1,20; Y: 8,50	13,69
2,77	104.159	288.132	X: -1,70; Y: 8,50	9,89	2,61	104.159	272.112	X: -1,70; Y: 8,50	9,89
6,52	150.806	983.498	X: -1,70; Y: 8,50	13,89	5,88	150.806	887.185	X: -1,70; Y: 8,50	13,89

VERIFICHE DI STABILITA'

Bishop					Fellenius				
CS	FrzRblt	FrzRes	Centro	Raggio	CS	FrzRblt	FrzRes	Centro	Raggio
	[N]	[N]	[m]	[m]		[N]	[N]	[m]	[m]
2,98	105.341	313.828	X: -2,20; Y: 8,50	10,11	2,80	105.341	294.730	X: -2,20; Y: 8,50	10,11
6,66	154.111	1.027.096	X: -2,20; Y: 8,50	14,11	6,00	154.111	924.894	X: -2,20; Y: 8,50	14,11
3,22	106.593	343.279	X: -2,70; Y: 8,50	10,34	3,01	106.593	320.662	X: -2,70; Y: 8,50	10,34
6,93	155.309	1.075.785	X: -2,70; Y: 8,50	14,34	6,23	155.309	967.067	X: -2,70; Y: 8,50	14,34
3,50	107.452	376.279	X: -3,20; Y: 8,50	10,60	3,25	107.452	349.681	X: -3,20; Y: 8,50	10,60
7,17	157.638	1.129.778	X: -3,20; Y: 8,50	14,60	6,43	157.638	1.013.812	X: -3,20; Y: 8,50	14,60
3,81	108.424	413.236	X: -3,70; Y: 8,50	10,87	3,52	108.424	382.189	X: -3,70; Y: 8,50	10,87
7,44	159.756	1.189.094	X: -3,70; Y: 8,50	14,87	6,67	159.756	1.065.175	X: -3,70; Y: 8,50	14,87
4,17	108.957	453.957	X: -4,20; Y: 8,50	11,16	3,84	108.957	417.982	X: -4,20; Y: 8,50	11,16
7,81	160.556	1.253.730	X: -4,20; Y: 8,50	15,16	6,98	160.556	1.121.237	X: -4,20; Y: 8,50	15,16

Verifica 3

Approccio 1, Combinazione 2 Stato Limite di Resistenza del Terreno con sisma

1,54	116.479	179.514	X: 0,30; Y: 4,00	4,97	1,43	116.479	166.449	X: 0,30; Y: 4,00	4,97
2,59	284.359	737.894	X: 0,30; Y: 4,00	8,97	2,27	284.359	646.883	X: 0,30; Y: 4,00	8,97
1,58	126.724	200.003	X: -0,20; Y: 4,00	5,20	1,45	126.724	183.949	X: -0,20; Y: 4,00	5,20
2,60	298.010	776.217	X: -0,20; Y: 4,00	9,20	2,28	298.010	679.327	X: -0,20; Y: 4,00	9,20
1,71	130.799	223.987	X: -0,70; Y: 4,00	5,46	1,56	130.799	203.873	X: -0,70; Y: 4,00	5,46
2,65	310.752	822.340	X: -0,70; Y: 4,00	9,46	2,31	310.752	718.445	X: -0,70; Y: 4,00	9,46
1,83	137.805	252.094	X: -1,20; Y: 4,00	5,76	1,65	137.805	227.378	X: -1,20; Y: 4,00	5,76
2,68	326.255	875.739	X: -1,20; Y: 4,00	9,76	2,34	326.255	763.835	X: -1,20; Y: 4,00	9,76
1,93	148.762	286.768	X: -1,70; Y: 4,00	6,09	1,73	148.762	256.715	X: -1,70; Y: 4,00	6,09
2,74	342.168	936.013	X: -1,70; Y: 4,00	10,09	2,38	342.168	815.110	X: -1,70; Y: 4,00	10,09
2,03	160.279	326.113	X: -2,20; Y: 4,00	6,44	1,81	160.279	289.952	X: -2,20; Y: 4,00	6,44
2,77	363.334	1.005.814	X: -2,20; Y: 4,00	10,44	2,41	363.334	874.465	X: -2,20; Y: 4,00	10,44
2,18	169.103	368.703	X: -2,70; Y: 4,00	6,80	1,93	169.103	325.948	X: -2,70; Y: 4,00	6,80
2,83	381.323	1.079.455	X: -2,70; Y: 4,00	10,80	2,46	381.323	937.319	X: -2,70; Y: 4,00	10,80
2,29	182.583	418.183	X: -3,20; Y: 4,00	7,18	2,02	182.583	367.946	X: -3,20; Y: 4,00	7,18
2,86	406.489	1.162.274	X: -3,20; Y: 4,00	11,18	2,48	406.489	1.007.812	X: -3,20; Y: 4,00	11,18
2,40	197.027	472.622	X: -3,70; Y: 4,00	7,58	2,10	197.027	414.198	X: -3,70; Y: 4,00	7,58
2,93	426.203	1.248.293	X: -3,70; Y: 4,00	11,58	2,54	426.203	1.081.346	X: -3,70; Y: 4,00	11,58
2,55	208.138	530.715	X: -4,20; Y: 4,00	7,99	2,23	208.138	463.388	X: -4,20; Y: 4,00	7,99
2,96	453.814	1.343.613	X: -4,20; Y: 4,00	11,99	2,56	453.814	1.162.655	X: -4,20; Y: 4,00	11,99
1,52	122.989	186.875	X: 0,30; Y: 4,50	5,42	1,42	122.989	174.586	X: 0,30; Y: 4,50	5,42
2,57	294.986	757.061	X: 0,30; Y: 4,50	9,42	2,26	294.986	667.431	X: 0,30; Y: 4,50	9,42
1,57	130.317	204.798	X: -0,20; Y: 4,50	5,64	1,46	130.317	189.824	X: -0,20; Y: 4,50	5,64
2,59	306.178	792.696	X: -0,20; Y: 4,50	9,64	2,28	306.178	697.611	X: -0,20; Y: 4,50	9,64
1,64	139.686	228.447	X: -0,70; Y: 4,50	5,88	1,50	139.686	209.939	X: -0,70; Y: 4,50	5,88
2,61	320.246	835.747	X: -0,70; Y: 4,50	9,88	2,29	320.246	734.199	X: -0,70; Y: 4,50	9,88
1,77	144.300	255.614	X: -1,20; Y: 4,50	6,16	1,61	144.300	232.766	X: -1,20; Y: 4,50	6,16
2,66	333.452	886.005	X: -1,20; Y: 4,50	10,16	2,33	333.452	776.994	X: -1,20; Y: 4,50	10,16
1,87	154.430	288.283	X: -1,70; Y: 4,50	6,47	1,69	154.430	260.502	X: -1,70; Y: 4,50	6,47
2,70	349.283	943.054	X: -1,70; Y: 4,50	10,47	2,36	349.283	825.619	X: -1,70; Y: 4,50	10,47
1,99	162.762	324.383	X: -2,20; Y: 4,50	6,79	1,79	162.762	291.069	X: -2,20; Y: 4,50	6,79
2,72	370.773	1.008.973	X: -2,20; Y: 4,50	10,79	2,38	370.773	881.727	X: -2,20; Y: 4,50	10,79
2,10	174.559	366.565	X: -2,70; Y: 4,50	7,14	1,87	174.559	326.989	X: -2,70; Y: 4,50	7,14
2,79	387.230	1.079.394	X: -2,70; Y: 4,50	11,14	2,43	387.230	942.000	X: -2,70; Y: 4,50	11,14
2,21	187.171	413.495	X: -3,20; Y: 4,50	7,51	1,96	187.171	366.979	X: -3,20; Y: 4,50	7,51
2,82	410.959	1.158.241	X: -3,20; Y: 4,50	11,51	2,46	410.959	1.009.255	X: -3,20; Y: 4,50	11,51
2,34	198.001	464.025	X: -3,70; Y: 4,50	7,89	2,07	198.001	410.112	X: -3,70; Y: 4,50	7,89
2,88	431.082	1.241.135	X: -3,70; Y: 4,50	11,89	2,51	431.082	1.080.244	X: -3,70; Y: 4,50	11,89
2,45	212.953	521.115	X: -4,20; Y: 4,50	8,28	2,16	212.953	458.920	X: -4,20; Y: 4,50	8,28
2,91	457.507	1.332.489	X: -4,20; Y: 4,50	12,28	2,53	457.507	1.158.288	X: -4,20; Y: 4,50	12,28
1,51	128.440	193.832	X: 0,30; Y: 5,00	5,89	1,42	128.440	182.255	X: 0,30; Y: 5,00	5,89
2,56	303.424	776.369	X: 0,30; Y: 5,00	9,89	2,27	303.424	688.015	X: 0,30; Y: 5,00	9,89
1,56	135.554	210.875	X: -0,20; Y: 5,00	6,08	1,45	135.554	196.897	X: -0,20; Y: 5,00	6,08
2,56	315.834	809.590	X: -0,20; Y: 5,00	10,08	2,27	315.834	716.268	X: -0,20; Y: 5,00	10,08
1,61	144.397	233.039	X: -0,70; Y: 5,00	6,31	1,49	144.397	215.865	X: -0,70; Y: 5,00	6,31
2,59	327.606	850.026	X: -0,70; Y: 5,00	10,31	2,29	327.606	750.690	X: -0,70; Y: 5,00	10,31
1,70	151.816	258.841	X: -1,20; Y: 5,00	6,57	1,57	151.816	237.735	X: -1,20; Y: 5,00	6,57
2,62	342.182	897.384	X: -1,20; Y: 5,00	10,57	2,31	342.182	791.082	X: -1,20; Y: 5,00	10,57
1,84	157.101	289.072	X: -1,70; Y: 5,00	6,86	1,68	157.101	263.402	X: -1,70; Y: 5,00	6,86
2,67	355.938	951.499	X: -1,70; Y: 5,00	10,86	2,35	355.938	837.328	X: -1,70; Y: 5,00	10,86
1,94	167.465	324.677	X: -2,20; Y: 5,00	7,17	1,75	167.465	293.847	X: -2,20; Y: 5,00	7,17
2,70	376.139	1.013.913	X: -2,20; Y: 5,00	11,17	2,37	376.139	890.609	X: -2,20; Y: 5,00	11,17
2,06	176.410	363.715	X: -2,70; Y: 5,00	7,50	1,85	176.410	327.133	X: -2,70; Y: 5,00	7,50
2,74	394.106	1.081.187	X: -2,70; Y: 5,00	11,50	2,41	394.106	948.194	X: -2,70; Y: 5,00	11,50
2,17	188.626	408.713	X: -3,20; Y: 5,00	7,85	1,94	188.626	365.712	X: -3,20; Y: 5,00	7,85
2,78	416.430	1.156.332	X: -3,20; Y: 5,00	11,85	2,43	416.430	1.012.419	X: -3,20; Y: 5,00	11,85
2,27	201.767	458.431	X: -3,70; Y: 5,00	8,21	2,02	201.767	408.353	X: -3,70; Y: 5,00	8,21
2,84	435.280	1.236.179	X: -3,70; Y: 5,00	12,21	2,48	435.280	1.081.015	X: -3,70; Y: 5,00	12,21
2,38	215.892	512.963	X: -4,20; Y: 5,00	8,59	2,11	215.892	455.156	X: -4,20; Y: 5,00	8,59
2,88	460.372	1.323.743	X: -4,20; Y: 5,00	12,59	2,51	460.372	1.155.978	X: -4,20; Y: 5,00	12,59
1,51	133.096	200.450	X: 0,30; Y: 5,50	6,36	1,42	133.096	189.526	X: 0,30; Y: 5,50	6,36
2,54	313.309	795.590	X: 0,30; Y: 5,50	10,36	2,26	313.309	708.562	X: 0,30; Y: 5,50	10,36
1,55	139.940	216.685	X: -0,20; Y: 5,50	6,54	1,45	139.940	203.594	X: -0,20; Y: 5,50	6,54
2,56	323.523	826.802	X: -0,20; Y: 5,50	10,54	2,27	323.523	735.133	X: -0,20; Y: 5,50	10,54
1,61	147.040	237.033	X: -0,70; Y: 5,50	6,75	1,50	147.040	221.035	X: -0,70; Y: 5,50	6,75
2,57	336.390	864.839	X: -0,70; Y: 5,50	10,75	2,28	336.390	767.607	X: -0,70; Y: 5,50	10,75
1,68	155.782	262.262	X: -1,20; Y: 5,50	7,00	1,56	155.782	242.684	X: -1,20; Y: 5,50	7,00
2,61	348.806	909.670	X: -1,20; Y: 5,50	11,00	2,31	348.806	805.938	X: -1,20; Y: 5,50	11,00
1,78	163.520	291.146	X: -1,70; Y: 5,50	7,27	1,63	163.520	267.346	X: -1,70; Y: 5,50	7,27
2,64	363.944	961.033	X: -1,70; Y: 5,50	11,27	2,34	363.944	849.895	X: -1,70; Y: 5,50	11,27

VERIFICHE DI STABILITA'

Bishop					Fellenius				
CS	FrzRblt	FrzRes	Centro	Raggio	CS	FrzRblt	FrzRes	Centro	Raggio
	[N]	[N]	[m]	[m]		[N]	[N]	[m]	[m]
1,90	171.068	325.171	X: -2,20; Y: 5,50	7,56	1,73	171.068	296.592	X: -2,20; Y: 5,50	7,56
2,67	381.430	1.020.305	X: -2,20; Y: 5,50	11,56	2,36	381.430	900.675	X: -2,20; Y: 5,50	11,56
2,01	180.302	362.858	X: -2,70; Y: 5,50	7,87	1,82	180.302	328.935	X: -2,70; Y: 5,50	7,87
2,72	398.959	1.084.630	X: -2,70; Y: 5,50	11,87	2,40	398.959	955.860	X: -2,70; Y: 5,50	11,87
2,12	191.844	405.825	X: -3,20; Y: 5,50	8,21	1,91	191.844	365.911	X: -3,20; Y: 5,50	8,21
2,77	417.369	1.155.005	X: -3,20; Y: 5,50	12,21	2,43	417.369	1.016.259	X: -3,20; Y: 5,50	12,21
2,23	202.650	452.596	X: -3,70; Y: 5,50	8,56	2,00	202.650	406.146	X: -3,70; Y: 5,50	8,56
2,80	440.388	1.233.164	X: -3,70; Y: 5,50	12,56	2,46	440.388	1.083.296	X: -3,70; Y: 5,50	12,56
2,33	216.371	505.086	X: -4,20; Y: 5,50	8,92	2,09	216.371	451.417	X: -4,20; Y: 5,50	8,92
2,85	462.888	1.317.185	X: -4,20; Y: 5,50	12,92	2,50	462.888	1.155.498	X: -4,20; Y: 5,50	12,92
1,48	139.433	206.519	X: 0,30; Y: 6,00	6,83	1,41	139.433	196.492	X: 0,30; Y: 6,00	6,83
2,52	323.248	815.785	X: 0,30; Y: 6,00	10,83	2,26	323.248	729.853	X: 0,30; Y: 6,00	10,83
1,55	143.689	222.280	X: -0,20; Y: 6,00	7,00	1,46	143.689	209.976	X: -0,20; Y: 6,00	7,00
2,55	331.055	844.142	X: -0,20; Y: 6,00	11,00	2,28	331.055	754.052	X: -0,20; Y: 6,00	11,00
1,60	150.642	241.771	X: -0,70; Y: 6,00	7,20	1,51	150.642	226.826	X: -0,70; Y: 6,00	7,20
2,56	343.376	880.091	X: -0,70; Y: 6,00	11,20	2,29	343.376	784.842	X: -0,70; Y: 6,00	11,20
1,68	157.960	265.261	X: -1,20; Y: 6,00	7,43	1,56	157.960	247.033	X: -1,20; Y: 6,00	7,43
2,59	356.803	922.566	X: -1,20; Y: 6,00	11,43	2,30	356.803	821.240	X: -1,20; Y: 6,00	11,43
1,76	166.825	293.470	X: -1,70; Y: 6,00	7,69	1,63	166.825	271.361	X: -1,70; Y: 6,00	7,69
2,63	369.903	971.489	X: -1,70; Y: 6,00	11,69	2,33	369.903	863.238	X: -1,70; Y: 6,00	11,69
1,86	175.058	325.349	X: -2,20; Y: 6,00	7,96	1,71	175.058	298.778	X: -2,20; Y: 6,00	7,96
2,65	388.063	1.027.841	X: -2,20; Y: 6,00	11,96	2,35	388.063	911.599	X: -2,20; Y: 6,00	11,96
1,98	183.261	362.265	X: -2,70; Y: 6,00	8,26	1,80	183.261	330.747	X: -2,70; Y: 6,00	8,26
2,70	403.763	1.089.451	X: -2,70; Y: 6,00	12,26	2,39	403.763	964.623	X: -2,70; Y: 6,00	12,26
2,09	193.115	402.848	X: -3,20; Y: 6,00	8,58	1,89	193.115	365.786	X: -3,20; Y: 6,00	8,58
2,74	421.792	1.157.037	X: -3,20; Y: 6,00	12,58	2,42	421.792	1.022.770	X: -3,20; Y: 6,00	12,58
2,19	205.235	448.660	X: -3,70; Y: 6,00	8,91	1,98	205.235	405.437	X: -3,70; Y: 6,00	8,91
2,78	443.716	1.231.926	X: -3,70; Y: 6,00	12,91	2,45	443.716	1.087.159	X: -3,70; Y: 6,00	12,91
2,29	218.286	499.046	X: -4,20; Y: 6,00	9,26	2,06	218.286	449.053	X: -4,20; Y: 6,00	9,26
2,82	464.359	1.311.598	X: -4,20; Y: 6,00	13,26	2,49	464.359	1.155.764	X: -4,20; Y: 6,00	13,26
1,49	142.788	212.634	X: 0,30; Y: 6,50	7,31	1,42	142.788	203.118	X: 0,30; Y: 6,50	7,31
2,51	332.230	834.666	X: 0,30; Y: 6,50	11,31	2,26	332.230	750.045	X: 0,30; Y: 6,50	11,31
1,55	146.956	227.695	X: -0,20; Y: 6,50	7,47	1,47	146.956	216.094	X: -0,20; Y: 6,50	7,47
2,53	341.328	862.276	X: -0,20; Y: 6,50	11,47	2,27	341.328	773.645	X: -0,20; Y: 6,50	11,47
1,60	153.710	246.389	X: -0,70; Y: 6,50	7,66	1,51	153.710	232.375	X: -0,70; Y: 6,50	7,66
2,56	350.147	895.595	X: -0,70; Y: 6,50	11,66	2,29	350.147	802.218	X: -0,70; Y: 6,50	11,66
1,67	160.940	268.980	X: -1,20; Y: 6,50	7,87	1,57	160.940	251.960	X: -1,20; Y: 6,50	7,87
2,58	363.135	935.989	X: -1,20; Y: 6,50	11,87	2,30	363.135	836.940	X: -1,20; Y: 6,50	11,87
1,75	168.625	295.500	X: -1,70; Y: 6,50	8,11	1,63	168.625	274.897	X: -1,70; Y: 6,50	8,11
2,60	378.834	983.415	X: -1,70; Y: 6,50	12,11	2,32	378.834	877.714	X: -1,70; Y: 6,50	12,11
1,84	177.785	326.627	X: -2,20; Y: 6,50	8,38	1,70	177.785	301.894	X: -2,20; Y: 6,50	8,38
2,64	392.963	1.036.374	X: -2,20; Y: 6,50	12,38	2,35	392.963	923.347	X: -2,20; Y: 6,50	12,38
1,94	186.604	361.441	X: -2,70; Y: 6,50	8,66	1,78	186.604	332.032	X: -2,70; Y: 6,50	8,66
2,67	409.702	1.095.385	X: -2,70; Y: 6,50	12,66	2,38	409.702	974.189	X: -2,70; Y: 6,50	12,66
2,05	195.506	401.214	X: -3,20; Y: 6,50	8,96	1,88	195.506	366.692	X: -3,20; Y: 6,50	8,96
2,72	427.336	1.160.351	X: -3,20; Y: 6,50	12,96	2,41	427.336	1.030.192	X: -3,20; Y: 6,50	12,96
2,16	206.026	444.662	X: -3,70; Y: 6,50	9,28	1,96	206.026	404.409	X: -3,70; Y: 6,50	9,28
2,76	446.915	1.232.233	X: -3,70; Y: 6,50	13,28	2,44	446.915	1.092.236	X: -3,70; Y: 6,50	13,28
2,25	218.765	493.296	X: -4,20; Y: 6,50	9,62	2,04	218.765	446.716	X: -4,20; Y: 6,50	9,62
2,80	467.252	1.309.155	X: -4,20; Y: 6,50	13,62	2,48	467.252	1.158.625	X: -4,20; Y: 6,50	13,62
1,50	145.141	218.323	X: 0,30; Y: 7,00	7,79	1,44	145.141	209.221	X: 0,30; Y: 7,00	7,79
2,51	339.368	853.367	X: 0,30; Y: 7,00	11,79	2,27	339.368	769.951	X: 0,30; Y: 7,00	11,79
1,54	151.430	232.505	X: -0,20; Y: 7,00	7,94	1,46	151.430	221.718	X: -0,20; Y: 7,00	7,94
2,53	348.129	879.548	X: -0,20; Y: 7,00	11,94	2,28	348.129	792.400	X: -0,20; Y: 7,00	11,94
1,61	155.880	250.611	X: -0,70; Y: 7,00	8,12	1,52	155.880	237.408	X: -0,70; Y: 7,00	8,12
2,54	359.431	911.864	X: -0,70; Y: 7,00	12,12	2,28	359.431	820.209	X: -0,70; Y: 7,00	12,12
1,67	163.468	272.663	X: -1,20; Y: 7,00	8,32	1,57	163.468	256.714	X: -1,20; Y: 7,00	8,32
2,57	369.235	949.757	X: -1,20; Y: 7,00	12,32	2,31	369.235	852.848	X: -1,20; Y: 7,00	12,32
1,74	171.091	298.248	X: -1,70; Y: 7,00	8,55	1,63	171.091	278.995	X: -1,70; Y: 7,00	8,55
2,59	384.259	994.994	X: -1,70; Y: 7,00	12,55	2,32	384.259	891.865	X: -1,70; Y: 7,00	12,55
1,83	179.244	327.717	X: -2,20; Y: 7,00	8,80	1,70	179.244	304.629	X: -2,20; Y: 7,00	8,80
2,62	399.191	1.045.654	X: -2,20; Y: 7,00	12,80	2,34	399.191	935.584	X: -2,20; Y: 7,00	12,80
1,92	188.826	361.715	X: -2,70; Y: 7,00	9,07	1,77	188.826	334.279	X: -2,70; Y: 7,00	9,07
2,66	414.070	1.102.321	X: -2,70; Y: 7,00	13,07	2,38	414.070	984.578	X: -2,70; Y: 7,00	13,07
2,01	198.279	399.420	X: -3,20; Y: 7,00	9,36	1,85	198.279	367.110	X: -3,20; Y: 7,00	9,36
2,70	431.437	1.164.825	X: -3,20; Y: 7,00	13,36	2,41	431.437	1.038.593	X: -3,20; Y: 7,00	13,36
2,13	207.910	442.022	X: -3,70; Y: 7,00	9,67	1,95	207.910	404.437	X: -3,70; Y: 7,00	9,67
2,73	451.329	1.233.856	X: -3,70; Y: 7,00	13,67	2,43	451.329	1.098.235	X: -3,70; Y: 7,00	13,67
2,22	220.084	488.845	X: -4,20; Y: 7,00	9,99	2,02	220.084	445.326	X: -4,20; Y: 7,00	9,99
2,78	470.061	1.308.180	X: -4,20; Y: 7,00	13,99	2,47	470.061	1.162.615	X: -4,20; Y: 7,00	13,99
1,52	147.854	224.179	X: 0,30; Y: 7,50	8,27	1,46	147.854	215.476	X: 0,30; Y: 7,50	8,27
2,52	346.368	871.825	X: 0,30; Y: 7,50	12,27	2,28	346.368	789.579	X: 0,30; Y: 7,50	12,27
1,54	154.153	237.791	X: -0,20; Y: 7,50	8,41	1,48	154.153	227.568	X: -0,20; Y: 7,50	8,41
2,52	356.090	896.677	X: -0,20; Y: 7,50	12,41	2,28	356.090	810.993	X: -0,20; Y: 7,50	12,41
1,61	158.525	255.226	X: -0,70; Y: 7,50	8,58	1,53	158.525	242.772	X: -0,70; Y: 7,50	8,58
2,54	365.534	927.521	X: -0,70; Y: 7,50	12,58	2,29	365.534	837.576	X: -0,70; Y: 7,50	12,58
1,67	165.299	276.108	X: -1,20; Y: 7,50	8,77	1,58	165.299	261.100	X: -1,20; Y: 7,50	8,77
2,55	377.648	964.284	X: -1,20; Y: 7,50	12,77	2,30	377.648	869.333	X: -1,20; Y: 7,50	12,77
1,74	173.168	301.026	X: -1,70; Y: 7,50	8,99	1,63	173.168	282.975	X: -1,70; Y: 7,50	8,99
2,59	389.506	1.007.014	X: -1,70; Y: 7,50	12,99	2,33	389.506	906.291	X: -1,70; Y: 7,50	12,99
1,82	181.266	329.526	X: -2,20; Y: 7,50	9,23	1,70	181.266	307.920	X: -2,20; Y: 7,50	9,23
2,61	404.025	1.055.602	X: -2,20; Y: 7,50	13,23	2,35	404.025	948.339	X: -2,20; Y: 7,50	13,23

VERIFICHE DI STABILITA'

Bishop					Fellenius				
CS	FrzRblt	FrzRes	Centro	Raggio	CS	FrzRblt	FrzRes	Centro	Raggio
	[N]	[N]	[m]	[m]		[N]	[N]	[m]	[m]
1,91	189.958	361.889	X: -2,70; Y: 7,50	9,49	1,77	189.958	336.225	X: -2,70; Y: 7,50	9,49
2,64	419.682	1.110.027	X: -2,70; Y: 7,50	13,49	2,37	419.682	995.460	X: -2,70; Y: 7,50	13,49
1,99	200.050	398.726	X: -3,20; Y: 7,50	9,77	1,84	200.050	368.514	X: -3,20; Y: 7,50	9,77
2,69	435.315	1.170.260	X: -3,20; Y: 7,50	13,77	2,41	435.315	1.047.700	X: -3,20; Y: 7,50	13,77
2,09	210.822	439.659	X: -3,70; Y: 7,50	10,06	1,92	210.822	404.382	X: -3,70; Y: 7,50	10,06
2,73	453.333	1.236.154	X: -3,70; Y: 7,50	14,06	2,44	453.333	1.104.803	X: -3,70; Y: 7,50	14,06
2,20	220.548	484.700	X: -4,20; Y: 7,50	10,37	2,01	220.548	443.987	X: -4,20; Y: 7,50	10,37
2,76	473.999	1.308.475	X: -4,20; Y: 7,50	14,37	2,46	473.999	1.167.470	X: -4,20; Y: 7,50	14,37
1,53	150.337	229.834	X: 0,30; Y: 8,00	8,76	1,47	150.337	221.494	X: 0,30; Y: 8,00	8,76
2,51	354.316	889.975	X: 0,30; Y: 8,00	12,76	2,28	354.316	808.927	X: 0,30; Y: 8,00	12,76
1,55	156.340	242.930	X: -0,20; Y: 8,00	8,89	1,49	156.340	233.192	X: -0,20; Y: 8,00	8,89
2,52	362.372	913.716	X: -0,20; Y: 8,00	12,89	2,29	362.372	829.391	X: -0,20; Y: 8,00	12,89
1,60	162.602	259.558	X: -0,70; Y: 8,00	9,05	1,52	162.602	247.898	X: -0,70; Y: 8,00	9,05
2,53	372.932	943.156	X: -0,70; Y: 8,00	13,05	2,29	372.932	854.859	X: -0,70; Y: 8,00	13,05
1,67	167.484	279.908	X: -1,20; Y: 8,00	9,23	1,59	167.484	265.757	X: -1,20; Y: 8,00	9,23
2,55	383.121	978.385	X: -1,20; Y: 8,00	13,23	2,31	383.121	885.361	X: -1,20; Y: 8,00	13,23
1,74	174.695	303.689	X: -1,70; Y: 8,00	9,44	1,64	174.695	286.702	X: -1,70; Y: 8,00	9,44
2,57	396.030	1.019.341	X: -1,70; Y: 8,00	13,44	2,33	396.030	920.863	X: -1,70; Y: 8,00	13,44
1,81	182.952	331.426	X: -2,20; Y: 8,00	9,66	1,70	182.952	311.145	X: -2,20; Y: 8,00	9,66
2,61	408.695	1.066.055	X: -2,20; Y: 8,00	13,66	2,35	408.695	961.418	X: -2,20; Y: 8,00	13,66
1,89	191.587	362.787	X: -2,70; Y: 8,00	9,91	1,77	191.587	338.728	X: -2,70; Y: 8,00	9,91
2,64	423.971	1.118.442	X: -2,70; Y: 8,00	13,91	2,37	423.971	1.006.895	X: -2,70; Y: 8,00	13,91
1,98	200.868	398.003	X: -3,20; Y: 8,00	10,18	1,84	200.868	369.683	X: -3,20; Y: 8,00	10,18
2,67	440.360	1.176.487	X: -3,20; Y: 8,00	14,18	2,40	440.360	1.057.299	X: -3,20; Y: 8,00	14,18
2,07	211.531	437.654	X: -3,70; Y: 8,00	10,46	1,91	211.531	404.595	X: -3,70; Y: 8,00	10,46
2,72	456.752	1.240.169	X: -3,70; Y: 8,00	14,46	2,44	456.752	1.112.693	X: -3,70; Y: 8,00	14,46
2,16	222.956	481.410	X: -4,20; Y: 8,00	10,76	1,99	222.956	443.106	X: -4,20; Y: 8,00	10,76
2,75	476.592	1.309.943	X: -4,20; Y: 8,00	14,76	2,46	476.592	1.173.308	X: -4,20; Y: 8,00	14,76
1,54	152.420	235.167	X: 0,30; Y: 8,50	9,24	1,49	152.420	227.145	X: 0,30; Y: 8,50	9,24
2,52	360.763	907.911	X: 0,30; Y: 8,50	13,24	2,30	360.763	827.964	X: 0,30; Y: 8,50	13,24
1,57	158.143	247.795	X: -0,20; Y: 8,50	9,37	1,51	158.143	238.480	X: -0,20; Y: 8,50	9,37
2,52	369.875	930.565	X: -0,20; Y: 8,50	13,37	2,29	369.875	847.586	X: -0,20; Y: 8,50	13,37
1,60	164.390	263.825	X: -0,70; Y: 8,50	9,52	1,54	164.390	252.746	X: -0,70; Y: 8,50	9,52
2,53	378.589	958.795	X: -0,70; Y: 8,50	13,52	2,30	378.589	872.041	X: -0,70; Y: 8,50	13,52
1,68	169.115	283.449	X: -1,20; Y: 8,50	9,69	1,60	169.115	270.047	X: -1,20; Y: 8,50	9,69
2,55	389.825	992.563	X: -1,20; Y: 8,50	13,69	2,31	389.825	901.360	X: -1,20; Y: 8,50	13,69
1,74	176.494	306.693	X: -1,70; Y: 8,50	9,89	1,65	176.494	290.673	X: -1,70; Y: 8,50	9,89
2,58	400.196	1.031.560	X: -1,70; Y: 8,50	13,89	2,34	400.196	935.247	X: -1,70; Y: 8,50	13,89
1,81	184.196	333.306	X: -2,20; Y: 8,50	10,11	1,71	184.196	314.208	X: -2,20; Y: 8,50	10,11
2,60	414.584	1.076.882	X: -2,20; Y: 8,50	14,11	2,35	414.584	974.679	X: -2,20; Y: 8,50	14,11
1,89	192.921	363.830	X: -2,70; Y: 8,50	10,34	1,77	192.921	341.213	X: -2,70; Y: 8,50	10,34
2,63	428.114	1.127.409	X: -2,70; Y: 8,50	14,34	2,38	428.114	1.018.691	X: -2,70; Y: 8,50	14,34
1,97	202.138	398.011	X: -3,20; Y: 8,50	10,60	1,84	202.138	371.413	X: -3,20; Y: 8,50	10,60
2,66	444.143	1.183.445	X: -3,20; Y: 8,50	14,60	2,40	444.143	1.067.479	X: -3,20; Y: 8,50	14,60
2,05	212.477	436.315	X: -3,70; Y: 8,50	10,87	1,91	212.477	405.267	X: -3,70; Y: 8,50	10,87
2,70	461.271	1.244.990	X: -3,70; Y: 8,50	14,87	2,43	461.271	1.121.071	X: -3,70; Y: 8,50	14,87
2,14	223.321	478.494	X: -4,20; Y: 8,50	11,16	1,98	223.321	442.518	X: -4,20; Y: 8,50	11,16
2,74	478.425	1.312.033	X: -4,20; Y: 8,50	15,16	2,47	478.425	1.179.540	X: -4,20; Y: 8,50	15,16

Verifica 4

Approccio 1, Combinazione 2 Stato Limite di Resistenza del Terreno con sisma

1,64	102.201	167.447	X: 0,30; Y: 4,00	4,97	1,51	102.201	154.383	X: 0,30; Y: 4,00	4,97
3,16	217.344	687.279	X: 0,30; Y: 4,00	8,97	2,74	217.344	596.268	X: 0,30; Y: 4,00	8,97
1,69	110.220	186.533	X: -0,20; Y: 4,00	5,20	1,55	110.220	170.479	X: -0,20; Y: 4,00	5,20
3,18	227.051	722.996	X: -0,20; Y: 4,00	9,20	2,76	227.051	626.106	X: -0,20; Y: 4,00	9,20
1,87	111.993	208.897	X: -0,70; Y: 4,00	5,46	1,69	111.993	188.783	X: -0,70; Y: 4,00	5,46
3,26	235.158	765.968	X: -0,70; Y: 4,00	9,46	2,82	235.158	662.074	X: -0,70; Y: 4,00	9,46
2,02	116.282	235.079	X: -1,20; Y: 4,00	5,76	1,81	116.282	210.364	X: -1,20; Y: 4,00	5,76
3,32	245.365	815.704	X: -1,20; Y: 4,00	9,76	2,87	245.365	703.800	X: -1,20; Y: 4,00	9,76
2,16	123.843	267.371	X: -1,70; Y: 4,00	6,09	1,92	123.843	237.318	X: -1,70; Y: 4,00	6,09
3,41	255.458	871.830	X: -1,70; Y: 4,00	10,09	2,94	255.458	750.927	X: -1,70; Y: 4,00	10,09
2,31	131.549	304.014	X: -2,20; Y: 4,00	6,44	2,04	131.549	267.853	X: -2,20; Y: 4,00	6,44
3,47	269.722	936.867	X: -2,20; Y: 4,00	10,44	2,99	269.722	805.519	X: -2,20; Y: 4,00	10,44
2,52	136.385	343.659	X: -2,70; Y: 4,00	6,80	2,21	136.385	300.905	X: -2,70; Y: 4,00	6,80
3,58	280.612	1.005.421	X: -2,70; Y: 4,00	10,80	3,08	280.612	863.285	X: -2,70; Y: 4,00	10,80
2,69	145.150	389.729	X: -3,20; Y: 4,00	7,18	2,34	145.150	339.493	X: -3,20; Y: 4,00	7,18
3,64	297.665	1.082.566	X: -3,20; Y: 4,00	11,18	3,12	297.665	928.105	X: -3,20; Y: 4,00	11,18
2,85	154.421	440.415	X: -3,70; Y: 4,00	7,58	2,47	154.421	381.992	X: -3,70; Y: 4,00	7,58
3,76	309.207	1.162.628	X: -3,70; Y: 4,00	11,58	3,22	309.207	995.682	X: -3,70; Y: 4,00	11,58
3,09	160.216	494.494	X: -4,20; Y: 4,00	7,99	2,67	160.216	427.167	X: -4,20; Y: 4,00	7,99
3,82	327.587	1.251.399	X: -4,20; Y: 4,00	11,99	3,27	327.587	1.070.441	X: -4,20; Y: 4,00	11,99
1,60	108.574	174.184	X: 0,30; Y: 4,50	5,42	1,49	108.574	161.895	X: 0,30; Y: 4,50	5,42
3,10	227.391	704.819	X: 0,30; Y: 4,50	9,42	2,71	227.391	615.189	X: 0,30; Y: 4,50	9,42
1,67	113.998	190.875	X: -0,20; Y: 4,50	5,64	1,54	113.998	175.900	X: -0,20; Y: 4,50	5,64
3,14	234.878	738.031	X: -0,20; Y: 4,50	9,64	2,74	234.878	642.945	X: -0,20; Y: 4,50	9,64
1,76	121.012	212.895	X: -0,70; Y: 4,50	5,88	1,61	121.012	194.387	X: -0,70; Y: 4,50	5,88
3,18	244.632	778.135	X: -0,70; Y: 4,50	9,88	2,77	244.632	676.587	X: -0,70; Y: 4,50	9,88
1,94	123.087	238.207	X: -1,20; Y: 4,50	6,16	1,75	123.087	215.360	X: -1,20; Y: 4,50	6,16
3,26	252.905	824.943	X: -1,20; Y: 4,50	10,16	2,83	252.905	715.932	X: -1,20; Y: 4,50	10,16
2,07	130.073	268.623	X: -1,70; Y: 4,50	6,47	1,85	130.073	240.842	X: -1,70; Y: 4,50	6,47
3,34	263.146	878.064	X: -1,70; Y: 4,50	10,47	2,89	263.146	760.629	X: -1,70; Y: 4,50	10,47
2,24	135.016	302.224	X: -2,20; Y: 4,50	6,79	1,99	135.016	268.910	X: -2,20; Y: 4,50	6,79
3,38	278.152	939.472	X: -2,20; Y: 4,50	10,79	2,92	278.152	812.226	X: -2,20; Y: 4,50	10,79

VERIFICHE DI STABILITA'

Bishop					Fellenius				
CS	FrzRblt	FrzRes	Centro	Raggio	CS	FrzRblt	FrzRes	Centro	Raggio
	[N]	[N]	[m]	[m]		[N]	[N]	[m]	[m]
2,39	142.807	341.488	X: -2,70; Y: 4,50	7,14	2,11	142.807	301.912	X: -2,70; Y: 4,50	7,14
3,49	287.930	1.005.025	X: -2,70; Y: 4,50	11,14	3,01	287.930	867.632	X: -2,70; Y: 4,50	11,14
2,55	150.982	385.170	X: -3,20; Y: 4,50	7,51	2,24	150.982	338.654	X: -3,20; Y: 4,50	7,51
3,55	303.946	1.078.458	X: -3,20; Y: 4,50	11,51	3,06	303.946	929.472	X: -3,20; Y: 4,50	11,51
2,75	157.132	432.182	X: -3,70; Y: 4,50	7,89	2,41	157.132	378.269	X: -3,70; Y: 4,50	7,89
3,66	316.168	1.155.607	X: -3,70; Y: 4,50	11,89	3,15	316.168	994.716	X: -3,70; Y: 4,50	11,89
2,91	166.719	485.314	X: -4,20; Y: 4,50	8,28	2,54	166.719	423.118	X: -4,20; Y: 4,50	8,28
3,72	333.762	1.240.675	X: -4,20; Y: 4,50	12,28	3,20	333.762	1.066.475	X: -4,20; Y: 4,50	12,28
1,58	113.944	180.545	X: 0,30; Y: 5,00	5,89	1,48	113.944	168.969	X: 0,30; Y: 5,00	5,89
3,07	235.242	722.494	X: 0,30; Y: 5,00	9,89	2,70	235.242	634.139	X: 0,30; Y: 5,00	9,89
1,65	119.270	196.408	X: -0,20; Y: 5,00	6,08	1,53	119.270	182.430	X: -0,20; Y: 5,00	6,08
3,08	244.231	753.447	X: -0,20; Y: 5,00	10,08	2,70	244.231	660.125	X: -0,20; Y: 5,00	10,08
1,72	125.904	217.038	X: -0,70; Y: 5,00	6,31	1,59	125.904	199.865	X: -0,70; Y: 5,00	6,31
3,14	251.923	791.114	X: -0,70; Y: 5,00	10,31	2,75	251.923	691.777	X: -0,70; Y: 5,00	10,31
1,84	130.898	241.054	X: -1,20; Y: 5,00	6,57	1,68	130.898	219.948	X: -1,20; Y: 5,00	6,57
3,19	261.831	835.214	X: -1,20; Y: 5,00	10,57	2,78	261.831	728.912	X: -1,20; Y: 5,00	10,57
2,02	133.413	269.202	X: -1,70; Y: 5,00	6,86	1,83	133.413	243.532	X: -1,70; Y: 5,00	6,86
3,28	270.378	885.599	X: -1,70; Y: 5,00	10,86	2,85	270.378	771.428	X: -1,70; Y: 5,00	10,86
2,15	140.433	302.334	X: -2,20; Y: 5,00	7,17	1,93	140.433	271.504	X: -2,20; Y: 5,00	7,17
3,32	284.415	943.728	X: -2,20; Y: 5,00	11,17	2,88	284.415	820.425	X: -2,20; Y: 5,00	11,17
2,32	145.768	338.655	X: -2,70; Y: 5,00	7,50	2,07	145.768	302.073	X: -2,70; Y: 5,00	7,50
3,40	295.939	1.006.349	X: -2,70; Y: 5,00	11,50	2,95	295.939	873.355	X: -2,70; Y: 5,00	11,50
2,47	153.779	380.519	X: -3,20; Y: 5,00	7,85	2,19	153.779	337.518	X: -3,20; Y: 5,00	7,85
3,46	311.039	1.076.319	X: -3,20; Y: 5,00	11,85	3,00	311.039	932.406	X: -3,20; Y: 5,00	11,85
2,63	162.282	426.776	X: -3,70; Y: 5,00	8,21	2,32	162.282	376.698	X: -3,70; Y: 5,00	8,21
3,57	322.335	1.150.631	X: -3,70; Y: 5,00	12,21	3,09	322.335	995.466	X: -3,70; Y: 5,00	12,21
2,79	171.326	477.511	X: -4,20; Y: 5,00	8,59	2,45	171.326	419.705	X: -4,20; Y: 5,00	8,59
3,63	338.984	1.232.154	X: -4,20; Y: 5,00	12,59	3,14	338.984	1.064.389	X: -4,20; Y: 5,00	12,59
1,57	118.559	186.597	X: 0,30; Y: 5,50	6,36	1,48	118.559	175.674	X: 0,30; Y: 5,50	6,36
3,03	244.589	740.084	X: 0,30; Y: 5,50	10,36	2,67	244.589	653.055	X: 0,30; Y: 5,50	10,36
1,63	123.720	201.699	X: -0,20; Y: 5,50	6,54	1,52	123.720	188.607	X: -0,20; Y: 5,50	6,54
3,06	251.555	769.163	X: -0,20; Y: 5,50	10,54	2,69	251.555	677.494	X: -0,20; Y: 5,50	10,54
1,71	128.838	220.630	X: -0,70; Y: 5,50	6,75	1,59	128.838	204.633	X: -0,70; Y: 5,50	6,75
3,09	260.644	804.587	X: -0,70; Y: 5,50	10,75	2,71	260.644	707.355	X: -0,70; Y: 5,50	10,75
1,81	135.177	244.103	X: -1,20; Y: 5,50	7,00	1,66	135.177	224.525	X: -1,20; Y: 5,50	7,00
3,15	268.631	846.330	X: -1,20; Y: 5,50	11,00	2,76	268.631	742.598	X: -1,20; Y: 5,50	11,00
1,93	140.271	270.975	X: -1,70; Y: 5,50	7,27	1,76	140.271	247.175	X: -1,70; Y: 5,50	7,27
3,21	278.776	894.146	X: -1,70; Y: 5,50	11,27	2,81	278.776	783.008	X: -1,70; Y: 5,50	11,27
2,09	144.713	302.636	X: -2,20; Y: 5,50	7,56	1,89	144.713	274.057	X: -2,20; Y: 5,50	7,56
3,27	290.559	949.338	X: -2,20; Y: 5,50	11,56	2,86	290.559	829.708	X: -2,20; Y: 5,50	11,56
2,24	150.511	337.689	X: -2,70; Y: 5,50	7,87	2,02	150.511	303.766	X: -2,70; Y: 5,50	7,87
3,34	301.896	1.009.205	X: -2,70; Y: 5,50	11,87	2,92	301.896	880.435	X: -2,70; Y: 5,50	11,87
2,39	158.085	377.653	X: -3,20; Y: 5,50	8,21	2,14	158.085	337.738	X: -3,20; Y: 5,50	8,21
3,43	313.616	1.074.697	X: -3,20; Y: 5,50	12,21	2,98	313.616	935.952	X: -3,20; Y: 5,50	12,21
2,56	164.626	421.147	X: -3,70; Y: 5,50	8,56	2,28	164.626	374.697	X: -3,70; Y: 5,50	8,56
3,49	329.163	1.147.456	X: -3,70; Y: 5,50	12,56	3,03	329.163	997.589	X: -3,70; Y: 5,50	12,56
2,71	173.508	469.965	X: -4,20; Y: 5,50	8,92	2,40	173.508	416.296	X: -4,20; Y: 5,50	8,92
3,57	343.698	1.225.667	X: -4,20; Y: 5,50	12,92	3,10	343.698	1.063.981	X: -4,20; Y: 5,50	12,92
1,54	124.844	192.124	X: 0,30; Y: 6,00	6,83	1,46	124.844	182.096	X: 0,30; Y: 6,00	6,83
2,99	253.843	758.595	X: 0,30; Y: 6,00	10,83	2,65	253.843	672.664	X: 0,30; Y: 6,00	10,83
1,62	127.551	206.795	X: -0,20; Y: 6,00	7,00	1,52	127.551	194.492	X: -0,20; Y: 6,00	7,00
3,03	258.800	785.001	X: -0,20; Y: 6,00	11,00	2,69	258.800	694.911	X: -0,20; Y: 6,00	11,00
1,70	132.621	224.921	X: -0,70; Y: 6,00	7,20	1,58	132.621	209.976	X: -0,70; Y: 6,00	7,20
3,06	267.479	818.474	X: -0,70; Y: 6,00	11,20	2,70	267.479	723.225	X: -0,70; Y: 6,00	11,20
1,79	137.748	246.766	X: -1,20; Y: 6,00	7,43	1,66	137.748	228.538	X: -1,20; Y: 6,00	7,43
3,10	276.780	858.015	X: -1,20; Y: 6,00	11,43	2,73	276.780	756.689	X: -1,20; Y: 6,00	11,43
1,90	144.013	272.999	X: -1,70; Y: 6,00	7,69	1,74	144.013	250.890	X: -1,70; Y: 6,00	7,69
3,17	285.131	903.554	X: -1,70; Y: 6,00	11,69	2,79	285.131	795.303	X: -1,70; Y: 6,00	11,69
2,03	149.383	302.643	X: -2,20; Y: 6,00	7,96	1,85	149.383	276.072	X: -2,20; Y: 6,00	7,96
3,21	297.816	956.014	X: -2,20; Y: 6,00	11,96	2,82	297.816	839.772	X: -2,20; Y: 6,00	11,96
2,18	154.267	336.978	X: -2,70; Y: 6,00	8,26	1,98	154.267	305.460	X: -2,70; Y: 6,00	8,26
3,29	307.717	1.013.349	X: -2,70; Y: 6,00	12,26	2,89	307.717	888.521	X: -2,70; Y: 6,00	12,26
2,34	160.474	374.709	X: -3,20; Y: 6,00	8,58	2,10	160.474	337.647	X: -3,20; Y: 6,00	8,58
3,37	319.328	1.076.237	X: -3,20; Y: 6,00	12,58	2,95	319.328	941.970	X: -3,20; Y: 6,00	12,58
2,48	168.421	417.303	X: -3,70; Y: 6,00	8,91	2,22	168.421	374.080	X: -3,70; Y: 6,00	8,91
3,43	334.095	1.145.937	X: -3,70; Y: 6,00	12,91	3,00	334.095	1.001.170	X: -3,70; Y: 6,00	12,91
2,62	176.882	464.150	X: -4,20; Y: 6,00	9,26	2,34	176.882	414.156	X: -4,20; Y: 6,00	9,26
3,51	347.253	1.220.065	X: -4,20; Y: 6,00	13,26	3,06	347.253	1.064.231	X: -4,20; Y: 6,00	13,26
1,54	128.183	197.718	X: 0,30; Y: 6,50	7,31	1,47	128.183	188.203	X: 0,30; Y: 6,50	7,31
2,96	262.362	775.870	X: 0,30; Y: 6,50	11,31	2,63	262.362	691.248	X: 0,30; Y: 6,50	11,31
1,62	130.906	211.731	X: -0,20; Y: 6,50	7,47	1,53	130.906	200.130	X: -0,20; Y: 6,50	7,47
2,98	268.586	801.585	X: -0,20; Y: 6,50	11,47	2,65	268.586	712.955	X: -0,20; Y: 6,50	11,47
1,69	135.874	229.107	X: -0,70; Y: 6,50	7,66	1,58	135.874	215.094	X: -0,70; Y: 6,50	7,66
3,04	274.187	832.598	X: -0,70; Y: 6,50	11,66	2,70	274.187	739.222	X: -0,70; Y: 6,50	11,66
1,77	141.017	250.107	X: -1,20; Y: 6,50	7,87	1,65	141.017	233.087	X: -1,20; Y: 6,50	7,87
3,07	283.163	870.195	X: -1,20; Y: 6,50	11,87	2,72	283.163	771.146	X: -1,20; Y: 6,50	11,87
1,88	146.303	274.760	X: -1,70; Y: 6,50	8,11	1,74	146.303	254.157	X: -1,70; Y: 6,50	8,11
3,11	294.287	914.341	X: -1,70; Y: 6,50	12,11	2,75	294.287	808.639	X: -1,70; Y: 6,50	12,11
1,99	152.664	303.694	X: -2,20; Y: 6,50	8,38	1,83	152.664	278.960	X: -2,20; Y: 6,50	8,38
3,18	303.346	963.623	X: -2,20; Y: 6,50	12,38	2,80	303.346	850.596	X: -2,20; Y: 6,50	12,38
2,12	158.403	336.053	X: -2,70; Y: 6,50	8,66	1,94	158.403	306.644	X: -2,70; Y: 6,50	8,66
3,24	314.475	1.018.531	X: -2,70; Y: 6,50	12,66	2,85	314.475	897.335	X: -2,70; Y: 6,50	12,66

VERIFICHE DI STABILITA'

Bishop					Fellenius				
CS	FrzRblt	FrzRes	Centro	Raggio	CS	FrzRblt	FrzRes	Centro	Raggio
	[N]	[N]	[m]	[m]		[N]	[N]	[m]	[m]
2,28	163.774	373.029	X: -3,20; Y: 6,50	8,96	2,07	163.774	338.507	X: -3,20; Y: 6,50	8,96
3,31	326.032	1.078.972	X: -3,20; Y: 6,50	12,96	2,91	326.032	948.813	X: -3,20; Y: 6,50	12,96
2,43	170.438	413.410	X: -3,70; Y: 6,50	9,28	2,19	170.438	373.157	X: -3,70; Y: 6,50	9,28
3,38	338.813	1.145.862	X: -3,70; Y: 6,50	13,28	2,97	338.813	1.005.865	X: -3,70; Y: 6,50	13,28
2,56	178.799	458.613	X: -4,20; Y: 6,50	9,62	2,30	178.799	412.033	X: -4,20; Y: 6,50	9,62
3,46	351.919	1.217.421	X: -4,20; Y: 6,50	13,62	3,03	351.919	1.066.892	X: -4,20; Y: 6,50	13,62
1,55	130.566	202.922	X: 0,30; Y: 7,00	7,79	1,48	130.566	193.820	X: 0,30; Y: 7,00	7,79
2,95	269.036	792.984	X: 0,30; Y: 7,00	11,79	2,64	269.036	709.567	X: 0,30; Y: 7,00	11,79
1,60	135.456	216.097	X: -0,20; Y: 7,00	7,94	1,52	135.456	205.310	X: -0,20; Y: 7,00	7,94
2,97	275.151	817.364	X: -0,20; Y: 7,00	11,94	2,65	275.151	730.215	X: -0,20; Y: 7,00	11,94
1,68	138.261	232.934	X: -0,70; Y: 7,00	8,12	1,59	138.261	219.731	X: -0,70; Y: 7,00	8,12
2,99	283.175	847.443	X: -0,70; Y: 7,00	12,12	2,67	283.175	755.788	X: -0,70; Y: 7,00	12,12
1,76	143.827	253.422	X: -1,20; Y: 7,00	8,32	1,65	143.827	237.473	X: -1,20; Y: 7,00	8,32
3,05	289.377	882.703	X: -1,20; Y: 7,00	12,32	2,72	289.377	785.794	X: -1,20; Y: 7,00	12,32
1,86	149.160	277.196	X: -1,70; Y: 7,00	8,55	1,73	149.160	257.943	X: -1,70; Y: 7,00	8,55
3,08	299.974	924.800	X: -1,70; Y: 7,00	12,55	2,74	299.974	821.672	X: -1,70; Y: 7,00	12,55
1,97	154.707	304.580	X: -2,20; Y: 7,00	8,80	1,82	154.707	281.492	X: -2,20; Y: 7,00	8,80
3,13	310.130	971.933	X: -2,20; Y: 7,00	12,80	2,78	310.130	861.863	X: -2,20; Y: 7,00	12,80
2,08	161.289	336.170	X: -2,70; Y: 7,00	9,07	1,91	161.289	308.734	X: -2,70; Y: 7,00	9,07
3,21	319.655	1.024.652	X: -2,70; Y: 7,00	13,07	2,84	319.655	906.909	X: -2,70; Y: 7,00	13,07
2,22	167.446	371.203	X: -3,20; Y: 7,00	9,36	2,02	167.446	338.893	X: -3,20; Y: 7,00	9,36
3,27	331.139	1.082.795	X: -3,20; Y: 7,00	13,36	2,89	331.139	956.563	X: -3,20; Y: 7,00	13,36
2,37	173.337	410.794	X: -3,70; Y: 7,00	9,67	2,15	173.337	373.209	X: -3,70; Y: 7,00	9,67
3,33	344.569	1.147.016	X: -3,70; Y: 7,00	13,67	2,94	344.569	1.011.395	X: -3,70; Y: 7,00	13,67
2,50	181.379	454.301	X: -4,20; Y: 7,00	9,99	2,26	181.379	410.782	X: -4,20; Y: 7,00	9,99
3,41	356.404	1.216.151	X: -4,20; Y: 7,00	13,99	3,00	356.404	1.070.585	X: -4,20; Y: 7,00	13,99
1,56	133.275	208.283	X: 0,30; Y: 7,50	8,27	1,50	133.275	199.580	X: 0,30; Y: 7,50	8,27
2,94	275.640	809.875	X: 0,30; Y: 7,50	12,27	2,64	275.640	727.630	X: 0,30; Y: 7,50	12,27
1,60	138.221	220.923	X: -0,20; Y: 7,50	8,41	1,52	138.221	210.700	X: -0,20; Y: 7,50	8,41
2,95	282.765	833.011	X: -0,20; Y: 7,50	12,41	2,64	282.765	747.326	X: -0,20; Y: 7,50	12,41
1,68	141.054	237.129	X: -0,70; Y: 7,50	8,58	1,59	141.054	224.675	X: -0,70; Y: 7,50	8,58
2,98	289.192	861.717	X: -0,70; Y: 7,50	12,58	2,67	289.192	771.773	X: -0,70; Y: 7,50	12,58
1,76	145.952	256.525	X: -1,20; Y: 7,50	8,77	1,65	145.952	241.516	X: -1,20; Y: 7,50	8,77
3,01	297.701	895.923	X: -1,20; Y: 7,50	12,77	2,69	297.701	800.972	X: -1,20; Y: 7,50	12,77
1,84	151.610	279.668	X: -1,70; Y: 7,50	8,99	1,73	151.610	261.616	X: -1,70; Y: 7,50	8,99
3,06	305.522	935.676	X: -1,70; Y: 7,50	12,99	2,73	305.522	834.954	X: -1,70; Y: 7,50	12,99
1,95	157.217	306.141	X: -2,20; Y: 7,50	9,23	1,81	157.217	284.535	X: -2,20; Y: 7,50	9,23
3,11	315.406	980.873	X: -2,20; Y: 7,50	13,23	2,77	315.406	873.610	X: -2,20; Y: 7,50	13,23
2,06	163.097	336.203	X: -2,70; Y: 7,50	9,49	1,90	163.097	310.539	X: -2,70; Y: 7,50	9,49
3,16	325.990	1.031.495	X: -2,70; Y: 7,50	13,49	2,81	325.990	916.928	X: -2,70; Y: 7,50	13,49
2,18	169.986	370.418	X: -3,20; Y: 7,50	9,77	2,00	169.986	340.205	X: -3,20; Y: 7,50	9,77
3,24	335.999	1.087.517	X: -3,20; Y: 7,50	13,77	2,87	335.999	964.957	X: -3,20; Y: 7,50	13,77
2,30	177.203	408.439	X: -3,70; Y: 7,50	10,06	2,11	177.203	373.162	X: -3,70; Y: 7,50	10,06
3,30	347.872	1.148.800	X: -3,70; Y: 7,50	14,06	2,92	347.872	1.017.449	X: -3,70; Y: 7,50	14,06
2,46	183.028	450.283	X: -4,20; Y: 7,50	10,37	2,24	183.028	409.570	X: -4,20; Y: 7,50	10,37
3,36	361.810	1.216.069	X: -4,20; Y: 7,50	14,37	2,97	361.810	1.075.064	X: -4,20; Y: 7,50	14,37
1,57	135.761	213.461	X: 0,30; Y: 8,00	8,76	1,51	135.761	205.121	X: 0,30; Y: 8,00	8,76
2,92	283.166	826.483	X: 0,30; Y: 8,00	12,76	2,63	283.166	745.435	X: 0,30; Y: 8,00	12,76
1,61	140.480	225.616	X: -0,20; Y: 8,00	8,89	1,54	140.480	215.878	X: -0,20; Y: 8,00	8,89
2,94	288.815	848.583	X: -0,20; Y: 8,00	12,89	2,65	288.815	764.257	X: -0,20; Y: 8,00	12,89
1,66	145.248	241.054	X: -0,70; Y: 8,00	9,05	1,58	145.248	229.394	X: -0,70; Y: 8,00	9,05
2,96	296.426	875.975	X: -0,70; Y: 8,00	13,05	2,66	296.426	787.678	X: -0,70; Y: 8,00	13,05
1,75	148.376	259.960	X: -1,20; Y: 8,00	9,23	1,66	148.376	245.809	X: -1,20; Y: 8,00	9,23
3,00	303.236	908.749	X: -1,20; Y: 8,00	13,23	2,69	303.236	815.725	X: -1,20; Y: 8,00	13,23
1,84	153.509	282.041	X: -1,70; Y: 8,00	9,44	1,73	153.509	265.054	X: -1,70; Y: 8,00	9,44
3,03	312.230	946.843	X: -1,70; Y: 8,00	13,44	2,72	312.230	848.365	X: -1,70; Y: 8,00	13,44
1,93	159.365	307.795	X: -2,20; Y: 8,00	9,66	1,80	159.365	287.514	X: -2,20; Y: 8,00	9,66
3,09	320.537	990.290	X: -2,20; Y: 8,00	13,66	2,76	320.537	885.653	X: -2,20; Y: 8,00	13,66
2,04	165.308	336.915	X: -2,70; Y: 8,00	9,91	1,89	165.308	312.856	X: -2,70; Y: 8,00	9,91
3,14	330.888	1.039.007	X: -2,70; Y: 8,00	13,91	2,80	330.888	927.461	X: -2,70; Y: 8,00	13,91
2,15	171.572	369.616	X: -3,20; Y: 8,00	10,18	1,99	171.572	341.296	X: -3,20; Y: 8,00	10,18
3,20	341.921	1.092.985	X: -3,20; Y: 8,00	14,18	2,85	341.921	973.796	X: -3,20; Y: 8,00	14,18
2,27	178.829	406.435	X: -3,70; Y: 8,00	10,46	2,09	178.829	373.375	X: -3,70; Y: 8,00	10,46
3,27	352.430	1.152.202	X: -3,70; Y: 8,00	14,46	2,91	352.430	1.024.725	X: -3,70; Y: 8,00	14,46
2,40	186.493	447.066	X: -4,20; Y: 8,00	10,76	2,19	186.493	408.763	X: -4,20; Y: 8,00	10,76
3,33	365.784	1.217.086	X: -4,20; Y: 8,00	14,76	2,95	365.784	1.080.452	X: -4,20; Y: 8,00	14,76
1,58	137.870	218.345	X: 0,30; Y: 8,50	9,24	1,53	137.870	210.322	X: 0,30; Y: 8,50	9,24
2,91	289.280	842.897	X: 0,30; Y: 8,50	13,24	2,64	289.280	762.950	X: 0,30; Y: 8,50	13,24
1,62	142.370	230.061	X: -0,20; Y: 8,50	9,37	1,55	142.370	220.746	X: -0,20; Y: 8,50	9,37
2,92	296.022	863.979	X: -0,20; Y: 8,50	13,37	2,64	296.022	781.001	X: -0,20; Y: 8,50	13,37
1,66	147.171	244.937	X: -0,70; Y: 8,50	9,52	1,59	147.171	233.859	X: -0,70; Y: 8,50	9,52
2,95	301.972	890.244	X: -0,70; Y: 8,50	13,52	2,66	301.972	803.489	X: -0,70; Y: 8,50	13,52
1,75	150.239	263.163	X: -1,20; Y: 8,50	9,69	1,66	150.239	249.761	X: -1,20; Y: 8,50	9,69
2,97	309.964	921.650	X: -1,20; Y: 8,50	13,69	2,68	309.964	830.447	X: -1,20; Y: 8,50	13,69
1,83	155.626	284.735	X: -1,70; Y: 8,50	9,89	1,73	155.626	268.715	X: -1,70; Y: 8,50	9,89
3,03	316.656	957.915	X: -1,70; Y: 8,50	13,89	2,72	316.656	861.602	X: -1,70; Y: 8,50	13,89
1,92	161.059	309.439	X: -2,20; Y: 8,50	10,11	1,80	161.059	290.341	X: -2,20; Y: 8,50	10,11
3,06	326.784	1.000.060	X: -2,20; Y: 8,50	14,11	2,75	326.784	897.857	X: -2,20; Y: 8,50	14,11
2,02	167.191	337.772	X: -2,70; Y: 8,50	10,34	1,88	167.191	315.155	X: -2,70; Y: 8,50	10,34
3,12	335.645	1.047.041	X: -2,70; Y: 8,50	14,34	2,80	335.645	938.323	X: -2,70; Y: 8,50	14,34
2,13	173.515	369.502	X: -3,20; Y: 8,50	10,60	1,98	173.515	342.904	X: -3,20; Y: 8,50	10,60
3,17	346.472	1.099.140	X: -3,20; Y: 8,50	14,60	2,84	346.472	983.174	X: -3,20; Y: 8,50	14,60

VERIFICHE DI STABILITA'

Bishop					Fellenius				
CS	FrzRblt	FrzRes	Centro	Raggio	CS	FrzRblt	FrzRes	Centro	Raggio
	[N]	[N]	[m]	[m]		[N]	[N]	[m]	[m]
2,24	180.603	405.058	X: -3,70; Y: 8,50	10,87	2,07	180.603	374.011	X: -3,70; Y: 8,50	10,87
3,23	357.972	1.156.358	X: -3,70; Y: 8,50	14,87	2,88	357.972	1.032.439	X: -3,70; Y: 8,50	14,87
2,36	187.869	444.215	X: -4,20; Y: 8,50	11,16	2,17	187.869	408.239	X: -4,20; Y: 8,50	11,16
3,30	368.992	1.218.688	X: -4,20; Y: 8,50	15,16	2,94	368.992	1.086.195	X: -4,20; Y: 8,50	15,16

LEGENDA Verifiche di stabilita'

Approccio	Tipo di Approccio seguito.
Stato limite	Tipo di Stato Limite.
Sisma	Sisma agente nella Combinazione.
CS	Coefficiente di sicurezza.
FrzRblt	Forza Ribaltante [N].
FrzRes	Forza Resistente [N].
Centro	Coordinate del centro della circonferenza che delinea la superficie di scorrimento [m].
Raggio	Raggio della circonferenza che delinea la superficie di scorrimento [m].

VERIFICHE A SCORRIMENTO
VERIFICHE A SCORRIMENTO

Approcc	Stato limite	Sisma	CS	FrzP	FrzR
				[N]	[N]
Sezione 1					
Verifica 1					
Approccio 1, Combinazione 2	Stato Limite di Resistenza del Terreno	NO	2,64	58.179	153.736
Verifica 2					
Approccio 1, Combinazione 2	Stato Limite di Resistenza del Terreno	NO	2,64	44.753	118.258
Verifica 3					
Approccio 1, Combinazione 2	Stato Limite di Resistenza del Terreno	SI	1,70	73.833	125.222
Verifica 4					
Approccio 1, Combinazione 2	Stato Limite di Resistenza del Terreno	SI	1,65	69.768	115.416
Verifica 5					
Approccio 1, Combinazione 2	Stato Limite di Resistenza del Terreno	NO	1,67	55.267	92.257
Verifica 6					
Approccio 1, Combinazione 2	Stato Limite di Resistenza del Terreno	NO	1,67	55.267	92.257
Verifica 7					
Approccio 1, Combinazione 2	Stato Limite di Resistenza del Terreno	SI	1,13	86.188	97.611
Verifica 8					
Approccio 1, Combinazione 2	Stato Limite di Resistenza del Terreno	SI	1,11	81.175	89.960

LEGENDA Verifiche a scorrimento

Approcc	Tipo di Approccio seguito.
Stato limite	Tipo di Stato Limite.
Sisma	Sisma agente nella Combinazione.
CS	Coefficiente di sicurezza.
FrzP	Forza di scorrimento di Progetto [N].
FrzR	Forza Resistente a scorrimento [N].

VERIFICHE A RIBALTAMENTO
VERIFICHE A RIBALTAMENTO

Approcc	Stato limite	Sisma	CS	Mrblt	Mstbl
				[Nm]	[Nm]
Sezione 1					
Verifica 1					
Approccio 1, Combinazione 1	Stato Limite di Equilibrio	NO	6,83	65.803	449.311
Verifica 2					
Approccio 1, Combinazione 1	Stato Limite di Equilibrio	NO	6,83	53.839	367.617
Verifica 3					
Approccio 1, Combinazione 1	Stato Limite di Equilibrio	SI	4,38	100.226	439.099
Verifica 4					
Approccio 1, Combinazione 1	Stato Limite di Equilibrio	SI	4,31	93.360	401.967

LEGENDA Verifiche a ribaltamento

Approcc	Tipo di Approccio seguito.
Stato limite	Tipo di Stato Limite.

VERIFICHE A RIBALTAMENTO

Approc	Stato limite	Sisma	CS	Mrblt [Nm]	Mstbl [Nm]
Sisma	Sisma agente nella Combinazione.				
CS	Coefficiente di sicurezza.				
Mrblt	Momento ribaltante di Progetto [Nm].				
Mstbl	Momento Stabilizzante [Nm].				

VERIFICHE A CARICO LIMITE
VERIFICHE A CARICO LIMITE

Approc	Stato limite	Sisma	CS	QMedP [N/mm ²]	QLim [N/mm ²]
Sezione 1					
Verifica 1					
Approccio 1, Combinazione 1	Stato Limite di Resistenza della Struttura		NO	4,83	0,11
Verifica 2					
Approccio 1, Combinazione 1	Stato Limite di Resistenza della Struttura		NO	6,27	0,08
Verifica 3					
Approccio 1, Combinazione 1	Stato Limite di Resistenza della Struttura		SI	4,14	0,09
Verifica 4					
Approccio 1, Combinazione 1	Stato Limite di Resistenza della Struttura		SI	4,50	0,08
Verifica 5					
Approccio 1, Combinazione 2	Stato Limite di Resistenza del Terreno		NO	3,00	0,08
Verifica 6					
Approccio 1, Combinazione 2	Stato Limite di Resistenza del Terreno		NO	3,00	0,08
Verifica 7					
Approccio 1, Combinazione 2	Stato Limite di Resistenza del Terreno		SI	1,96	0,09
Verifica 8					
Approccio 1, Combinazione 2	Stato Limite di Resistenza del Terreno		SI	2,12	0,08

LEGENDA Verifiche a Carico Limite

Approc	Tipo di Approccio seguito.
Stato limite	Tipo di Stato Limite.
Sisma	Sisma agente nella Combinazione.
CS	Coefficiente di sicurezza.
QMedP	Tensione media di Progetto [N/mm ²].
QLim	Carico Limite [N/mm ²].

VERIFICHE A PRESSOFLESSIONE RETTA ALLO SLU
VERIFICHE A PRESSOFLESSIONE RETTA ALLO SLU

CS _{Sup}	CS _{Inf}	Sollecitazioni				Af _{Sup} [cm ²]	Af _{Inf} [cm ²]
		N _{Sup} [N]	My _{Sup} [Nm]	N _{Inf} [N]	My _{Inf} [Nm]		
Sezione 1							
Paramento							
Sez. calcolo n.1 - Dis: 0.00							
-	4,17	0	0,00	41.455	-28.779,00	8,04	8,04
Sez. calcolo n.2 - Dis: 0.38							
-	6,06	0	0,00	35.158	-19.638,00	8,04	8,04
Sez. calcolo n.3 - Dis: 0.76							
-	9,31	0	0,00	29.191	-12.665,00	8,04	8,04
Sez. calcolo n.4 - Dis: 1.14							
-	15,59	0	0,00	23.939	-7.511,00	8,04	8,04
Sez. calcolo n.5 - Dis: 1.52							
-	28,77	0	0,00	18.553	-4.037,00	8,04	8,04
Sez. calcolo n.6 - Dis: 1.90							
-	62,61	0	0,00	13.498	-1.841,00	8,04	8,04
Sez. calcolo n.7 - Dis: 2.28							
-	NS	0	0,00	8.931	-606,00	8,04	8,04
Sez. calcolo n.8 - Dis: 2.66							
-	NS	0	0,00	4.457	-109,00	8,04	8,04
Sez. calcolo n.9 - Dis: 3.04							
-	-	286	0,00	286	0,00	8,04	8,04
Fondazione muro							
Sez. calcolo n.10 - Dis: 0.00(Valle)							
-	NS	0	0,00	0	-45,00	10,18	10,18
Sez. calcolo n.11 - Dis: 0.07(Valle)							
-	NS	0	0,00	0	-226,00	10,18	10,18
Sez. calcolo n.12 - Dis: 0.14(Valle)							
-	NS	0	0,00	0	-640,00	10,18	10,18
Sez. calcolo n.13 - Dis: 0.20(Valle)							
-	NS	0	0,00	0	-1.279,00	10,18	10,18
Sez. calcolo n.14 - Dis: 0.27(Valle)							
-	86,56	0	0,00	0	-2.095,00	10,18	10,18
Sez. calcolo n.15 - Dis: 0.34(Valle)							
-	58,70	0	0,00	0	-3.089,00	10,18	10,18
Sez. calcolo n.16 - Dis: 0.41(Valle)							

VERIFICHE A PRESSOFLESSIONE RETTA ALLO SLU

CS _{Sup}	CS _{Inf}	Sollecitazioni				Af _{Sup} [cm ²]	Af _{Inf} [cm ²]
		N _{Sup} [N]	My _{Sup} [Nm]	N _{Inf} [N]	My _{Inf} [Nm]		
-	42,33	0	0,00	0	-4.284,00	10,18	10,18
Sez. calcolo n.17 - Dis: 0.47(Valle)							
-	31,95	0	0,00	0	-5.675,00	10,18	10,18
Sez. calcolo n.18 - Dis: 0.54(Valle)							
-	24,99	0	0,00	0	-7.256,00	10,18	10,18
Sez. calcolo n.19 - Dis: 0.00(Monte)							
5,69	-	0	31.877,00	0	0,00	10,18	10,18
Sez. calcolo n.20 - Dis: 0.24(Monte)							
6,53	-	0	27.764,00	0	0,00	10,18	10,18
Sez. calcolo n.21 - Dis: 0.49(Monte)							
7,82	-	0	23.203,00	0	0,00	10,18	10,18
Sez. calcolo n.22 - Dis: 0.73(Monte)							
9,87	-	0	18.365,00	0	0,00	10,18	10,18
Sez. calcolo n.23 - Dis: 0.97(Monte)							
13,26	-	0	13.674,00	0	0,00	10,18	10,18
Sez. calcolo n.24 - Dis: 1.21(Monte)							
19,80	-	0	9.158,00	0	0,00	10,18	10,18
Sez. calcolo n.25 - Dis: 1.46(Monte)							
34,30	-	0	5.287,00	0	0,00	10,18	10,18
Sez. calcolo n.26 - Dis: 1.70(Monte)							
81,61	-	0	2.222,00	0	0,00	10,18	10,18
Sez. calcolo n.27 - Dis: 1.94(Monte)							
NS	-	0	48,00	0	0,00	10,18	10,18

LEGENDA Verifiche a pressoflessione retta allo SLU

CS Coefficiente di sicurezza per l'armatura superiore ed inferiore.
 N Sforzo normale per l'armatura superiore ed inferiore [N].
 My Vettore Momento intorno a Y per l'armatura superiore ed inferiore [Nm].
 Af_{Sup} Armatura Superiore Esecutiva [cm²].
 Af_{Inf} Armatura Inferiore Esecutiva [cm²].
 NOTE Per il paramento: sup=armatura a valle; inf=armatura a monte
 Per la fondazione: sup=armatura superiore; inf=armatura inferiore

VERIFICHE A PRESSOFLESSIONE RETTA ALLO SLE

VERIFICHE A PRESSOFLESSIONE RETTA ALLO SLE

σ ct [N/mm ²]	Trazione calcestruzzo			Compressione calcestruzzo			Trazione acciaio		
	N [N]	My [N-m]	σ cc [N/mm ²]	N [N]	My [N-m]	σ at [N/mm ²]	N [N]	My [N-m]	
Sezione 1									
Paramento									
Sez. calcolo n.1 - Dis: 0.00									
AA= PCA	CA=FQR mm	ε sm=0,00000 Ae=0,0 cm ² sm=0 mm wk=0,00	CA=QPR ε sm=0,00000 Ae=0,0 cm ² sm=0 mm wk=0,00 mm	CA=QPR ε sm=0,00000 Ae=0,0 cm ² sm=0 mm wk=0,00 mm	CA=QPR ε sm=0,00000 Ae=0,0 cm ² sm=0 mm wk=0,00 mm	CA=QPR ε sm=0,00000 Ae=0,0 cm ² sm=0 mm wk=0,00 mm	CA=QPR ε sm=0,00000 Ae=0,0 cm ² sm=0 mm wk=0,00 mm	CA=QPR ε sm=0,00000 Ae=0,0 cm ² sm=0 mm wk=0,00 mm	CA=QPR ε sm=0,00000 Ae=0,0 cm ² sm=0 mm wk=0,00 mm
0,488	40.027	-17.802	-0,677	40.027	-17.802	6,445	40.027	-17.802	
Sez. calcolo n.2 - Dis: 0.38									
AA= PCA	CA=FQR mm	ε sm=0,00000 Ae=0,0 cm ² sm=0 mm wk=0,00	CA=QPR ε sm=0,00000 Ae=0,0 cm ² sm=0 mm wk=0,00 mm	CA=QPR ε sm=0,00000 Ae=0,0 cm ² sm=0 mm wk=0,00 mm	CA=QPR ε sm=0,00000 Ae=0,0 cm ² sm=0 mm wk=0,00 mm	CA=QPR ε sm=0,00000 Ae=0,0 cm ² sm=0 mm wk=0,00 mm	CA=QPR ε sm=0,00000 Ae=0,0 cm ² sm=0 mm wk=0,00 mm	CA=QPR ε sm=0,00000 Ae=0,0 cm ² sm=0 mm wk=0,00 mm	CA=QPR ε sm=0,00000 Ae=0,0 cm ² sm=0 mm wk=0,00 mm
0,307	33.906	-11.836	-0,467	33.906	-11.836	4,027	33.906	-11.836	
Sez. calcolo n.3 - Dis: 0.76									
AA= PCA	CA=FQR mm	ε sm=0,00000 Ae=0,0 cm ² sm=0 mm wk=0,00	CA=QPR ε sm=0,00000 Ae=0,0 cm ² sm=0 mm wk=0,00 mm	CA=QPR ε sm=0,00000 Ae=0,0 cm ² sm=0 mm wk=0,00 mm	CA=QPR ε sm=0,00000 Ae=0,0 cm ² sm=0 mm wk=0,00 mm	CA=QPR ε sm=0,00000 Ae=0,0 cm ² sm=0 mm wk=0,00 mm	CA=QPR ε sm=0,00000 Ae=0,0 cm ² sm=0 mm wk=0,00 mm	CA=QPR ε sm=0,00000 Ae=0,0 cm ² sm=0 mm wk=0,00 mm	CA=QPR ε sm=0,00000 Ae=0,0 cm ² sm=0 mm wk=0,00 mm
0,175	28.116	-7.375	-0,307	28.116	-7.375	2,262	28.116	-7.375	
Sez. calcolo n.4 - Dis: 1.14									
AA= PCA	CA=FQR mm	ε sm=0,00000 Ae=0,0 cm ² sm=0 mm wk=0,00	CA=QPR ε sm=0,00000 Ae=0,0 cm ² sm=0 mm wk=0,00 mm	CA=QPR ε sm=0,00000 Ae=0,0 cm ² sm=0 mm wk=0,00 mm	CA=QPR ε sm=0,00000 Ae=0,0 cm ² sm=0 mm wk=0,00 mm	CA=QPR ε sm=0,00000 Ae=0,0 cm ² sm=0 mm wk=0,00 mm	CA=QPR ε sm=0,00000 Ae=0,0 cm ² sm=0 mm wk=0,00 mm	CA=QPR ε sm=0,00000 Ae=0,0 cm ² sm=0 mm wk=0,00 mm	CA=QPR ε sm=0,00000 Ae=0,0 cm ² sm=0 mm wk=0,00 mm
0,081	23.041	-4.140	-0,190	23.041	-4.140	1,013	23.041	-4.140	
Sez. calcolo n.5 - Dis: 1.52									
AA= PCA	CA=FQR mm	ε sm=0,00000 Ae=0,0 cm ² sm=0 mm wk=0,00	CA=QPR ε sm=0,00000 Ae=0,0 cm ² sm=0 mm wk=0,00 mm	CA=QPR ε sm=0,00000 Ae=0,0 cm ² sm=0 mm wk=0,00 mm	CA=QPR ε sm=0,00000 Ae=0,0 cm ² sm=0 mm wk=0,00 mm	CA=QPR ε sm=0,00000 Ae=0,0 cm ² sm=0 mm wk=0,00 mm	CA=QPR ε sm=0,00000 Ae=0,0 cm ² sm=0 mm wk=0,00 mm	CA=QPR ε sm=0,00000 Ae=0,0 cm ² sm=0 mm wk=0,00 mm	CA=QPR ε sm=0,00000 Ae=0,0 cm ² sm=0 mm wk=0,00 mm
0,026	17.832	-2.070	-0,110	17.832	-2.070	0,283	17.832	-2.070	
Sez. calcolo n.6 - Dis: 1.90									
AA= PCA	CA=FQR mm	ε sm=0,00000 Ae=0,0 cm ² sm=0 mm wk=0,00	CA=QPR ε sm=0,00000 Ae=0,0 cm ² sm=0 mm wk=0,00 mm	CA=QPR ε sm=0,00000 Ae=0,0 cm ² sm=0 mm wk=0,00 mm	CA=QPR ε sm=0,00000 Ae=0,0 cm ² sm=0 mm wk=0,00 mm	CA=QPR ε sm=0,00000 Ae=0,0 cm ² sm=0 mm wk=0,00 mm	CA=QPR ε sm=0,00000 Ae=0,0 cm ² sm=0 mm wk=0,00 mm	CA=QPR ε sm=0,00000 Ae=0,0 cm ² sm=0 mm wk=0,00 mm	CA=QPR ε sm=0,00000 Ae=0,0 cm ² sm=0 mm wk=0,00 mm
0,000	0	0	-0,058	12.954	-839	0,000	0	0	
Sez. calcolo n.7 - Dis: 2.28									
AA= PCA	CA=FQR mm	ε sm=0,00000 Ae=0,0 cm ² sm=0 mm wk=0,00	CA=QPR ε sm=0,00000 Ae=0,0 cm ² sm=0 mm wk=0,00 mm	CA=QPR ε sm=0,00000 Ae=0,0 cm ² sm=0 mm wk=0,00 mm	CA=QPR ε sm=0,00000 Ae=0,0 cm ² sm=0 mm wk=0,00 mm	CA=QPR ε sm=0,00000 Ae=0,0 cm ² sm=0 mm wk=0,00 mm	CA=QPR ε sm=0,00000 Ae=0,0 cm ² sm=0 mm wk=0,00 mm	CA=QPR ε sm=0,00000 Ae=0,0 cm ² sm=0 mm wk=0,00 mm	CA=QPR ε sm=0,00000 Ae=0,0 cm ² sm=0 mm wk=0,00 mm
0,000	0	0	-0,027	8.563	-203	0,000	0	0	
Sez. calcolo n.8 - Dis: 2.66									
AA= PCA	CA=FQR mm	ε sm=0,00000 Ae=0,0 cm ² sm=0 mm wk=0,00	CA=QPR ε sm=0,00000 Ae=0,0 cm ² sm=0 mm wk=0,00 mm	CA=QPR ε sm=0,00000 Ae=0,0 cm ² sm=0 mm wk=0,00 mm	CA=QPR ε sm=0,00000 Ae=0,0 cm ² sm=0 mm wk=0,00 mm	CA=QPR ε sm=0,00000 Ae=0,0 cm ² sm=0 mm wk=0,00 mm	CA=QPR ε sm=0,00000 Ae=0,0 cm ² sm=0 mm wk=0,00 mm	CA=QPR ε sm=0,00000 Ae=0,0 cm ² sm=0 mm wk=0,00 mm	CA=QPR ε sm=0,00000 Ae=0,0 cm ² sm=0 mm wk=0,00 mm
0,000	0	0	-0,011	4.266	-15	0,000	0	0	
Sez. calcolo n.9 - Dis: 3.04									
AA= PCA	CA=FQR mm	ε sm=0,00000 Ae=0,0 cm ² sm=0 mm wk=0,00	CA=QPR ε sm=0,00000 Ae=0,0 cm ² sm=0 mm wk=0,00 mm	CA=QPR ε sm=0,00000 Ae=0,0 cm ² sm=0 mm wk=0,00 mm	CA=QPR ε sm=0,00000 Ae=0,0 cm ² sm=0 mm wk=0,00 mm	CA=QPR ε sm=0,00000 Ae=0,0 cm ² sm=0 mm wk=0,00 mm	CA=QPR ε sm=0,00000 Ae=0,0 cm ² sm=0 mm wk=0,00 mm	CA=QPR ε sm=0,00000 Ae=0,0 cm ² sm=0 mm wk=0,00 mm	CA=QPR ε sm=0,00000 Ae=0,0 cm ² sm=0 mm wk=0,00 mm
0,000	0	0	0,000	0	0	0,000	0	0	
Fondazione muro									
Sez. calcolo n.10 - Dis: 0.00(Valle)									
AA= PCA	CA=FQR mm	ε sm=0,00000 Ae=0,0 cm ² sm=0 mm wk=0,00	CA=QPR ε sm=0,00000 Ae=0,0 cm ² sm=0 mm wk=0,00 mm	CA=QPR ε sm=0,00000 Ae=0,0 cm ² sm=0 mm wk=0,00 mm	CA=QPR ε sm=0,00000 Ae=0,0 cm ² sm=0 mm wk=0,00 mm	CA=QPR ε sm=0,00000 Ae=0,0 cm ² sm=0 mm wk=0,00 mm	CA=QPR ε sm=0,00000 Ae=0,0 cm ² sm=0 mm wk=0,00 mm	CA=QPR ε sm=0,00000 Ae=0,0 cm ² sm=0 mm wk=0,00 mm	CA=QPR ε sm=0,00000 Ae=0,0 cm ² sm=0 mm wk=0,00 mm
0,001	0	-35	-0,001	0	-35	0,010	0	-35	

VERIFICHE A PRESSOFLESSIONE RETTA ALLO SLE

Trazione calcestruzzo			Compressione calcestruzzo			Trazione acciaio		
σ_{ct} [N/mm ²]	N [N]	My [N-m]	σ_{cc} [N/mm ²]	N [N]	My [N-m]	σ_{at} [N/mm ²]	N [N]	My [N-m]
Sez. calcolo n.11 - Dis: 0.07(Valle)								
AA= PCA	CA=FQR ϵ sm=0,00000	Ae=0,0 cm ² sm=0 mm	wk=0,00	CA=QPR ϵ sm=0,00000	Ae=0,0 cm ² sm=0 mm	wk=0,00 mm		
0,003	0	-166	-0,003	0	-166	0,048	0	-166
Sez. calcolo n.12 - Dis: 0.14(Valle)								
AA= PCA	CA=FQR ϵ sm=0,00000	Ae=0,0 cm ² sm=0 mm	wk=0,00	CA=QPR ϵ sm=0,00000	Ae=0,0 cm ² sm=0 mm	wk=0,00 mm		
0,010	0	-471	-0,010	0	-471	0,135	0	-471
Sez. calcolo n.13 - Dis: 0.20(Valle)								
AA= PCA	CA=FQR ϵ sm=0,00000	Ae=0,0 cm ² sm=0 mm	wk=0,00	CA=QPR ϵ sm=0,00000	Ae=0,0 cm ² sm=0 mm	wk=0,00 mm		
0,020	0	-949	-0,020	0	-949	0,272	0	-949
Sez. calcolo n.14 - Dis: 0.27(Valle)								
AA= PCA	CA=FQR ϵ sm=0,00000	Ae=0,0 cm ² sm=0 mm	wk=0,00	CA=QPR ϵ sm=0,00000	Ae=0,0 cm ² sm=0 mm	wk=0,00 mm		
0,032	0	-1.554	-0,032	0	-1.554	0,446	0	-1.554
Sez. calcolo n.15 - Dis: 0.34(Valle)								
AA= PCA	CA=FQR ϵ sm=0,00000	Ae=0,0 cm ² sm=0 mm	wk=0,00	CA=QPR ϵ sm=0,00000	Ae=0,0 cm ² sm=0 mm	wk=0,00 mm		
0,048	0	-2.290	-0,048	0	-2.290	0,657	0	-2.290
Sez. calcolo n.16 - Dis: 0.41(Valle)								
AA= PCA	CA=FQR ϵ sm=0,00000	Ae=0,0 cm ² sm=0 mm	wk=0,00	CA=QPR ϵ sm=0,00000	Ae=0,0 cm ² sm=0 mm	wk=0,00 mm		
0,066	0	-3.182	-0,066	0	-3.182	0,912	0	-3.182
Sez. calcolo n.17 - Dis: 0.47(Valle)								
AA= PCA	CA=FQR ϵ sm=0,00000	Ae=0,0 cm ² sm=0 mm	wk=0,00	CA=QPR ϵ sm=0,00000	Ae=0,0 cm ² sm=0 mm	wk=0,00 mm		
0,088	0	-4.228	-0,088	0	-4.228	1,212	0	-4.228
Sez. calcolo n.18 - Dis: 0.54(Valle)								
AA= PCA	CA=FQR ϵ sm=0,00000	Ae=0,0 cm ² sm=0 mm	wk=0,00	CA=QPR ϵ sm=0,00000	Ae=0,0 cm ² sm=0 mm	wk=0,00 mm		
0,113	0	-5.424	-0,113	0	-5.424	1,555	0	-5.424
Sez. calcolo n.19 - Dis: 0.00(Monte)								
AA= PCA	CA=FQR ϵ sm=0,00000	Ae=0,0 cm ² sm=0 mm	wk=0,00	CA=QPR ϵ sm=0,00000	Ae=0,0 cm ² sm=0 mm	wk=0,00 mm		
0,401	0	19.290	-0,401	0	19.290	5,531	0	19.290
Sez. calcolo n.20 - Dis: 0.24(Monte)								
AA= PCA	CA=FQR ϵ sm=0,00000	Ae=0,0 cm ² sm=0 mm	wk=0,00	CA=QPR ϵ sm=0,00000	Ae=0,0 cm ² sm=0 mm	wk=0,00 mm		
0,355	0	17.087	-0,355	0	17.087	4,899	0	17.087
Sez. calcolo n.21 - Dis: 0.49(Monte)								
AA= PCA	CA=FQR ϵ sm=0,00000	Ae=0,0 cm ² sm=0 mm	wk=0,00	CA=QPR ϵ sm=0,00000	Ae=0,0 cm ² sm=0 mm	wk=0,00 mm		
0,303	0	14.574	-0,303	0	14.574	4,179	0	14.574
Sez. calcolo n.22 - Dis: 0.73(Monte)								
AA= PCA	CA=FQR ϵ sm=0,00000	Ae=0,0 cm ² sm=0 mm	wk=0,00	CA=QPR ϵ sm=0,00000	Ae=0,0 cm ² sm=0 mm	wk=0,00 mm		
0,245	0	11.806	-0,245	0	11.806	3,385	0	11.806
Sez. calcolo n.23 - Dis: 0.97(Monte)								
AA= PCA	CA=FQR ϵ sm=0,00000	Ae=0,0 cm ² sm=0 mm	wk=0,00	CA=QPR ϵ sm=0,00000	Ae=0,0 cm ² sm=0 mm	wk=0,00 mm		
0,189	0	9.087	-0,189	0	9.087	2,606	0	9.087
Sez. calcolo n.24 - Dis: 1.21(Monte)								
AA= PCA	CA=FQR ϵ sm=0,00000	Ae=0,0 cm ² sm=0 mm	wk=0,00	CA=QPR ϵ sm=0,00000	Ae=0,0 cm ² sm=0 mm	wk=0,00 mm		
0,131	0	6.328	-0,131	0	6.328	1,814	0	6.328
Sez. calcolo n.25 - Dis: 1.46(Monte)								
AA= PCA	CA=FQR ϵ sm=0,00000	Ae=0,0 cm ² sm=0 mm	wk=0,00	CA=QPR ϵ sm=0,00000	Ae=0,0 cm ² sm=0 mm	wk=0,00 mm		
0,081	0	3.883	-0,081	0	3.883	1,113	0	3.883
Sez. calcolo n.26 - Dis: 1.70(Monte)								
AA= PCA	CA=FQR ϵ sm=0,00000	Ae=0,0 cm ² sm=0 mm	wk=0,00	CA=QPR ϵ sm=0,00000	Ae=0,0 cm ² sm=0 mm	wk=0,00 mm		
0,036	0	1.709	-0,036	0	1.709	0,490	0	1.709
Sez. calcolo n.27 - Dis: 1.94(Monte)								
AA= PCA	CA=FQR ϵ sm=0,00000	Ae=0,0 cm ² sm=0 mm	wk=0,00	CA=QPR ϵ sm=0,00000	Ae=0,0 cm ² sm=0 mm	wk=0,00 mm		
0,000	0	18	0,000	0	18	0,005	0	18

LEGENDA Verifiche a pressoflessione retta allo SLE

AA	Identificativo dell'aggressività dell'ambiente: [PCA] = Poco aggressivo - [MDA] = Moderatamente aggressivo - [MLA] = Molto aggressivo.
CA	Identificativo della Combinazione di Azione: [QPR] = Quasi Permanente - [FQR] = Frequente - [RAR] = Rara.
ϵ sm	Deformazione media nel calcestruzzo.
Ae	Area efficace del calcestruzzo teso.
sm	Distanza media tra le fessure.
wk	Apertura massima delle fessure.
σ_{ct} , N, My	Valori, rispettivamente della tensione massima di trazione nel calcestruzzo e delle componenti della sollecitazione agenti che l'hanno generata, riferite all'asse baricentrico della sezione trasversale(N) ed al sistema baricentrico x, y della sezione trasversale.
σ_{cc} , N, My	Valori, rispettivamente della tensione massima di compressione nel calcestruzzo e delle componenti della sollecitazione agenti che l'hanno generata, riferite all'asse baricentrico della sezione trasversale(N) ed al sistema baricentrico x, y della sezione trasversale.
σ_{at} , N, My	Valori, rispettivamente della tensione massima di trazione nell'acciaio e delle componenti della sollecitazione agenti che l'hanno generata, riferite all'asse baricentrico della sezione trasversale(N) ed al sistema baricentrico x, y della sezione trasversale.

VERIFICHE A PRESSOFLESSIONE RETTA ALLO SLE

Trazione calcestruzzo			Compressione calcestruzzo			Trazione acciaio		
σ_{ct}	N	My	σ_{cc}	N	My	σ_{at}	N	My
[N/mm ²]	[N]	[N-m]	[N/mm ²]	[N]	[N-m]	[N/mm ²]	[N]	[N-m]

generata, riferite all'asse baricentrico della sezione trasversale(N) ed al sistema baricentrico x, y della sezione trasversale.

VERIFICHE A TAGLIO PER PRESSOFLESSIONE RETTA ALLO SLU

VERIFICHE A TAGLIO PER PRESSOFLESSIONE RETTA ALLO SLU

CS+	CS-	Tx+	Tx-	Vcc+	Vcc-	Vwd+	Vwd-	Nd+	Nd-	Vwp+	Vwp-	ctg@+	ctg@	AfTe+	AfTe-
		[N]	[N]	[N]	[N]	[N]	[N]	[N]	[N]	[N]	[N]			[cm ² /cm]	[cm ² /cm]
Sezione 1															
Paramento															
Sez. calcolo n.1 - Dis: 0.00															
-	7,00	0	-25.467	170.428	178.234	0	0	0	52.034	0	0	0,00	0,00	0,0000	0,0000
Sez. calcolo n.2 - Dis: 0.38															
-	9,26	0	-19.128	170.428	177.040	0	0	0	44.076	0	0	0,00	0,00	0,0000	0,0000
Sez. calcolo n.3 - Dis: 0.76															
-	12,84	0	-13.695	170.428	175.911	0	0	0	36.550	0	0	0,00	0,00	0,0000	0,0000
Sez. calcolo n.4 - Dis: 1.14															
-	17,13	0	-10.214	170.428	174.922	0	0	0	29.954	0	0	0,00	0,00	0,0000	0,0000
Sez. calcolo n.5 - Dis: 1.52															
-	27,32	0	-6.366	170.428	173.905	0	0	0	23.180	0	0	0,00	0,00	0,0000	0,0000
Sez. calcolo n.6 - Dis: 1.90															
-	50,53	0	-3.423	170.428	172.954	0	0	0	16.838	0	0	0,00	0,00	0,0000	0,0000
Sez. calcolo n.7 - Dis: 2.28															
-	95,08	0	-1.810	170.428	172.098	0	0	0	11.130	0	0	0,00	0,00	0,0000	0,0000
Sez. calcolo n.8 - Dis: 2.66															
-	NS	0	-452	170.428	171.260	0	0	0	5.544	0	0	0,00	0,00	0,0000	0,0000
Sez. calcolo n.9 - Dis: 3.04															
-	-	0	0	170.428	170.428	0	0	0	0	0	0	0,00	0,00	0,0000	0,0000
Fondazione muro															
Sez. calcolo n.10 - Dis: 0.00(Valle)															
-	67,93	0	-3.031	205.897	205.897	0	0	0	0	0	0	0,00	0,00	0,0000	0,0000
Sez. calcolo n.11 - Dis: 0.07(Valle)															
-	42,53	0	-4.841	205.897	205.897	0	0	0	0	0	0	0,00	0,00	0,0000	0,0000
Sez. calcolo n.12 - Dis: 0.14(Valle)															
-	31,19	0	-6.601	205.897	205.897	0	0	0	0	0	0	0,00	0,00	0,0000	0,0000
Sez. calcolo n.13 - Dis: 0.20(Valle)															
-	24,77	0	-8.313	205.897	205.897	0	0	0	0	0	0	0,00	0,00	0,0000	0,0000
Sez. calcolo n.14 - Dis: 0.27(Valle)															
-	13,76	0	-14.960	205.897	205.897	0	0	0	0	0	0	0,00	0,00	0,0000	0,0000
Sez. calcolo n.15 - Dis: 0.34(Valle)															
-	12,19	0	-16.892	205.897	205.897	0	0	0	0	0	0	0,00	0,00	0,0000	0,0000
Sez. calcolo n.16 - Dis: 0.41(Valle)															
-	10,97	0	-18.776	205.897	205.897	0	0	0	0	0	0	0,00	0,00	0,0000	0,0000
Sez. calcolo n.17 - Dis: 0.47(Valle)															
-	9,99	0	-20.612	205.897	205.897	0	0	0	0	0	0	0,00	0,00	0,0000	0,0000
Sez. calcolo n.18 - Dis: 0.54(Valle)															
-	9,19	0	-22.399	205.897	205.897	0	0	0	0	0	0	0,00	0,00	0,0000	0,0000
Sez. calcolo n.19 - Dis: 0.00(Monte)															
15,65	-	13.155	0	205.897	205.897	0	0	0	0	0	0	0,00	0,00	0,0000	0,0000
Sez. calcolo n.20 - Dis: 0.24(Monte)															
19,46	-	10.583	0	205.897	205.897	0	0	0	0	0	0	0,00	0,00	0,0000	0,0000
Sez. calcolo n.21 - Dis: 0.49(Monte)															
13,37	-	15.405	0	205.897	205.897	0	0	0	0	0	0	0,00	0,00	0,0000	0,0000
Sez. calcolo n.22 - Dis: 0.73(Monte)															
18,13	-	11.359	0	205.897	205.897	0	0	0	0	0	0	0,00	0,00	0,0000	0,0000
Sez. calcolo n.23 - Dis: 0.97(Monte)															
13,91	-	14.798	0	205.897	205.897	0	0	0	0	0	0	0,00	0,00	0,0000	0,0000
Sez. calcolo n.24 - Dis: 1.21(Monte)															
11,72	-	17.565	0	205.897	205.897	0	0	0	0	0	0	0,00	0,00	0,0000	0,0000
Sez. calcolo n.25 - Dis: 1.46(Monte)															
18,16	-	11.336	0	205.897	205.897	0	0	0	0	0	0	0,00	0,00	0,0000	0,0000
Sez. calcolo n.26 - Dis: 1.70(Monte)															
16,19	-	12.721	0	205.897	205.897	0	0	0	0	0	0	0,00	0,00	0,0000	0,0000
Sez. calcolo n.27 - Dis: 1.94(Monte)															
41,02	-	5.019	0	205.897	205.897	0	0	0	0	0	0	0,00	0,00	0,0000	0,0000

LEGENDA Verifiche a taglio per pressoflessione retta allo SLU

- CS+, CS-** Coefficienti di sicurezza relativi alle sollecitazioni "Tx+" e "Tx-": [NS] = Non Significativo - Per valori di CS maggiori o uguali a 100.
- Tx+, Tx-** Valori massimo e minimo della sollecitazione di taglio.
- Vcc+, Vcc-** Valori massimo e minimo del taglio ultimo, per conglomerato compresso.
- Vwd+, Vwd-** Contributi dell'acciaio al taglio ultimo dovuto alle staffe, relativi alle sollecitazioni "Tx+" e "Tx-".
- Nd+, Nd-** Sforzo normale.
- Vwp+, Vwp-** Contributo acciaio al Taglio ultimo dovuto ai ferri piegati, relativi alle sollecitazioni "Tx+" e "Tx-".
- ctg@+, ctg@** ctg(@) utilizzato nel calcolo di Vcc, Vwd e Vwp.
- AfTe+, AfTe-** Aree di ferro per il taglio in un centimetro, relativi alle sollecitazioni "Tx+" e "Tx-".

INDICE

INFORMAZIONI GENERALI	pag.	2
MATERIALI	pag.	2
TERRENI	pag.	2
CONDIZIONI DI CARICO	pag.	2
SLE: COMBINAZIONE DI AZIONI QUASI PERMANENTE - COEFFICIENTI	pag.	3
SLE: COMBINAZIONE DI AZIONI FREQUENTE - COEFFICIENTI	pag.	3
SLE: COMBINAZIONE DI AZIONI RARA - COEFFICIENTI	pag.	3
SLU: COMBINAZIONI DI CARICO IN ASSENZA DI SISMA - COEFFICIENTI	pag.	3
SLU: COMBINAZIONI DI CARICO IN PRESENZA DI SISMA - COEFFICIENTI	pag.	3
DATI GENERALI ANALISI SISMICA	pag.	4
GEOMETRIA	pag.	4
CARATTERISTICHE MECCANICHE DEGLI STRATI	pag.	6
SPINTE SUL PARAMENTO ALLO SLU	pag.	7
SPINTE SUL CUNEO ALLO SLU	pag.	7
SPINTE SUL PARAMENTO ALLO SLE	pag.	8
SPINTE SUL CUNEO ALLO SLE	pag.	8
SOLLECITAZIONI SUL PARAMENTO	pag.	8
SOLLECITAZIONI SULLA FONDAZIONE	pag.	12
TENSIONI SUL TERRENO	pag.	19
VERIFICHE DI STABILITA'	pag.	19
VERIFICHE A SCORRIMENTO	pag.	29
VERIFICHE A RIBALTAMENTO	pag.	30

VERIFICHE A CARICO LIMITE	pag.	30
VERIFICHE A PRESSOFLESSIONE RETTA ALLO SLU	pag.	31
VERIFICHE A PRESSOFLESSIONE RETTA ALLO SLE	pag.	32
VERIFICHE A TAGLIO PER PRESSOFLESSIONE RETTA ALLO SLU	pag.	33
